

T.C.
SAKARYA ÜNİVERSİTESİ
FEN BİLİMLERİ ENSTİTÜSÜ

**TEKSTİL ENDÜSTRİSİ ATIKSULARINDAKİ RENK
SORUNUNUN İLERİ AKTİF ÇAMURLU ARDIŞIK
KESİKLİ BİYOREAKTÖR İLE GİDERİLMESİ**

YÜKSEK LİSANS TEZİ

Çev.Müh. Gülgün KÖSEOĞLU

**Enstitü Anabilim Dalı : ÇEVRE MÜH.
Tez Danışmanı : Prof. Dr. Recep İLERİ**

HAZİRAN 2004

T.C.
SAKARYA ÜNİVERSİTESİ
FEN BİLİMLERİ ENSTİTÜSÜ

**TEKSTİL ENDÜSTRİSİ ATIKSULARINDAKİ RENK
SORUNUNUN İLERİ AKTİF ÇAMURLU ARDIŞIK
KESİKLİ BİYOREAKTÖR İLE GİDERİLMESİ**

YÜKSEK LİSANS TEZİ

Çev.Müh. Gülgün KÖSEOĞLU

Enstitü Anabilim Dalı : ÇEVRE MÜH.

Bu tez **14. / 06 / 2004** tarihinde aşağıdaki juri tarafından Oybırılığı/Oyçokluğu ile kabul edilmiştir.

Juri Başkanı
.....
Prof. Dr. Recep İLERİ

Juri Üyesi
.....
**Doç. Dr. Saim
ÖZDEMİR**

Juri Üyesi
.....
**Yrd. Doç. Dr. Sabahattin
İŞIK**

TEŞEKKÜR

Sakarya Üniversitesi Fen Bilimleri Enstitüsü Çevre Mühendisliği Bölümü’nde hazırlanan bu Yüksek Lisans Tezi çalışmasında, “Tekstil Endüstrisi Atıksularındaki Renk Sorununun İleri Aktif Çamurlu Ardisık Kesikli Biyoreaktör İle Giderilebilirliği” konusu ele alınmıştır.

Bana bu çalışmam esnasında fikir ve tecrübeleri ile katkıda bulunan ve her türlü yardım ve desteği sağlayan danışmanım sayın Prof. Dr. Recep İleri'ye teşekkür ederim.

Tez çalışmalarım sırasında bana yol gösteren, yardım ve desteğini esirgemeyen sayın hocam Doç. Dr. Saim Özdemir'e ve laboratuar çalışmalarım esnasında bana her türlü desteği sağlayan sayın hocam Prof. Dr. Ayhan Şengil'e teşekkür ederim.

Ayrıca her an yanımdaydı olduklarını hissettiğim Enformatik Bölümü Araştırma Görevlilerine teşekkür ederim.

En önemlisi de her zaman yanımdaydı olup sevgi ve desteklerini esirgemeyen hayatımda en değerli varlıklarım babam Haydar Köseoğlu, annem Seldağ Köseoğlu ve ablam Günseli Köseoğlu'na teşekkürü bir borç bilirim.

Saygılarımla

Gülgün Köseoğlu

İÇİNDEKİLER

| | |
|-------------------------------|-----|
| TEŞEKKÜR..... | ii |
| İÇİNDEKİLER | iii |
| SİMGELER VE KISALTMALAR | vii |
| ŞEKİLLER LİSTESİ..... | x |
| TABLOLAR LİSTESİ | xii |
| ÖZET | xiv |
| SUMMARY..... | xv |

BÖLÜM 1.

| | |
|-------------------------------------|---|
| GİRİŞ | 1 |
| 1.1 Çalışmanın Amaç ve Kapsamı..... | 1 |

BÖLÜM 2.

| | |
|---|----|
| TEKSTİL ENDÜSTRİSİ..... | 3 |
| 2.1 Endüstrinin Tanımı..... | 3 |
| 2.2 Tekstil Endüstrisi’ndeki Üretim Proses ve İşlemler..... | 3 |
| 2.2.1 Yünlü tekstil endüstrisi | 3 |
| 2.2.2 Pamuklu tekstil endüstrisi..... | 6 |
| 2.2.3 Sentezik tekstil endüstrisi | 9 |
| 2.3 Tekstil Endüstrisi’nde Alt Kategorizasyon ve Deşarj Standartları..... | 10 |

BÖLÜM 3.

| | |
|--|----|
| TEKSTİL ENDÜSTRİSİ ATIKSULARI KİRLİLİK ÖZELLİKLERİ..... | 19 |
| 3.1 Tekstil Endüstrisi’nde Atıksu Kaynakları ve Kirlilik Özellikleri | 19 |
| 3.2 Boyarmaddeler..... | 23 |
| 3.2.1 Boyarmaddelerin çözünürlüklerine göre sınıflandırılması..... | 24 |
| 3.2.1.1 Suda çözünen boyarmaddeler..... | 24 |

| | |
|--|----|
| 3.2.1.2 Suda çözünmeyen boyarmaddeler..... | 25 |
| 3.2.2 Boyarmaddelerin boyama özelliklerine göre sınıflandırılması..... | 26 |
| 3.3 Renk..... | 31 |
| 3.3.1 Rengin tanımı..... | 31 |
| 3.3.2 Rengin önemi..... | 31 |
| 3.3.3 Renk ölçüm metodları..... | 32 |
| 3.3.3.1 Görsel karşılaştırma metodu..... | 32 |
| 3.3.3.2 Spektrofotometrik metot..... | 33 |
| 3.3.3.3 Tristumulus filtre metodu..... | 33 |
| 3.3.3.4 Renklilik sayısı metodu..... | 34 |

BÖLÜM 4.

| | |
|--|----|
| TEKSTİL ENDÜSTRİSİ ATIKSULARININ ARITIMI | 35 |
| 4.1 Tekstil Atıksularını Aritma Yöntemleri..... | 35 |
| 4.1.1 Ön arıtma..... | 35 |
| 4.1.2 Fiziksel-kimyasal arıtma..... | 36 |
| 4.1.3 Biyolojik arıtma..... | 36 |
| 4.1.4 İleri arıtma..... | 37 |
| 4.1.5 Çamur arıtımı..... | 37 |
| 4.2 Tekstil Atıksularından Renk Gidermede Kullanılan Yöntemler | 38 |
| 4.2.1 Kimyasal yöntemler..... | 40 |
| 4.2.1.1 Oksidasyon..... | 40 |
| 4.2.1.1.1 Ozon ile renk giderimi..... | 41 |
| 4.2.1.1.2 Fenton oksidasyonu..... | 42 |
| 4.2.1.1.3 Klor ve hipoklorit oksidasyonu..... | 43 |
| 4.2.1.2 Elektrokimyasal yöntem..... | 43 |
| 4.2.1.3 Fotokimyasal yöntem..... | 44 |
| 4.2.1.4 Koagülasyon-flokülasyon..... | 45 |
| 4.2.2 Fiziksel yöntemler..... | 46 |
| 4.2.2.1 Adsorpsiyon..... | 46 |
| 4.2.2.2 Membran prosesleri..... | 58 |
| 4.2.2.3 İyon değişimi..... | 50 |
| 4.2.3 Biyolojik Yöntemler..... | 50 |

| | |
|--|----|
| 4.2.3.1 Aerobik yöntem..... | 50 |
| 4.2.3.2 Anaerobik yöntem..... | 51 |
| 4.2.3.3 Biyosorpsiyon..... | 52 |
| 4.2.3.4 İleri aktif çamur yöntemi..... | 53 |

BÖLÜM 5.

| | |
|---|----|
| SEÇİLEN TEKSTİL ENDÜSTRİNİN TANITILMASI | 54 |
| 5.1 Tesisin Tanımı..... | 54 |
| 5.2 Proses İşlem Tipi..... | 55 |
| 5.3 Proses İşlemlerinden Kaynaklanan Atıklar..... | 56 |
| 5.4 Atıksu Miktarı ve Özellikleri..... | 56 |
| 5.5 Kullanılan Boyarmaddeler..... | 58 |

BÖLÜM 6.

| | |
|---|----|
| TEKSTİL ENDÜSTRİSİ ATIKSULARININ ARDIŞIK KESİKLİ BİYOREAKTÖR İLE ARITILMASI | 59 |
| 6.1 Ardışık Kesikli Biyoreaktör Teknolojisi..... | 59 |
| 6.1.1 Proses tanımlama..... | 61 |
| 6.1.2 AKR teknolojilerinin kullanılma sebepleri..... | 64 |
| 6.1.3 Çeşitli AKR uygulamaları..... | 65 |
| 6.2 Seçilen Tekstil Endüstrisi Atıksu Aritma Tesisi | 66 |
| 6.3 Substrat (Besi Maddesi) Giderme Kinetiği..... | 68 |
| 6.3.1 Teorik yaklaşım..... | 68 |
| 6.3.2 Substrat konsantrasyonlarının hesabı..... | 71 |
| 6.3.3 Sonuçlar ve tartışma..... | 76 |
| 6.4 Çökelme Kinetiği..... | 84 |
| 6.4.1 Engelli çökelme..... | 84 |

BÖLÜM 7.

| | |
|--|----|
| TEKSTİL ENDÜSTRİSİ ATIKSULARINDAKİ RENK SORUNUNUN İLERİ AKTİF ÇAMURLU ARDIŞIK KESİKLİ BİYOREAKTÖR İLE GİDERİLMESİ...88 | 88 |
| 7.1 Deneysel Tasarım..... | 88 |
| 7.1.1 Ardışık kesikli biyoreaktörün boyutlandırılması..... | 88 |

| | |
|---|----|
| 7.1.2 Ardışık kesikli biyoreaktör ile yapılan çalışmalar..... | 90 |
| 7.2 Deneylerde Kullanılan Funguslar..... | 91 |
| 7.2.1 Fungusların üretimi ve saklanması..... | 96 |
| 7.2.2 Stok fungus kültürlerinin hazırlanması..... | 96 |
| 7.2.3 Kullanılan besiyeri..... | 96 |
| 7.3 Laboratuar Cihazları..... | 97 |
| 7.3.1 Spektrofotometre..... | 97 |
| 7.3.2 Santrifüj..... | 97 |
| 7.3.3 Hassas tartı..... | 97 |
| 7.3.4 Otoklav..... | 97 |
| 7.4 Analitik Metot..... | 97 |
| 7.5 Biyolojik Çamurun (Flok) Çökelmesi..... | 98 |

BÖLÜM 8.

| | |
|---|-----|
| BULGULAR..... | 100 |
| 8.1 Hücre İlave Edilmeden Yapılan Deneylerdeki RES Değerleri ve Renk Giderim Verimleri | 101 |
| 8.2 <i>Phanaerochacta chrysosporium</i> Canlı Biyokütlesi İle Yapılan Deneylerdeki RES Değerleri ve Renk Giderim Verimleri | 105 |
| 8.3 <i>Trametes versicolor</i> Canlı Biyokütlesi İle Yapılan Deneylerdeki RES Değerleri ve Renk Giderim Verimleri | 109 |
| 8.4 <i>Pleurotus sajur-caju</i> Canlı Biyokütlesi İle Yapılan Deneylerdeki RES Değerleri ve Renk Giderim Verimleri..... | 113 |
| 8.5 Çökelme Kinetiği..... | 117 |

BÖLÜM 9.

| | |
|---------------|-----|
| SONUÇLAR..... | 123 |
|---------------|-----|

| | |
|-----------------|-----|
| KAYNAKLAR | 128 |
| EKLER..... | 133 |
| ÖZGEÇMİŞ | 135 |

SİMGELER VE KISALTMALAR LİSTESİ

- BOİ₅ : Biyokimyasal oksijen ihtiyacı (mg/l)
- X : Biyokütle konsantrasyonu (mg/l)
- pH : pH
- KOİ : Kimyasal oksijen ihtiyacı (mg/l)
- EPA : Environmental protection agency
- TAM : Toplam azot miktarı (mg/l)
- TOK : Toplam organik karbon (mg/l)
- AKM : Hücre konsantrasyonu (mg/l)
- ÇKM : Çözünebilen katı madde (mg/l)
- λ : Dalga boyu (nm)
- UV : Ultraviyole
- S_o/X_o : Besin maddesi/Mikroorganizma miktarı (gr/gr)
- EPS : Extracellular polymeric substances
- VER : Volümetrik değişim oranı
- FTR : Doldurma zamanı oranı
- SVI : Çamur hacim indeksi (ml/gr)
- SKKY : Su Kirliliği Kontrol Yönetmeliği
- S_o : Başlangıçtaki substrat konsantrasyonu (mg/l)
- r_{sf} : Doldurma süresi içerisinde alınan substratin oranı
- k : Reaksiyon sabiti
- V_a : Doldurma süreci başındaki reaktör içindeki hacim
- t_f : Her bir reaktörün doldurma zamanı
- V_b : Kesikli reaktörün boşken (toplam) hacmi
- S_f : Doldurma sürecinin sonundaki substrat konsantrasyonu (mg/l)
- S_e : Reaksiyon sürecinin sonundaki substrat konsantrasyonu (mg/l)

| | |
|------------|--|
| t_c | : Her bir reaktörün devir zamanı |
| t_r | : Her bir reaktörün reaksiyon zamanı |
| t_s | : Her bir reaktörün çökelme zamanı |
| t_d | : Her bir reaktörün boşaltma zamanı |
| t_i | : Her bir reaktörün bekleme zamanı |
| α | : Doldurma peryodu başlamadan önce kesikli reaktörün aktif hacminin, boşken (toplum) reaktör hacmine oranı |
| V_{ab} | : Kesikli reaktörün doldurma süreci başlamadan önceki mevcut hacmi |
| θ_H | : Hidrolik bekleme süresi |
| Q | : Tesise gelen atıksu debisi ($m^3/gün$) |
| V_t | : Havalndırma havuzlarını toplam hacmi (m^3) |
| h | : Havuz derinliği (m) |
| ZSF | : Balık biyodeneyi |
| ÇO | : Çözünmüş oksijen (mg/l) |
| AKR,S | : Ardışık kesikli reaktör |
| V | : Mutlak çökelme hızı |
| g | : Yerçekimi ivmesi |
| γ | : Kinematik vizkozite, su için $0,01 \text{ cm}^2/\text{dak}$ |
| ρ_d | : Partikül yoğunluğu |
| ρ | : Sivının yoğunluğu, su için 1.0 g/cm^3 |
| d | : Partikül çapı |
| V_e | : Etkin çökelme hızı |
| V_w | : Suyun artan çökelme hızı |
| δ | : Hacim/hacim olarak ifade edilmiş çamur konsantrasyonu |
| γ | : Biçim faktörü |
| α | : Katı boyar maddededen yansıyan veya bir çözeltiden geçen ışığın şiddeti |
| A | : α dalga boyunda su ekstinksyonu |
| d | : Numunenin kalınlığı (küvet genişliği, nm) |

f : Spektral absorbsiyon değerinin m^{-1} biriminden elde etmek için faktör ($f = 1000$)

RES : Renklilik sayısı (m^{-1})

El : Ekstinksyon (belirli dalga boyunda)

V_c : Çamurun çökelme hızı (cm/dak)

S : Çamurun kat ettiği mesafe (cm)

t : Zaman (dak)

ŞEKİLLER LİSTESİ

| | | |
|------------|---|----|
| Şekil 6.1 | Genel SBR prosesinin birbirini takip eden işletim fazları..... | 62 |
| Şekil 6.2 | Aydın Örme tekstil endüstrisine ait atıksu arıtma tesisi akım şeması..... | 67 |
| Şekil 6.3 | Atıksu arıtma tesisi Kimyasal Oksijen İhtiyacı (KOİ) (mg/l) değerleri..... | 77 |
| Şekil 6.4 | Atıksu arıtma tesisi pH çıkış değerleri..... | 77 |
| Şekil 6.5 | Atıksu arıtma tesisi Çamur Hacim İndeksi (SVI) (ml/g) değerleri..... | 78 |
| Şekil 6.6 | Atıksu arıtma tesisi hücre konsantrasyonu (AKM) (mg/l) | 78 |
| Şekil 6.7 | Tekstil endüstrisi atıksuyunun, çıkış BOİ ₅ konsantrasyonu (S _e) kinetiğinin deneysel ve teorik karşılaştırılması..... | 80 |
| Şekil 6.8 | Tekstil endüstrisi atıksuyunun, çıkış BOİ ₅ konsantrasyonu (S _e) kinetiğine reaksiyon sabiti (k)'nin etkisi | 80 |
| Şekil 6.9 | Doldurma sürecindeki ve reaksiyon sürecindeki substrat konsantrasyonuna, reaksiyon zamanının etkisi | 82 |
| Şekil 6.10 | Doldurma sürecindeki ve reaksiyon sürecindeki substrat konsantrasyonuna, giren atıksu debisinin etkisi | 83 |
| Şekil 6.11 | 10 °C'de küresel tanecikler için yoğunluk farkı, tane boyutu ve çökelme hızları arasındaki ilişki..... | 85 |
| Şekil 6.12 | Süt endüstrisi atıksuyundan gelen farklı aktif çamur konsantrasyonları için statik çökelme eğrileri..... | 86 |
| Şekil 6.13 | Kanalizasyon aktif çamuru için çamur konsantrasyonu ve çökelme hızı arasındaki ilişki..... | 87 |
| Şekil 7.1 | Aydın Örme San. ve Tic. A.Ş. atıksu arıtma tesisi havalandırma havuzu şematik gösterimi | 88 |
| Şekil 7.2 | Deneylerde kullanılan ardışık kesikli biyoreaktör düzeneği şematik gösterimi..... | 89 |
| Şekil 7.3 | Deneylerde kullanılan ardışık kesikli reaktör düzeneği | 90 |
| Şekil 7.4 | <i>Phanerochaete chrysosporium</i> 'un doğadaki fotoğrafı | 91 |

| | | |
|------------|--|-----|
| Şekil 7.5 | <i>Phanerochaete chrysosporium</i> 'un miselli yapısının mikro fotoğrafı (40 mikron) | 91 |
| Şekil 7.6 | <i>Trametes versicolor</i> 'un doğadaki fotoğrafı..... | 92 |
| Şekil 7.7 | <i>Pleurotus sajur-caju</i> 'nun doğadaki fotoğrafı..... | 92 |
| Şekil 7.8 | Phanaerochacta chrysosporium, <i>Trametes versicolor</i> ve <i>Pleurotus sajur-caju</i> stok kültürleri..... | 96 |
| Şekil 8.1 | 436 nm'de ölçülen absorbans-zaman grafiği..... | 103 |
| Şekil 8.2 | 525 nm'de ölçülen absorbans-zaman grafiği..... | 104 |
| Şekil 8.3 | 620 nm'de ölçülen absorbans-zaman grafiği..... | 104 |
| Şekil 8.4 | 436 nm'de ölçülen absorbans-zaman grafiği..... | 107 |
| Şekil 8.5 | 525 nm'de ölçülen absorbans-zaman grafiği..... | 108 |
| Şekil 8.6 | 620 nm'de ölçülen absorbans-zaman grafiği..... | 108 |
| Şekil 8.7 | 436 nm'de ölçülen absorbans-zaman grafiği..... | 111 |
| Şekil 8.8 | 525 nm'de ölçülen absorbans-zaman grafiği..... | 112 |
| Şekil 8.9 | 620 nm'de ölçülen absorbans-zaman grafiği..... | 112 |
| Şekil 8.10 | 436 nm'de ölçülen absorbans-zaman grafiği..... | 115 |
| Şekil 8.11 | 525 nm'de ölçülen absorbans-zaman grafiği..... | 116 |
| Şekil 8.12 | 620 nm'de ölçülen absorbans-zaman grafiği..... | 116 |
| Şekil 8.13 | 10,6 cm sıvı yüksekliği referans alınarak elde edilen yükseklik-zaman grafiği..... | 118 |
| Şekil 8.14 | 10,6 cm sıvı yüksekliği referans alınarak elde edilen çökelme hızı-zaman grafiği..... | 118 |
| Şekil 8.15 | 35 cm sıvı yüksekliği referans alınarak elde edilen yükseklik-zaman grafiği..... | 120 |
| Şekil 8.16 | 35 cm sıvı yüksekliği referans alınarak elde edilen çökelme hızı-zaman grafiği..... | 120 |
| Şekil 8.17 | Süt endüstrisi atıksuyundan gelen farklı aktif çamur konsantrasyonları için statik çökelme eğrileri ile 4.4 g/l biyokütle konsantrasyonunun karşılaştırılması..... | 121 |
| Şekil 8.18 | Kanalizasyon aktif çamuru için çamur konsantrasyonu ve çökelme hızı arasındaki ilişkinin 4.4 g/l biyokütle konsantrasyonu için karşılaştırılması..... | 122 |

TABLOLAR LİSTESİ

| | | |
|-----------|---|----|
| Tablo 2.1 | Tekstil endüstrisi alt kategorilerine göre atıksu kaynakları | 16 |
| Tablo 2.2 | Alt kategorilerde konsantrasyon bazında atıksu karakterleri..... | 17 |
| Tablo 2.3 | Su Kirliliği Kontrol Yönetmeliği alt kategorilerine ait atık su deşarj standartları | 18 |
| Tablo 3.1 | Tipik bir tekstil fabrikasının yıllık kirlilik yükü | 19 |
| Tablo 3.2 | Yünlü tekstil endüstrisi proseslerinden kaynaklanan atıksu karakteristikleri..... | 20 |
| Tablo 3.3 | Pamuklu tekstil endüstrisi proseslerinden kaynaklanan atıksu karakteristikleri | 21 |
| Tablo 3.4 | Sentetik tekstil endüstrisi proseslerinden kaynaklanan atıksu özellikleri.. | 21 |
| Tablo 3.5 | Tekstil atıksularında bulunan kimyasallar..... | 22 |
| Tablo 3.6 | Boyama atıksularının karakteristikleri | 23 |
| Tablo 3.7 | Boyama prosesinde en sık kullanılan yardımcı kimyasallar | 24 |
| Tablo 3.8 | Uygulamalarına göre boyama sınıflaması | 30 |
| Tablo 3.9 | Işık absorpsiyonu ve renk..... | 31 |
| Tablo 4.1 | Aritma sistemlerindeki proseslerin kirletici giderme verimleri..... | 38 |
| Tablo 4.2 | Kullanılan boyama türüne göre boyama suyuna geçen boyama yüzdeleri değişim aralığı..... | 39 |
| Tablo 4.3 | Membran proseslerinin karşılaştırılması | 49 |
| Tablo 5.1 | Atıksuyun Kirlilik Parametreleri | 57 |
| Tablo 5.2 | Proses Profili | 58 |
| Tablo 6.1 | Değişik atıksu debilerinde elde edilen S_f (mg/l) ve S_e (mg/l) konsantrasyonları | 75 |
| Tablo 6.2 | Aydın Örme tekstil endüstrisi atıksu arıtma tesisi çıkış değerleri..... | 76 |
| Tablo 6.3 | Aydın Örme tekstil endüstrisi atıksu arıtma tesisi işletme parametreleri... | 77 |

| | | |
|-----------|--|-----|
| Tablo 6.4 | Tekstil endüstrisi atıksuyunun çıkış BOI ₅ konsantrasyonu (S_e) kinetiğinin deneyel ve teorik karşılaştırılması..... | 79 |
| Tablo 7.1 | Boya giderimin de kullanılan çeşitli canlı fungal hücreler ile ilgili veriler | 93 |
| Tablo 8.1 | Farklı dalga boyalarında ve farklı zamanlarda hücre ilavesiz ve hücre ilaveli elde edilen çıkış suyu absorbans ölçüm değerleri | 101 |
| Tablo 8.2 | $\lambda = 436$ nm, $\lambda = 525$ nm ve $\lambda = 620$ nm dalga boyları için zamana göre renk giderim verimleri..... | 103 |
| Tablo 8.3 | $\lambda = 436$ nm, $\lambda = 525$ nm ve $\lambda = 620$ nm dalga boyları için zamana göre renk giderim verimleri..... | 107 |
| Tablo 8.4 | $\lambda = 436$ nm, $\lambda = 525$ nm ve $\lambda = 620$ nm dalga boyları için zamana göre renk giderim verimleri..... | 111 |
| Tablo 8.5 | $\lambda = 436$ nm, $\lambda = 525$ nm ve $\lambda = 620$ nm dalga boyları için zamana göre renk giderim verimleri..... | 115 |
| Tablo 8.6 | 10,6 cm sıvı yüksekliği için elde edilen aktif çamur yükseklikleri, aktif çamurun katettiği mesafe ve çökelme hızı değerleri..... | 117 |
| Tablo 8.7 | 35 cm sıvı yüksekliği için elde edilen aktif çamur yükseklikleri, aktif çamurun katettiği mesafe ve çökelme hızı değerleri..... | 119 |

ÖZET

Anahtar Kelimeler : Tekstil endüstrisi, Renk, Ardışık kesikli reaktör, Deneysel, Teorik, *phanaerochacta chrysosporium*, *trametes versicolor*, *pleurotus sajur-caju*, Çökelme kinetiği

Bu çalışmanın amacı; tekstil endüstrisi atıksularının arıtılmasında Ardışık Kesikli Reaktörlerin (AKR) kullanılabilirliğinin incelenmesi ve tekstil endüstrisi atıksularının arıtılmasında kullanılan klasik aktif çamur prosesine, biyoteknolojik yöntemlere dayanarak, renge parçalama özelliği bulunan 3 farklı hücre eklenerek elde edilen İleri Aktif Çamur Yöntemi ile renk giderim verimlerinin belirlenmesi ve kıyaslanmasıdır. İrdeleme, deneysel veriler ve literatürden elde edilmiş teori üzerine yapılmıştır. Çalışmada, Aydin Örme San. ve Tic. A.Ş. tekstil endüstrisi atıksu arıtma tesisi Ardışık Kesikli Reaktör ünitesinde; çıkış suyu BOİ5'sinin (Se), reaksiyon süresince (t_r) ile değişimi ve bu değişime etki eden reaksiyon sabiti (k) parametresi araştırılmıştır.

Yapılan deneysel çalışmalarında; adı geçen tekstil firmasının faaliyetteki ardışık kesikli biyolojik arıtma tesisisinden alınan aktif çamura üç beyaz çürükçül tür *phanaerochacta chrysosporium*, *trametes versicolor*, *pleurotus sajur-caju* (canlı biyokütle) ilave edilerek İleri Aktif Çamur elde edilmiş ve renk giderimin de kullanılan bu üç beyaz çürükçülün renk giderim kapasiteleri araştırılarak mevcut sistemle karşılaştırılması yapılmıştır. Deneysel çalışmalarдан elde edilen veriler grafiklere aktarılarak yorumlanmıştır.

Ayrıca yapılan literatür çalışmalarında klasik aktif çamur son çökeltim havuzundaki engelli çökeltim kinetiği ve davranış modeli incelenmiş ve ardışık kesikli reaktör sistemlerindeki çökelme kinetiğinin genel olarak engelli çökelme kinetiğine uygun olabileceği düşünülmüştür. Yapılan deneysel çalışmalarla da bunun uygunluğu saptanmaya çalışılmış, sistemin biyokütle konsantrasyonu (X , g/l) için en uygun çamur çökelme süresini tespit etmek için yükseklik-zaman ve hız-zaman grafikleri çizilmiştir. Elde edilen değerler doğrultusunda tekstil firmasına ait ardışık kesikli biyolojik arıtma tesisi için en uygun çökelme süresi tespit edilerek literatürdeki mevcut engelli çökelme teorisinin ardışık kesikli reaktör sistemlerine uygunluğu saptanmaya çalışılmıştır.

REMUVIBILITY OF TEXTILE INDUSTRY WASTEWATER COLOR PROBLEM BY ADVANCED ACTIVATED SLUDGE SEQUENCING BATCH BIOREACTOR

SUMMARY

Key Words : Textile industry, sequencing batch reactor, experimental, theoretical, dye, *phaeochrysa chrysosporium*, *trametes versicolor*, *pleurotus sajur-caju*, sedimentation kinetic.

In this study the employability of sequencing batch reactor's wastewater treatment have been researched. At first, this is the out flow's BOD_5 (S_e) which has Aydin Örme textile industry wastewater treatment plant reaction period with conversion and reaction constant parameter (k) affecting this conversion has been researched. The S_0 , Q , V_b , V_a , S_e parameters average values which has Aydin Örme textile industry wastewater plant were determined and these parameters were substituted into the equation and obtained filling period in the end substrate concentration (S_f) and obtained value, different reaction period (t_r) applying outflow concentration (S_e) and obtained these values. Finding results have translated to graphics. At theoretical study ($S_0=350 \text{ mg/l}$, $k=0,21 \text{ h}^{-1}$) being for 1,5 hour reaction period was $41,5 \text{ mg BOD}_5/\text{l}$. Functional system's BOD_5 value ($43 \text{ mg BOD}_5/\text{l}$) with BOD_5 value ($41,5 \text{ mg BOD}_5/\text{l}$) which obtained theoretical equations were observed very similar to one another. In another theoretical study ($S_0=2700 \text{ mg/l}$, $k=0,8 \text{ h}^{-1}$), for 1,5 hour reaction period BOD_5 value was $57,1 \text{ mg BOD}_5/\text{l}$. Functional system's BOD_5 value ($59 \text{ mg BOD}_5/\text{l}$) with value of BOD_5 ($57,1 \text{ mg BOD}_5/\text{l}$) which obtained theoretical equation's values were observed very similar by us. Sequencing batch reactor textile industry wastewater can employ for biological treatment and in this study, coming to the conclusion that, these equations will be represented to sequencing batch kinetic with optimum operation conditions.

Having done, in this experimental studies tested activities sludge from going on Aydin Örme textile firm's sequencing batch biological treatment systems and three white rot fungi's added into this sludge, so that we obtained advanced activated sludge and three white rot fungi's which used color removal systems were investigated and compared with existing systems. In the experimental studies, at the end of 1,5 hour mixing and 1,5 hour within the process of sedimentation period, samples from the reactor were evaluated for kinetic studies within the period of 5,

10, 20, 30, 60, 120, 240, 1600 minutes having measured value of 436, 525 and 620 nm from sample of color absorbance's. Obtained data from experimental studies transferred and interpreted to these graphics.

In the literature studies achieved, determined and being deemed as perhaps settling hindered on the sequencing batch reactor systems. Done experiment, finished one and a half mixing period then three hours along each ten minutes measured activated sludge height from a reactor, between height-time, sedimentation rate-time relation transferred to the graphics so that being formed sedimentation kinetic curves, obtained graphics compared with literature graphics and these results considered carefully with Aydin Örme textile wastewater treatment plant's biomass (X g/l). The most acceptable sedimentation periods for treatment plant's biomass concentration (X g/l) with being existed and enforced one and a half hours sedimentation periods at treatment plant studied and determined compatibility.

BÖLÜM 1. GİRİŞ

Doğal çevreyi dikkate almayan sanayileşme ve teknoloji kullanımı, insanların doğal çevre sistemlerinde bazı dengesizliklerin ortayamasına ve “Çevre Sorunları” adı altında toplanan çeşitli sorunların önem kazanmasına yol açmıştır. Günümüzde de çevrenin kirletilmesi konusunda en büyük payı endüstri kuruluşları ve meydana getirdikleri atıksular oluşturmaktadır.

Tekstil endüstrisi atıksularında ki kirleticiler; sıcaklık, organik, inorganik maddeler, ağır metal ve renk faktörlerini içerir. Tekstil endüstrisi atıksularındaki bu kirletici parametrelerin çok çeşitli olmasından dolayı bu endüstriye ait atıksuların arıtılmasında farklı arıtma yöntemleri uygulanabilir. Başlangıçta kullanılan büyük miktarlardaki suyun sadece az bir kısmının üzerinde yer olması ve sonuçta üzerinde kullanılmayan suyun büyük hacimlerde çıktı olarak oluşması, en uygun arıtma tipinin belirlenmesini bir zorunluluk haline getirmiştir [1, 2].

1.1 Çalışmanın Amaç ve Kapsamı

Bu çalışmanın amacı; tekstil endüstrisi atıksalarının arıtılmasında Ardisık Kesikli Reaktörlerin (AKR) kullanılabilirliğinin incelenmesi ve tekstil endüstrisi atıksalarının arıtılmasında kullanılan klasik aktif çamur prosesine, biyoteknolojik yöntemlere dayanarak, rengi parçalama özelliği bulunan 3 farklı hücre eklenerek elde edilen İleri Aktif Çamur Yöntemi ile renk giderim verimlerinin belirlenmesi ve kıyaslanmasıdır. İrdeleme, deneysel veriler ve literatürden elde edilmiş teori üzerine yapılmıştır.

Çalışmada, Aydın Örme San. ve Tic. A.Ş. tekstil endüstrisi atıksu arıtma tesisi Ardisık Kesikli Reaktör ünitesinde; çıkış suyu BOİ'sinin (S_e), reaksiyon süresince (t_r) ile değişimi ve bu değişime etki eden reaksiyon sabiti (k) parametresi

araştırılmıştır. Aydin Örme San. ve Tic. A.Ş.'ne ait Ardışık Kesikli Reaktör biyolojik arıtma prosesi kinetiğine ait denklem literatürden araştırılmış ve faaliyette olan sistemin çıkış BO₁₅ değeri ile teorik denklemden elde edilen teorik çıkış BO₁₅ değerinin birbirlerine yakın olduğu gözlemlenmiştir. Ardışık Kesikli Reaktörlerin tekstil endüstrisi atıksularının biyolojik arıtımında kullanılabileceği ve teorik çalışmada kullanılan denkleminde optimum işletme şartlarında Ardışık Kesikli Reaktör kinetğini temsil edebileceği görülmektedir.

Yapılan deneysel çalışmalarında; Örme San. ve Tic. A.Ş. tekstil firmasının faaliyetteki ardışık kesikli biyolojik arıtma tesisiinden alınan aktif çamura üç beyaz çürükçül tür (canlı biyokütle) ilave edilerek İleri Aktif Çamur elde edilmiş ve renk giderimin de kullanılan bu üç beyaz çürükçülün renk giderim kapasiteleri araştırılarak mevcut sistemle karşılaştırılması yapılmıştır. Deneysel çalışmalarдан elde edilen veriler grafiklere aktarılarak yorumlanmıştır.

Ayrıca yapılan literatür çalışmalarında klasik aktif çamur son çökeltim havuzundaki engelli çökeltim kinetiği ve davranış modeli incelenmiş ve ardışık kesikli reaktör sistemlerindeki çökelme kinetiğinin genel olarak engelli çökelme kinetiğine uygun olabileceği düşünülmüştür. Yapılan deneysel çalışmalarla da bunun uygunluğu saptanmaya çalışılmış, sistemin biyokütle konsantrasyonu (X, g/l) için en uygun çamur çökelme süresini tespit etmek için yükseklik-zaman ve hız-zaman grafikleri çizilmiştir. Elde edilen değerler doğrultusunda Örme San. ve Tic. A.Ş. tekstil firmasına ait ardışık kesikli biyolojik arıtma tesisi için en uygun çökelme süresi tespit edilerek literatürdeki mevcut engelli çökelme teorisinin ardışık kesikli reaktör sistemlerine uygunluğu saptanmaya çalışılmıştır.

BÖLÜM 2. TEKSTİL ENDÜSTRİSİ

2.1 Endüstrinin Tanımı

Tekstil endüstrisi kategorisi, tabii ve fabrikasyon elyaf kullanarak kumaş ve diğer tekstil ürünleri üreten tesisleri kapsar. Fabrikasyon elyafların üretimi ve giyim sanayi bu kategorinin dışındadır. Tekstil endüstrisi tabii ve fabrikasyon ipliklerin hazırlanması, dokuma, örme veya başka yöntemlerle kumaş, triko, halı gibi tekstil ürünlerini haline getirilmesi, iplik ve kumaşlara boyalar, baskı, apre gibi terbiye işlemlerinin uygulanması işlemlerini içerir [3].

2.2 Tekstil Endüstrisinde Üretim Proses ve İşlemleri

Tekstil endüstrisinin hammaddesi elyaftır. Doğal elyaflar arasında pamuk, keten, kenevir, yün, ipek, mohair ve kollar, fabrikasyon elyafları arasında reyon, kazein, asetat-selüloz ester, naylon, polyester, akrilik ve vinil bulunur [3].

Tekstil endüstrisinde üretimde yer alan yıkama, boyama gibi temel prosesler, işlenen elyafa bağlı olmaksızın endüstrinin bütün üretim sistemleri içerisinde yer alır. Fakat diğer üretim proseslerinde, kullanılan elyafa bağlı olarak bir takım farklılıklar ortaya çıkar. Tekstil endüstrisi; pamuk, yün ve sentetik tekstil endüstrileri şeklinde sınıflandırılır.

2.2.1 Yünlü tekstil endüstrisi

Yünlü kumaş üretiminde ham madde koyun yünüdür. Koyun yününe çoğunlukla viskoz ipeği veya sentetik lif katılarak karışım iplikler hazırlanır. Yünlü kumaş üretimi üç bölümde gerçekleşir [4].

1. İplik üretimi
 - a) Tefrik (Ayırma) b) Yıkama c) Yağlama d) Bant Birleştirme e) İnceltme f) Eğirme
2. Dokuma
 - a) Hazırlık : Çözgü, Atkı, Tahar b) Dokuma
3. Terbiye
 - a) Ön Terbiye b) Boyama c) Bitirme İşlemleri

Yünün ön terbiyesinde yer alan işlemler şunlardır;

- Yıkama
- Ağartma
- Dinkleme
- Karbonizasyon
- Yakma
- Haşıl sökme
- Boyama
- Bitirme işlemleri

Yakma pamukludaki kadar yaygın değildir. Yakma ve haşıl sökme aynen pamukluda olduğu gibi yapılır.

Ön yıkama;

Yün, %20 kadar yabancı madde içerir. Yıkamadan amaç, tekstil mamullerindeki rahatsız edici bu yabancı maddeleri uzaklaştırmaktır. Yapaktan, tekstil yüzeylerine (kumaş, keçe, vb.) kadar çeşitli yünlü mamullerin ön terbiyesinde en önemli işlem yıkamadır. Bunun nedeni; yünlü mamullerin yıkanmasının en az iki veya üç kez tekrarlanması zorunluluğu, en fazla suyun tüketildiği işlem olması ve yıkamada gereken titizlik gösterilmediği takdirde mamulün kalitesini büyük ölçüde bozması gereğidir.

Yünün yıklanması nötr veya NH₃'lü ortamda (pH <= 10.5) ve 50-55 °C'de yapılır. Keçeleşme nedeniyle fazla hareketten kaçınılmalıdır. Ayrıca bir yıkama maddesinin (sabun vb.) ilavesi de gereklidir.

Gerek kirli yapak yıkama sularının, işletme atık sularını yüksek oranda yüklememesi, gerekse bu sularda bulunan yün yağıının merhem veya krem yapımında kullanılan değerli bir madde olması nedeniyle büyük işletmelerde yapak yıkama suları kanal akışından önce bir arıtmadan geçirilir.

Ağartma;

Ağartma yün sektöründe pamuklarda olduğu kadar önemli ve sık uygulanan bir işlem değildir. Ağartma daha ziyade beyaz olarak kullanılacak malzemeye, yünün doğal sarımtırak renginin giderilmesi amacıyla uygulanır. Genelde bazik veya asidik ortamda hidrojen peroksit ilavesiyle gerçekleştirilir.

Dinkleme;

Dinklemenin esası, yün liflerinin keçeleşme özelliğinden faydalılarak kumaşın görünüm ve tutumunun değiştirilmesidir. Dinkleme sonucunda kumaşlar yalnız az veya çok keçeleşmiş bir yüzey yapısı kazanmakla kalmazlar, aynı zamanda dokuma tekniğiyle eldesi imkansız derecede sıkılaşırlar. Bunun sonucu olarak da kumaşın bütün dayanımlarında bir arıtma olduğu gibi rüzgar ve diğer dış etkenlere karşı koruma ve dolayısıyla sıcak tutma özelliği de artar. Dinkleme, suda asidik veya bazik ortamda hareket verdirilerek yapılır.

Karbonizasyon;

Kirli yün liflerinde ağırlıklarının %5-40'ı kadar bitkisel artıklar bulunmaktadır. Pitrak, diken, ot, yaprak ve yem artıklarından oluşan bu bitkisel kaynaklı maddeleri uzaklaştırmak için bir kimyasal işlem olan karbonizasyon uygulanır. Karbonizasyon işlemi, yıkanmış yüne (yapağıya) veya yünlü kumaşlara uygulanır.

Karbonizasyonun esasını, mamülün ısıtılınca asidik özellik gösteren tuzlarla yüksek sıcaklıklarda işlem görmesi oluşturur. Genellikle derişik H_2SO_4 'lu ortamda yapılır.

Boyama;

Yün boyamacılığında çok çeşitli boyarmadde türleri kullanılabilirse de en fazla kullanma sahası bulan boyarmaddeler; metal kompleks boyarmaddeleri, asit boyarmaddeleri ve reaktif boyarmaddeleridir. Boyama genellikle asidik ortamda yapılır. Boyama atıkları boya ve tuz içerirler. Boyama genellikle açık elyaf ve ipliğe uygulanır, kumaş boyamaya nadir rastlanır.

Bitirme İşlemleri;

Bitirme işlemleri kuru ve yaş bitirme işlemleri olmak üzere ikiye ayrılır. Bunlara ilave olarak yün liflerine güveden koruma ve güve yemezlik, çürüme ve küflenmeye karşı dayanıklılık, su ve kir iticilik, antimikrobik özellik kazandıran, parlaklık artırma bitirme işlemleri de uygulanır.

Kuru bitirme işlemleri;

Presleme : Yüzey düzgünleştirme işlemi.

Şardonlama : Tüylendirme işlemi.

Yaş bitirme işlemleri;

Keçeleşmezlik : Keçeleşmeyi önlemek amacıyla uygulanır.

Krablama : Yaş işlemler sonucunda mamülün daha az çeker duruma getirilmesi, kumaşa keçeleşme ve kırışıklık izleri kalma tehlikesini azaltmak ve yüzey düzgünlüğünü sağlamak amacıyla uygulanır.

Dekatür : Kumaşı dikime hazır bir duruma getirmek amacıyla uygulanır.

2.2.2 Pamuklu tekstil endüstrisi

Pamuk uzun sürelerden beri kullanılan eski ve önemli bir elyaf türüdür. Pamuklu tekstil mamullerine uygulanan ön terbiye işlemleri; yakma, liflerin hasılanması,

bazik işlemler, haşıl sökme işlemi, ağartma, yıkama işlemleri, merserizasyon işlemi, boyama işlemi ve bitirme işlemleridir. Bu işlemler ve bu işlemler sırasında oluşan atıklar aşağıda tanıtılmıştır [5].

Haşıllama;

Haşıllama işlemindeki amaç; çeşitli mekanik zorlamalarla karşı karşıya kalan liflerin birbirine daha iyi yapışarak, daha kapalı, daha sağlam bir hale gelmelerini ve kayganlıklarının artmasını sağlayarak dokumada performansı artırmaktır [6]. Haşıllama işleminde ipliklere tatbik edilen haşıl maddesi ile birlikte küf gidericiler, mantar öldürücü ilaçlar gibi önceden koruyucu maksatla kullanılmış kimyasal maddeler ve diğer yabancı maddelerin uzaklaştırılması için haşıl sökme diye tanımlanan işlem uygulanır.

Haşıl maddeleri; makromoleküllü, film oluşturabilen ve liflere belirli bir yapışma, tutunma yeteneğine sahip olan doğal veya yapay esaslı maddeler olarak tanımlanabilir [6].

Haşıl maddesi olarak kullanılan polivinil alkol, deterjan/su çözeltisi ile giderilebilir. Bu işlem sonucunda, askıda katı madde, yağ ve gres içeren atıklar suya karışır. Oluşan bu atıklar, mamul oluşumu sonuçu meydana gelen katı artığın %50'sini oluşturur. Atıksulardaki KOI'nin önemli bir bölümünü de polivinil alkol oluşturur.

Yakma;

Yakma işleminde amaç, kumaşı oluşturan ipliklerden çıkan lif uçlarını (haytücüüklerini) uzaklaştırmaktır.

Bazik İşlemler;

Pamuk lifleri, yağ, mum, pektin, hemiselüloz gibi yabancı maddeler içerir. Bu maddelerin bir kısmı hidrofobtür ve dolayısıyla yaşı terbiye işlemleri sırasında liflerin iyi ve düzgün bir şekilde ıslanmasını güçleştirir. Pamuklu liflerin içerisindeki ve

üzerindeki bütün bu yabancı maddelerin uzaklaştırılması, ham pamuklu mamulleri baz çözeltileriyle muamele ederek sağlanır. Bu şekilde pamuk lifleri hidrofillesir ve ham bez kısmen beyazlaşır. Bazik işlemler, pişirme yada kaynatma şeklinde uygulanır.

Kostik soda ile pişme sonucunda, kostik soda içeren atıklar oluşur. Pişme işleminde kullanılan yüzey aktif maddeler ve sodyum fosfat da atıksulara karışır. Pişme işlemi sıvı artıkları, kuvvetli alkali ($\text{pH} > 12$) özellikte ve koyu renkli atıklardır.

Atıksu da önemli miktarda çözünmüş katı madde ve yağ bulunur, askıda katı madde içeriği ise daha düşüktür.

Ağartma;

Pamuk kendisine sarımtrak-kahverengi bir renk veren doğal boyarmaddeleri içerir. Ağartmanın amacı bu boyarmaddeleri bozusturup, parçalayarak liflerin temiz beyaz bir görünüşe sahip olmasını sağlamaktır. Ağartma sırasında, kumasta bulunan yaprak, kapsül ve çekirdek kabuğu artıkları gibi pisliklerde uzaklaştırılmış olur.

Hidrojen peroksit (H_2O_2), tekstil için en yaygın olarak kullanılan ağartma maddesidir ve tüm liflerin %85'inden fazlası onunla ağartılır. İşlem sonucunda oluşan kirlilik yükleri düşüktür. Atıksuda çözünmüş katı maddeler, anorganik katı maddeler (sodyum silikat, sodyum hidroksit ve sodyum fosfat) ve bazı organik maddeler (deterjanlar ve şellatlaştırma maddeleri gibi) bulunur.

Merserizasyon;

Merserizasyon işleminin amacı; liflerin yüzeyindeki düzgünliklerin azaltılması ile liflerin ışığı yansıma yeteneğinin artırılması ve bunun sonucu olarak da iplik veya kumaşın daha parlak bir görünüşe sahip olmasıdır.

Merserizasyon prosesinde derişik NaOH kullanılır. İşlem sırasında derişik NaOH liflerin arasına girerek lifleri şişirmekte ve daha açık bir yapı kazanmalarına yol

açmaktadır. Bu proses sonucunda oluşan atıklar kuvvetli alkali ($\text{pH}>12$) özellikte ve BOİ miktarı düşük atıksulardır.

Boyama;

Boyama elyaf hammaddesine, iplik ve kumaşa renk verme işlemidir. Kumaş üzerindeki renkli şekiller genellikle baskıdır. Boyama işlemi sonucunda, boyalı atıklarını içeren renkli atıksular oluşur. Bu atıksular da, çözünmüş madde miktarı ve KOİ yüksektir. Pamuk lifleri; direkt, kükürt, reaktif, mordan, oksidasyon, bazik, pigment boyarmaddeleri ile boyanabilirler.

Bitirme İşlemleri;

Bitirme işlemleri, tekstil mamullerine kullanılma maksadına göre arzu edilen özelliği kazandırmak için yapılan işlemlerdir. Pamuklu liflere uygulanan bitirme işlemleri kimyasal ve mekanik bitirme işlemleri olarak çok çeşitlilik gösterir. Bunlar arasında; tutum apresi (sertlik, uyuşmazlık kazandıran vb.), su itici (hidrofob) karakter kazandıran bitirme işlemleri, buruşmazlık bitirme işlemleri, çekmezlik bitirme işlemleri ve şardonlama sayılabilir.

Su geçirmezlik, alev almazlık, buruşmazlık ve benzeri bitirme işlemlerinden gelen atıklar hacim olarak düşük miktarlardadır. Uygulanan kimyasal maddeler; ıslatma, işleme alma ve kurutma gibi sebeplerle düşük miktarlarda atık oluştururlar.

2.2.3 Sentetik tekstil endüstrisi

Selülozik ve organik polimerlerin elyafları, pamuk ve yünlülere karıştırılarak veya ayrı olarak iplik hazırlama, haşıl sökme, boyama ve apre işlemlerinden geçer. Başlangıç maddesi olarak selüloz içeren odun ve bitkiler kullanılır. Üretim yöntemlerinde selülozun değişik çözücülerle çözünmesi ve kullanılan kimyasal yöntem farklılıklarını vardır.

Selüloz esaslı sentetik elyaflar içinde, yapay ipek ve viskon en önemlileridir. İpek üretimi; ipek çekimi, liflerin terbiyesi, yıkama, ağartma, boyama işlemlerinden oluşur. Halı üretimi; lateks ile taban kaplaması işlemini içerir. Keçeleştirilmiş ve dokusuz yüzeyli kumaş üretimi de keçeleştirmeye, yıkama, boyama vb. işlemlerini kapsar.

2.3 Tekstil Endüstrisi’nde Alt Kategorizasyon ve Deşarj Standartları

Tekstil endüstrisinde alt kategorizasyon; aynı kategoride olmakla birlikte üretim farklılıklarını olan veya aynı ürünü farklı proses ve yöntemlerle üreten tesislerin atıksularında oluşacak değişikleri ortaya koymak, atıksuların karakterizasyonunun, tesis içi kontrolün, arıtımın ve standartların geliştirilebilmesi amacıyla yapılır [5].

Tekstil endüstrisinde alt kategorizasyon yaparken dikkat edilmesi gereken başlıca faktörler şunlardır;

1. İmalatta kullanılan prosesler
2. Hammaddeler
3. Ürün cinsleri
4. Atıksu özellikleri

Tekstil endüstrisinin alt kategorizasyonu yapılırken kullanılan klasik metod, işlenen elyafın cinsine (yün, pamuk ve sentetik) göre üretim tesislerini grupperlemektedir. Benzer tekstil ürünlerinin üretiminde kullanılan tekil üretim prosesleri ve her bir birim prosesinde ortaya çıkan atıklar açıklanacağı zaman bu grupperleme yaklaşımı yararlı olabilir. Ancak aynı endüstri grubunda birçok farklı ürün üretilmesi sonucu çıkan atıkların büyük farklılık göstermesi, bu şekilde bir kategorizasyon kullanımını zorlaştırmaktadır. Diğer bir yaklaşım şekli ise alt kategorizasyonun imalat proseslerine, kullanılan hammaddelere, son produktelere, su kullanımına ve atık karakteristiklerindeki benzerliklere dayandırılarak yapılmalıdır. Burada kullanılan alt kategorizasyon kirlilik bazlı olup, tekstil endüstrisinde bu amaçla on alt kategori bulunmaktadır [11]. Bu alt kategorilere göre atıksu kaynakları Tablo 2.1’de belirtilmiştir.

1. Yapağı yıkama alt kategorisi
2. Yünlü kumaş son işlemler alt kategorisi
3. Az su kullanılan işlemler alt kategorisi
4. Dokunmuş kumaş son işlemler alt kategorisi
5. Örgü kumaş son işlemler alt kategorisi
6. Halı üretimi son işlemler alt kategorisi
7. Stok ve elyaf, iplik, boyama son işlemler alt kategorisi
8. Dokusuz yüzeyli kumaş son işlemler alt kategorisi
9. Keçeleştirilmiş kumaş son işlemler alt kategorisi
10. Koza işleme ve doğal ipek üretimi alt kategorisi

1- Yapağı yıkama alt kategorisi

Bu alt kategori, ham yün elyafi ve hayvan killarının temizlendiği tesisleri kapsar. Yün elyafi ve hayvan killarının önemli ölçüde bir ön temizlemeye ihtiyaç duymasından dolayı yapağı yıkama, tekstil endüstrisinin diğer alt kategorilerinden farklı bir özellik taşır. Bu prosesde ham yapağı iplik üretimine sokulmadan önce yıkanmalıdır. Pamuk veya sentetikler bu aşamada yıkanmazlar.

Yapağı yıkama işlemi ile kirler ve yağlar emülsiyon hale geçer ve çoğulukla yağlı bir köpükle kaplı kahverengi, kumlu, bulanık bir atıksu oluşur. Konsantrasyon bazında atıksu karakterleri Tablo 2.2'de verilmiştir.

2- Yünlü kumaş son işlemler alt kategorisi

Bu alt kategori, yün elyafi, diğer hayvansal kıl veya yün elyafi-hayvansal kıl karışımı kumaşlara ağırtma, yıkama, boyama, ateşe dayanıklı hale getirme, güve yemezlik, v.b. işlemlerinden birinin uygulanmasını kapsar. Karbonizlemenin yer aldığı terbiye de bu alt kategori kapsamındadır.

Yünlü kumaş son işlemleri değişken kimyasallar ve kendine has tekstil boyaları kullanımı nedeniyle yüksek kirlilik yükü oluşturduğundan ayrı bir kategori olarak ele alınmıştır. Bu atıksular, yüksek hacim ve konvansiyonel kirletici parametrelerin

düşük konsantrasyonda olması ile karakterize edilirler. Nonkonvansiyonel kirleticilerden sülfür, renk ve toksik kirleticiler, fenol ve krom hem konsantrasyon, hem de yük bakımından yüksektir. Dinklemeden sonra yapılan yıkama, toplam BOİ'nin yaklaşık % 20-35 kadarını meydana getirirken, boyama için bu değer % 6-9'dur. Bu alt kategorideki atıksuların konsantrasyon bazında karakterleri Tablo 2.2'de verilmiştir.

3- Az su kullanılan işlemler alt kategorisi

Bu alt kategori, iplik yapımı, tekstürize iplik yapımı, dokuma, kumaş emprenyeleme, halı tabanı yapımı ve halı tafting gibi çok çeşitli kuru işlemleri kapsar.

Bu işlemlerden çıkan atıksu hacmi çok düşüktür. Suyun büyük hacimde atıldığı yerler soğutma ve proses donanımının yıkanması ve temizlenmesidir. Bu alt kategoride ait atıksu kirletici miktarı konsantrasyon bazında Tablo 2.2'de gösterilmiştir.

4- Dokunmuş kumaş son işlemleri alt kategorisi

Bu alt kategori atıksu yükü bakımından tekstil endüstrisinin önemli bir alt kategorizasyonunu oluşturur. Dokunmuş kumaşlara uygulanan hasil sökme, yıkama, ağartma, merserize, boyama, basma, apre gibi işlemleri kapsar.

Bu alt kategoride ait atıksular, konvansiyonel kirletici parametreler için konsantrasyon ve yük miktarı bakımından oldukça geniş bir aralıkta karakterize edilir. Bu alt kategorideki atıksu karakterleri Tablo 2.2'de verilmiştir.

5- Örgü kumaş son işlemleri alt kategorisi

Bu alt kategori, çoğunluğu örgü olan pamuklu ve/veya sentetik kumaşlara uygulanan yıkama, ağartma, boyama, basma, apre işlemlerini kapsar. Coğunluğu örgü kumaş terbiyesi olmakla beraber kumaş dokuma ve iplik terbiyesi işlemlerinde bulunan

entegre tesislerde bu alt kategori kapsamındadır. Dokunmuş kumaş son işlemlerinden farkı, haşlama, haşılık ve merserizasyon işlemlerine gerek duyulmamasıdır.

Atıksuları, dokunmuş kumaş son işlemleri atıksuları gibi konvansiyonel kirletici parametreler için konsantrasyon ve yük miktarı açısından geniş bir aralık gösterir. Fakat atıklar konsantrasyon bakımından, genellikle dokunmuş kumaş son işlemlerindeki kadar büyük değildir. Atıksu karakteristikleri Tablo 2.2'de verilmiştir.

6- Halı üretimi son işlemleri alt kategorisi

Tekstil esaslı halılara uygulanan yıkama, ağırtma, boyama, basma ve apre işlemlerini kapsar. İşlemin çoğunluğu halı terbiyesi olup, halı tafting, halı tabanı yapımı veya iplik boyama işlemlerinde bulunan tesisler bu alt kategori kapsamındadır. Sadece halı tafting ve/veya halı tabanı yapan işletmeler az su kullanılan işlemler alt kategorisi kapsamındadır.

Atıksuları, su kullanımının diğer alt kategorilere göre nispeten düşük olmasına rağmen büyük hacimdedir. Bunun nedeni, halı üretiminin özel yapısı ve halının diğer tekstil ürünlerine nazaran daha ağır olmasıdır. Halı son işlemlerinde başlıca atık kaynakları olan boyama ve baskı prosesleri, konvansiyonel ve non-konvansiyonel kirleticilerde ekstrem değerler meydana getirmemektedir. Bu alt kategorije ait atıksu karakterleri Tablo 2.2'de verilmiştir.

7- Stok ve elyaf son işlemler alt kategorisi

Bu alt kategori, pamuklu ve/veya sentetik iplik ve elyafa uygulanan yıkama, ağırtma, merserize, boyama ve apre işlemlerini kapsar. Karbonizasyon işleminin yer almadığı yün iplik ve yün elyaf terbiyesi de bu alt kategori kapsamındadır.

Atıksuların hacmi diğer son işlem alt kategorilerindekiyle hemen hemen aynıdır. Atıksular diğer alt kategorilerdeki kadar kuvvetli değildir ve elyafların tek çeşit veya karışık olarak işlenip işlenmediğine bağlı olarak değişir. Bu alt kategorinin atıksu karakterizasyonu Tablo 2.2'de verilmiştir.

8- Dokusuz yüzeyli kumaş üretimi alt kategorisi

Bu alt kategori, yün, pamuk veya sentetik malzemenin yalnız veya karışım halinde mekanik termal ve/veya yapıştırıcılarla birleştirilerek dokusuz yüzeyli ürünlerin üretimini kapsar.

Bu üretimin yapısı, nispeten küçük hidrolik ve kirletici yüklerine sahip bir tesise benzer özellik taşıır. Atıksu, lateks ve diğer kirleticileri içerebilir. Bazı tesislerde, özel üretim işlemleri veya diğer kategorilerle ortak faaliyetler, daha fazla atıksu meydana gelmesine neden olabilir. Bu alt kategoriye ait atıksu karakterizasyonu Tablo 2.2'de verilmiştir.

9- Keçeleştirilmiş yüzeyli kumaş üretimi alt kategorisi

Bu alt kategori, dinkleme ve keçeleştirme işlemleri ile dokusuz yüzeyli ürünlerin üretimini kapsar. Bu prosesle yüksek hacimli fakat genellikle seyreltik yapıda bir atıksu oluşur. Dinkleme ve boyamayı takiben durulamalar yapılıyorsa, su kullanımı ve kirletici miktarları artar. Bu alt kategoriye ait atıksu karakterizasyonu Tablo 2.2'de gösterilmiştir.

10- Koza işleme ve doğal ipek üretimi alt kategorisi

Bu alt kategori, pişirme (koza kaynatma), ipek çekimi işlemleri ile ipek ipliği üretimini kapsar. Başlıca kozanın pişirilmesi, serisin giderilmesi, boyama ve yıkamada oluşan atıksuların özelliklerini rakamlarla ifade edebilecek yeterli veri bulunmamaktadır.

4 Eylül 1988 tarihli ve 19919 sayılı Resmi Gazete'de yayınlanan Su Kirliliği Kontrol Yönetmeliği'ne göre tekstil sanayi atıksuları şu alt kategorilere ayrılmaktadır [12]. Bu alt kategorilere ait atıksuların alıcı ortam deşarj standartları Tablo 2.3'de verilmiştir.

1. Açık elyaf, iplik üretimi ve terbiye alt kategorisi

2. Dokunmuş kumaş terbiyesi ve benzerleri alt kategorisi
3. Pamuklu tekstil ve benzerleri alt kategorisi
4. Yün yıkama, terbiye, dokuma ve benzerleri alt kategorisi
5. Örgü kumaş terbiyesi, dokuma ve benzerleri alt kategorisi
6. Halı terbiyesi ve benzerleri alt kategorisi
7. Sentetik tekstil terbiyesi ve benzerleri alt kategorisi

Tekstil endüstrisinde kullanılan hammaddeler, son ürünler, su kullanımı ve atıksu özelliklerinin benzerlikleri göz önüne alınarak EPA (Environmental Protection Agency)'ya ait tekstil endüstrisi alt kategorileri ise şöyledir [13];

1. Yapağı yıkama alt kategorisi
2. Yünlü kumaş son işlemler alt kategorisi
3. Az su kullanılan işlemler alt kategorisi
4. Dokunmuş kumaş son işlemler alt kategorisi
5. Örgü kumaş son işlemler alt kategorisi
6. Halı üretimi son işlemler alt kategorisi
7. Stok ve elyaf, iplik, boyama son işlemler alt kategorisi

Halı üretimi dışında tüm yünlü kumaş işlemleri 1. ve 2. kategoriler; pamuk ve sentetik üretimi 3., 4., 5. ve 7. kategoriler; halı üretimi de 3. ve 6. kategoriler kapsamına girmektedir [14].

Tekstil endüstrisi atıksularının arıtılabilmesi için belirlenen en uygun arıtma teknolojileri alt kategoriler göz önüne alınarak yapılmışlardır [11].

Bu tezde incelenen Sakarya ili, Akyazı ilçesinde faaliyet gösteren Aydın Örme San. ve Tic. A.Ş. sentetik tekstil terbiye ve benzerlerini yapmaktadır. Arıtma tesisi, tesis çıkışındaki arıtılmış su kalitesinin 4 Eylül 1988 tarihli 19919 sayılı Resmi Gazete'de yayınlanan Su Kirliliği Kontrol Yönetmeliği Tablo 10.7'de (Tekstil Sanayi/Sentetik Tekstil Terbiyesi ve Benzerleri Tablosu'nda) verilen limit değerleri sağlayacak şekilde tasarlanmıştır ve çıkış suyu kalitesi de Su Kirliliği Kontrol

Yönetmeliği Sentetik Tekstil Terbiyesi ve Benzerleri alt kategorisi göz önüne alınarak değerlendirilmiştir.

Tablo 2.1 Tekstil endüstrisi alt kategorilerine göre atıksu kaynakları

| Alt kategoriler | |
|---------------------------------------|---|
| 1- Yapağı yıkama | Yıkama Durulama |
| 2- Yünlü kumaş son işlemler | Boyama Ağartma Karboniz ve Yıkama Dinkleme ve Yıkama |
| 3- Az su kullanılan işlemler | Haşılama |
| 4- Dokunmuş kumaş son işlemleri | Haşıl Sökme Pişirme-Yıkama Merserize-Yıkama Ağartma-Yıkama Boyama-Yıkama |
| 5- Örgülü kumaş son işlemleri | Yıkama Pişirme-Ağartma Boyama Basma Apre-İkmal |
| 6- Halı üretilimi son işlemleri | Boyama veya Baskı Kurutma Lateks kaplama |
| 7- Stok ve elyaf son işlemleri | Boyama Ağartma Merserizleme Yıkama |
| 8- Dokusuz yüzeyli kumaş üretimi | Yapıştırma |
| 9- Keçeleştirilmiş kumaş üretimi | Durulamalar |
| 10- Koza işleme ve doğal ipek üretimi | Pişirme İpek çekimi Serisin giderimi Ağartma Boyama Yıkama Avivaj Şarj |

Tablo 2.2 Alt kategorilerde konsantrasyon bazında atıksu karakterleri

| Alt Kategoriler | | | | | | |
|----------------------------|---------------|--------------------------|---------------------------|-----------------------------|-------------------------|---------------------------|
| Parametreler | Yapayı Yıkama | Yunlu KumAŞ Son İşlemler | Az Su Kullanılan İşlemler | Dokunmuş KumAŞ Son İşlemler | Örgü KumAŞ Son İşlemler | Hali Üretimi Son İşlemler |
| Debi [m ³ /gün] | 38-2800 | 190-16000 | 23-1100 | 42-29000 | 11-13000 | 76-6900 |
| BOİs [mg/lit] | 310-6700 | 66-750 | 37-2600 | 19-2200 | 60-1900 | 190-560 |
| KOİ [mg/lit] | 100-18000 | 280-2000 | 120-3000 | 200-5100 | 340-19000 | 280-2100 |
| TAM [mg/lit] | 120-13000 | 17-240 | 10-530 | 16-2400 | 18-2200 | 37-210 |
| Sulfür [µg/lit] | 500 | 1100-6000 | 1000 | 25-580 | 20-7100 | 10-450 |
| Yağ ve gres [mg/lit] | 80-5000 | Veri yetersiz | 80 | 6-1400 | 6-460 | 3-93 |
| Fenol [µg/lit] | Veri yetersiz | 90-160 | 80 | 10-600 | 1-1700 | 1-1100 |
| Krom [µg/lit] | 10-220 | 190-880 | 15-97 | 1-1200 | 10-600 | 4-300 |
| Renk [APHA] | 2200 | 1000-2000 | 10 | 20-10000 | 37-1500 | 65-1900 |
| | | | | | 3-620 | 45 |
| | | | | | 4-1600 | 4-10 |
| | | | | | 57-3000 | 35-140 |
| | | | | | 11-1500 | 190 |

Tablo 2.3 Su Kirliliği Kontrol Yönetmeliği alt kategorilerine ait atık su deşarj standartları

BÖLÜM 3. TEKSTİL ENDÜSTRİSİ ATIKSULARI KİRLİLİK ÖZELLİKLERİ

3.1 Tekstil Endüstrisi’nde Atıksu Kaynakları ve Kirlilik Özellikleri

Tekstil atıksuları yüksek hacimli, alkali özellikte, işlenen boyanın hakim renginde ve bileşimi büyük değişimler gösterebilen atıksular olarak tanımlanmaktadır [7]. Tekstil endüstrisi atıksularının yapısının çok değişken olmasına yol açan faktörler; işlenen hammadde, kullanılan kimyasal maddeler, gerçekleştirilen işlemler ve her işlem için uygulanan teknolojilerin çeşitliliği ve su kullanımındaki farklılıklardır.

Tekstil endüstrisinde temel kirletici parametreler, BO_İ₅, KOİ, AKM, yağ ve gres, toplam krom, fenol, sülfür, sıcaklık, pH, kükürtlü bileşikler, toplam organik karbon ve bulanıklıktır. Bunların dışında özellikle, kullanılan boya ve diğer kimyasal maddelere bağlı olarak hem organik nitelikli hem de ağır metal olarak çok sayıda mikrokirletici atıksular da bulunmaktadır [3].

Tablo 3.1 Tipik bir tekstil fabrikasının yıllık kirlilik yükü [20]

| Atık Kaynağı | KOİ (ton/yıl) | (%) |
|-------------------------------|---------------|------|
| Haşıl Sökme ve Yıkama | 164 | 86.6 |
| İndirgeyici Madde | 8 | 4.2 |
| Deterjan ve Islatıcı Maddeler | 7 | 3.7 |
| Son İşlemler | 5 | 2.6 |
| Organik Asitler | 3 | 1.6 |
| Boyalar ve Parlaticılar | 2.5 | 1.3 |

Pamuklu, yünlü ve sentetik üretim yapılan proseslerde, kimyasal madde ve bitim işlemlerinin farklı oluşu, atıksuların karakterinin de bir tekstil tesisinden diğerine çok değişmesine sebep olmaktadır [8].

Yünlü tekstil endüstrisi atıkları, yünün saflığına, kalitesine, boyarmaddenin çeşidine, deterjan türlerine ve makine tiplerine göre farklılık gösterir. Bu atıklar, yıkama-temizleme, yünün boyanması ve bitirme tesislerinden gelen atıksular olup genel özellikleri; organik asitler, H_2S , yüksek asidite, çeşitli organik maddeler, boyalar, aktif yıkama maddeleri, tuzlar, yüksek konsantrasyonda yağ ve BOİ içermeleri şeklinde özetlenebilir. Yünlü tekstil endüstrisindeki başlıca atıksu kaynakları; yapağı yıkama, dinkleme, karbonizasyon, ağartma ve boyama işlemleridir. Bu endüstriyi kirleticilik bakımından diğer tekstil gruplarından ayıran temel fark ise, yıkama işlemidir [5]. Başlıca atıksu kaynakları bazında önemli kirlilikler Tablo 3.2'de belirtilmiştir.

Tablo 3.2 Yünlü tekstil endüstrisi proseslerinden kaynaklanan atıksu karakteristikleri

| İşlem | Önemli Kirlilikler |
|---------|--|
| Islatma | Yüksek BOİ, yüksek yağ içeriği, yüksek alkalilik, kahverengi renk, 46-52 °C sıcaklık |
| Boyama | Asidik pH, yüksek renk, yüksek BOİ, yüksek zehirlilik |
| Yıkama | Yüksek BOİ, yüksek yağ içeriği, 43-66 °C sıcaklık |

Pamuklu tekstil atıksuları ise alkali özellikte, işlenen boyanın hakim renginde ve debisi yüksek atıksulardır. Endüstriye ait atıksulardaki en önemli kirlilik problemleri; organik madde içeriğinin ve pH'ının yüksek oluşu, deterjan ve sabun içeriğinin olması, yağ ve gres, sülfür, katı maddeler ve alkalinité içermesi olarak özetlenebilir. Başlıca atıksu kaynakları; haşlama ve haşıl sökme, yıkama, merserizasyon, ağartma, boyama ve apre işlemleridir. Atıksulardaki kirliliğin birincil kaynağı liflerde mevcut olan doğal safsızlıklar, ikincisi ise proseslerde kullanılan kimyasal maddelerdir. Başlıca atıksu kaynakları bazında önemli kirlilikler Tablo 3.3'de verilmiştir [5].

Tablo 3.3 Pamuklu tekstil endüstrisi proseslerinden kaynaklanan atıksu karakteristikleri [9]

| İşlem | Önemli Kirlilikler |
|-----------------|--|
| Haşıl sökme | Yüksek BOİ, yüksek toplam katı, nötr pH |
| Yıkama | Yüksek BOİ, yüksek alkali, yüksek toplam katı madde, yüksek sıcaklık |
| Ağartma | Yüksek BOİ, yüksek katı madde, alkali pH |
| Merserizasyon | Düşük katı madde, alkali pH, düşük katılar |
| Boyama ve Baskı | Yüksek BOİ, yüksek katılar, nötr-alkali pH |

Sentetik lif proseslerinde en önemli kirlilik, poliester ve sıcakta yumuşayabilen plastik liflerin boyanmasından kaynaklanmaktadır. En büyük kirleticiler koku, toksisite ve yüksek BOİ'dir [5]. Sentetik tekstil endüstrisindeki başlıca atıksu kaynakları ve atıksu karakteristikleri Tablo 3.4'de verilmiştir.

Tablo 3.4 Sentetik tekstil endüstrisi proseslerinden kaynaklanan atıksu özelliklerini[10]

| Lif | İşlem | Önemli Kirlilikler |
|-------------------|------------------------------|--|
| Suni ipekli kumaş | Islatma ve boyama | Yağ, boyama, sentetik deterjan, Antistatik yağlar |
| | Islatma ve ağartma | Sentetik deterjan, hidrojen peroksit |
| | Tuz banyosu | Sentetik deterjan, klor yada sülfat |
| Asetat | Islatma ve banyo | Boya, antistatik yağlar, sentetik deterjanlar, esterler |
| | Islatma ve ağartma | Hidrojen peroksit yada klor, sentetik deterjanlar |
| Naylon | Islatma | Antistatik yağlar, sabun, soda, esterler |
| | Boya | Boya, Na, Na ₂ , HCl |
| Plastik | Ağartma Boya | Perasetik asit, boyama, formik asit, nemli maddeler, aromatik aminler, sülfatlar |
| | Boyama Ağartma Islatma | Asit klor, sentetik deterjan, yağ, antistatik yağlar, klor yada hipoklorit, noniyonik sentetik deterjanlar |
| | Yüksek sıcaklık ve boyama | Boyama ve sıcak su |
| | Ağartma | NaNO ₂ , Asetik asit, Oksalik asit, Nitrik asit, Bisülfit, Klor |

Tekstil atıksularında bulunan kimyasallar Tablo 3.5'de verilmiştir.

Tablo 3.5 Tekstil atıksularında bulunan kimyasallar [52]

| Tanımlama | Örnekler | Fonksiyon |
|--|---|--|
| Tuzlar | Sodyum klorür Sodyum sülfat Magnezyum sülfat | Boyanın elyafa geçirilmesi Elyafın zeta potansiyelini nötralize etmek Geciktirici |
| Asitler (mineral) | Hidroklorik asit Sülfürk asit Fosforik asit Borik asit | pH kontrolü Nötralizasyon Reçine artıklarının temizlenmesi Arta kalan boyaların temizlenmesi |
| Asitler (organik) | Formik asit Asetik asit Oksalik asit Sitrik asit | pH kontrolü Reçine küründe katalizör |
| Alkaliler | Kostik Soda külü Trisodyum fosfat Sodyum bikarbonat Amonyak Sodyum metasilikat Potasyum ortosilikat Sodyum pirofosfat Boraks Disodyum fosfat | pH kontrolü Peroksitle kasarda aktivatör Reaktif boyalarla boyanan elyaflar için aktivatör Nötralizasyon Merserizasyon |
| Tampon çözeltiler | Monosodyum fosfat | pH kontrolü |
| Ayraçlar | Etildiamin tetraasetik asit | Kompleks sertlik sağlama Geciktirici Boyanın elyafa uygulanmasını düzenleme |
| Disperse olan ve yüzey aktif maddeler | Anyonik Kationik Non-iyonik | Dispers boyalar Yumuşatıcılar Boyanın elyafa uygulanmasını düzenleme |
| Oksidanlar | Peroksit Sodyum klorit Sodyum hipoklorit Perkarbonat Perborat Periyodat Permanganat Dikromat | Kasar Arta kalan boyaların çıkarılması |
| İndirgeyici | Sodyum hidrosülfit Bisülfit Tiyosülfat Tiyötre dioksit | Vat ve sülfür boyalarının çözündürülmesi Arta kalan boyanın giderilmesi |
| Taşıyıcılar | Fenil fenollerİ Klorlu benzenler | Absorbsiyonu arttırıcı |
| Ağır metaller | Bakır Krom Kobalt | Boyanın elyafa tutunmasını artırmak |
| Bükücü yağlar Boyar maddeler | Çeşitli | Bükme proseslerine ilave edilir Elyafi boyamak için |

3.2 Boyarmaddeler

Cisimlerin yüzeyinin ya dış tesirlerden korunması yada güzel bir görünüm sağlanması için renkli hale getirilmesinde kullanılan maddelere “BOYARMADDE” denir.

Tekstil endüstrisinde boyama işlemi kumaşa renk vermek için yapılır. Boyalı atıksuların karakterizasyonu, boyaların kimyasal yapısındaki farklılıklardan ve prosesin değişim gösternesinden dolayı oldukça zordur. Tablo 3.6'da faklı boyaların kullanıldığı ve farklı elyafların boyandığı boyahane atıksularının karakterizasyonuna ilişkin bazı değerler görülmektedir [18].

Tablo 3.6 Boyama atıksularının karakteristikleri

| Boya türü | Elyaf çeşidi | Renk ADMI* | BOİ, mg/lt | TOK, mg/lt | AKM, mg/lt | ÇKM, mg/lt | pH |
|-------------------------|--------------|------------|------------|------------|------------|------------|------|
| Asit | Poliamid | 4000 | 240 | 315 | 14 | 2028 | 5.1 |
| 1:2 Metal Kompleks | Poliamid | 370 | 570 | 400 | 5 | 3945 | 6.8 |
| Bazik | Akrilik | 5600 | 210 | 255 | 13 | 1469 | 4.5 |
| Direkt | Viskoz | 12500 | 15 | 140 | 26 | 2669 | 6.6 |
| Reaktif, kesikli | Pamuklu | 3890 | 0 | 150 | 32 | 12500 | 11.2 |
| Reaktif, sürekli | Pamuklu | 1390 | 102 | 230 | 9 | 691 | 9.1 |
| Vat | Pamuklu | 1910 | 294 | 265 | 41 | 3945 | 11.8 |
| Dispers, yüksek sic.'da | Polyester | 1245 | 198 | 360 | 76 | 1700 | 10.2 |

*Amerikan Boya İmalatçıları Enstitüsü renk birimi

Boyarmaddeler genellikle iki ana bileşenden oluşan küçük moleküllerdir: rengi veren kromofor ve boyayı ipliğe bağlayan fonksiyonel grup. Literatürde kimyasal yapısına göre veya uygulandığı iplığın tipine göre sınıflandırılmış yüzlerce çeşit boyacı mevcuttur. Boyanın iplik üzerine adsorbe olması tekstil ipliğine ve boyanın tipine bağlı olarak değişiklik göstermektedir. Adsorbsyonun derecesi zaman, sıcaklık, pH ve yardımcı kimyasallar gibi çeşitli faktörlerin de etkisi altındadır. Boyama prosesinde sıkça kullanılan yardımcı kimyasallar Tablo 3.7'da listelenmiştir [18]. Tablo 3.7, boyama prosesi çıkış sularında boyarmaddeler haricinde çok sayıda farklı bileşenlerin de bulunacağını göstermektedir. Tek bir boyama işlemi için farklı kimyasal sınıftaki boyarmaddelerin birlikte kullanılabilir olması çıkış suyu bileşimini daha da karmaşık hale getirmektedir. Boyama prosesi çıkış sularındaki

kimyasal yük, prosesin kimyasının yanı sıra boyama işleminin kesikli yada sürekli olmasına bağlı olarak da farklılıklar göstermektedir [7].

Tablo 3.7 Boyama prosesinde en sık kullanılan yardımcı kimyasallar

| Kimyasal Madde | Bileşim | Fonksiyon |
|---|-------------------------------------|--|
| Tuzlar | Sodyum klorür Sodyum sülfat | Elyafın zeta potansiyelini nötralize edici, yavaşlatıcı |
| Asitler | Asetik asit Sülfürik asit | pH kontrolü |
| Bazlar | Sodyum hidroksit Sodyum karbonat | pH kontrolü |
| Tamponlar | Fosfat | pH kontrolü |
| Kompleks yapıcılar | EDTA | Kompleks yapma, yavaşlatıcı |
| Dispers edici/düzgünleştirici ve yüzey aktif maddeler | Anyonik, katyonik ve nonionik | Boyaları dağıtma, boyaya uygulamasını düzene sokma |
| Okside edici maddeler | Hidrojen peroksit Sodyum nitrit | Boyaları çözünemez yapma |
| İndirgeyici maddeler | Sodyum hidrosülfit Sodyum sülfit | Boyaları çözünebilir yapma, reaksiyona girmemiş boyanın uzaklaştırılması |
| Taşıyıcılar | Fenil fenoller Klorlu benzenler | Adsorbsiyonun artırılması |

3.2.1 Boyarmaddelerin çözünürlüklerine göre sınıflandırılması

3.2.1.1 Suda çözünen boyarmaddeler

Boyarmadde molekülü en az bir tane tuz oluşturabilen grup taşıır. Boyarmaddenin sentezi sırasında kullanılan başlangıç maddeleri suda çözündürücü grup içermiyorsa, bu grubu boyarmadde molekülüne sonradan eklemek suretiyle de çözünürlük sağlanabilir. Ancak tercih edilen yöntem, boyarmadde sentezinde başlangıç maddelerinin iyonik grup içermesidir. Suda çözünebilen boyarmaddeler tuz teşkil edebilen grubun karakterine göre 3'e ayrılır.

Anyonik suda çözünen boyarmaddeler : Suda çözünen grup olarak en çok sülfonik ($-SO_3^-$), kısmen de karboksilik ($-COO^-$) asitlerin sodyum tuzlarını içerirler: ($-SO_3^-Na$ ve $-COONa$). Renk, anyonunun mezomerisinden ileri gelir. Asit ve direkt boyarmaddeler bu gruba dahildir.

Katyonik suda çözünen boyarmaddeler : Moleküldeki çözünürlüğü sağlayan grup olarak bir bazik grup (örneğin; -NH₂), asitlerle tuz teşkil etmiş halde bulunur. Asit olarak anorganik asitler (HCl) veya (COOH)₂ gibi organik asitler kullanılır.

Zwitter iyon karakterli boyarmaddeler : Bunların molekülünde hem asidik hem de bazik gruplar bulunur. Bunlar bir iç tuz oluştururlar. Boyama sırasında bazik veya naturel ortamda anyonik boyar madde gibi davranış gösterirler.

3.2.1.2 Suda çözünmeyen boyarmaddeler

Tekstilde ve diğer alanlarda kullanılan ve suda çözünmeyen boyar maddeleri çeşitli gruplara ayırmak mümkündür.

Substratta çözünen boyarmaddeler : Suda çok ince süspansiyonlar halinde dağıtılarak, özellikle sentetik elyaf üzerine uygulanan dispersiyon boyarmaddeleri bu sınıfa girer.

Organik çözücülerde çözünen boyarmaddeler : Bu sınıfı olan boyarmaddeler her çeşit organik çözücüde çözünürler. Solvent boyarmaddeleri de denilen bu boyarmaddeler spray veya lak halinde uygulanabilirler. Matbaa mürekkebi, vaks ve petrol ürünlerinin renklendirilmesinde kullanılırlar.

Geçici çözünürlüğü olan boyarmaddeler : Çeşitli indirgeme maddeleri ile suda çözünebilir hale getirildikten sonra elyafa uygulanabilirler. Daha sonra elyaf içinde iken yeniden yükseltgenerek suda çözünmez hale getirilirler. Küpe ve kükürt boyarmaddeleri bu prensibe göre uygulanır.

Polikondensasyon boyarmaddeleri : Son yıllarda geliştirilen ve elyaf üzerine uygulanırken veya uygulandıktan sonra birbiri ile veya başka moleküllerle kondanse olarak büyük moleküller oluşturan boyarmaddelerdir.

Elyaf içinde oluşturulan boyarmaddeler : İki ayrı bileşenden elyaf içinde kimyasal bir reaksiyonla oluşturulan boyarmaddeler bu sınıfa girer. Bunlar suda çözünmeyen

pigmentlerdir. Azoik boyarmaddeler ve ftalosiyaninler gibi çözünmeyen pigmentlerdir.

Pigmentler : Elyafa ve diğer substratlara karşı affinitesi olmayan, boyarmaddelerden farklı yapıda bileşiklerdir. Pigmentler süspansiyonları halinde kuruyan yağlar ve reçineler için de uygulanırlar [15].

3.2.2 Boyarmaddelerin boyama özelliklerine göre sınıflandırılması

Bu sınıflandırmada, boyama teknolojisindeki boyar maddenin hangi yöntemle elyafi boyadığına bakılır ve boyar maddelerin sınıflandırılması boyama özelliklerine göre yapılır. [10, 16]

Direkt boyarmaddeler : Bunlar genellikle sülfonik asitlerin, bazen de karboksilli asitlerin tuzlarıdır. Renkli kısmı oluşturan iyon, anyon şeklindedir. Yapı bakımından çoğu azoboyer maddeler grubuna girer ve $(Boya \cdot SO_3^- Na^+)$ genel formülüyle ifade edilirler. Selülozik elyafa doğrudan bağlanabilirler. Bunlara substantif boyarmaddeler de denir. Direkt boyarmaddelerin ucuz olmaları, boyama işlemlerinin basit oluşu ve boyama sırasında elyafın yıpranmaması gibi özelliklerinden dolayı tercih edilirler. Genellikle selülozik elyafın boyanmasında bazen de kağıt, deri, ipek ve naylon boyamada kullanılırlar. Boyama sırasında sıcaklık yüksek olduğu gibi, boyaya banyolarına sodyum klorit veya sülfat eklenir.

Bazik (katyonik) boyarmaddeler : Bunlar organik bazların genellikle hidroklorürleri şeklinde bulunurlar. Renkli kısımları katyon halinde olup $(Boya \cdot NH_3)^+ Cl^-$ genel formülüyle ifade edilirler. Pozitif yük taşıcısı olarak N ve S atomu içerirler. Bazik olarak etki etkilerinden sulu çözeltide bulunan boyarmadde katyonu, elyafın anyonik gruplarıyla elyaf/boyarmadde tuzunu oluştururlar. Bazik boyarmaddelerin en karakteristik özellikleri parlaklıkları ve renk şiddetleridir. Genellikle asetik asit ve tannik asit yardımı ile zayıf asidik ortamda 80-90 °C'de boyama yapılır. Günümüzde poliakrilonitril elyaf üzerinde ışığa dayanıklıkları iyi olduğundan "orlon" boyamasında geniş olarak kullanılır. Ayrıca bazik boyalarla

akrilik, modakrilik, modifiye naylon ve polyesterler gibi sentetik elyaflarda boyanmaktadır.

Asit boyarmaddeler : Moleküllerinde bir veya birden fazla sülfonil grubu (-SO₃H) veya karboksillik asit (-COOH) grubu içerirler. Renkli bileşen boyarmadde anyonudur ve anyonik sınıfa girerler. Asit boyarmaddeler 60-80 °C'de asit veya nötr pH'da uygulanırlar. Genellikle yün, ipek, naylon gibi katyonik modifiye akrilik elyafın bazen de deri, kağıt ve gıda maddelerinin boyamalarında kullanılır. Özellikle protein elyafının boyanmasında uygulanırlar.

Reaktif boyarmaddeler : Reaktif boyarmaddeler, diğer bütün boyarmaddelerden farklı olarak lif makromolekülleri ile reaksiyona girebilen ve liflere gerçek kovalent bağlarla bağlanabilen boyarmaddelerdir. Bu boyarmaddeler, selülozdaki hidroksil, yündeki amino ve hidroksil ve poliamidlerdeki amino grupları ile bağ yapabilen fonksiyonel gruplara sahiptir. Kimyasal yapılarında; elyafa bağlanan ve renk veren bir kromorf grubu, elyafın aktif grubu ile reaksiyona giren bir reaktif grup, reaktif ve kromofor gruplarını bağlayan bir köprü grup ve kromofor gruba tutunmuş suda çözünürlüğü artıran bir veya daha fazla sülfonyik asit grubu bulundururlar. % 90'ına yakınında vinilsülfon veya monoklorotriazinil grubu bulunur. Kovalent bağ oluşturduklarından elde edilen boyanın yıkamaya karşı dayanıklılığı yüksektir ve renkler çok parlaktır. Boyama soğukta bekletilmeyle yapıldığından enerji tasarrufu sağlanır. Reaktif boyarmaddelerin molekülleri çok düşük olduğundan elyaf içine difüzyon hızları büyktür dolayısıyla boyama kısa sürede, nötr pH değerlerinde ve zayıf asit banyolarında yapılır. Boya fiksasyonunun sağlanması için çok miktarda tuz kullanılır. Buna rağmen boyaya banyolarından önemli miktarda fiksasyon olmamış reaktif boyaya, tuz ve banyonun reaktif boyadan temizlenmesi için kullanılan anyonik deterjan deşarj edilir. Tipik olarak boyanın elyafa fiksasyonu % 60-90 arasında değişir [17]. Genellikle pamuk ve rayon gibi selülozik elyafların boyanmasında bazen de yün, ipek, naylon ve deri boyanmasında kullanılır.

Vat (Küpe) boyarmaddeler : Moleküllerinde en az iki oksijen atomu içeren renkli bileşikleridir. İri, ince ve çok ince toz halinde bulunabilirler. Donmaya karşı dayanıklı, kurumayan, çökmeyen, dispersiyon haline getirilmiş sıvılarda yaygın

olarak kullanılır. Bu boyarmaddeler karbonik grubu içerir ve suda çözünmezler. Bunlar sadece indirgeme ile suda çözünür hale getirilerek boyamada kullanılırlar. Daha sonra oksidasyonla yeniden çözünemez hale getirilirler. İndirgeme aracı olarak Na_2SO_4 , NaOH ve NaHSO_3 kullanılır. Oksidasyon için ise hava kullanılır. Daha çok selülozik, kısmen de protein elyafın boyanmasında kullanılır. Işığa, yıkamaya, sürtünmeye karşı dayanıklıdır [5].

Mordan boyarmaddeler : Bunlar asidik veya bazik fonksiyonel grupları içeren doğal ve sentetik bir çok boyarmaddeyi kapsar. Bitkisel ve hayvansal elyaf ile kararsız bileşikler oluştururlar. Bu nedenle hem elyaf hem de boyarmaddeye karşı aynı ilgiyi gösteren bir madde önce elyafa yerleştirilir, daha sonra elyaf ile boyarmadde suda çözünmeyen bir bileşik vermek üzere reaksiyona sokulur. Mordan olarak genellikle krom, bazen de Al, Sn, Fe, Cr tuzları kullanılır. Değişik şekillerde mordanlama gerçekleştirilebilir. Boyamadan önce mordanlama yapıldığında, krom bileşikleri katıldıkten sonra boyama gerçekleştirilir, daha sonra da kromu indirmek için potasyum hidrojen tertarat kullanılır. Boyama ve kromlama işlemi aynı anda ve aynı banyoda yapıldığında ise pH 6 civarına getirilip amonyum sülfat ve potasyum kromat eklenir. En çok kullanılan ve hızlı olan, yün boyandıktan sonra krom katılarak yapılan boyama işlemidir. Mordan boyarmaddeler ipek, naylon, selülozik elyaf ve esas olarak yün boyamada kullanılırlar.

Pigment boyarmaddeler : Boyarmaddelerin özel bir grubu olan pigment boyarmaddelerin tekstil elyafa karşı afinitesi yoktur. Bu nedenle reçine gibi bağlayıcı bir madde yardımıyla elyafa fikse edilirler. Bunların üstünlüğü elyafın kimyasal bileşimine bakımsızın basit bir teknikle her cins elyafa uygulanabilmeleridir.

Dispers boyarmaddeler : Dispers boyarmaddeler, amino ve hidroksil grupları içerirler. Küçük moleküllü bileşikler olmaları nedeniyle elyaf içine kolay nüfuz ederler. Bu nedenle poliesterlerin boyanmasında en çok dispers boyarmaddeler tercih edilir. Fakat suda çözünürlükleri çok düşük ve elyafa difüzyonu çok yavaştır. Bundan dolayı boyama uzun sürede gerçekleşir. Normal basınç altında çalışan ve maksimum 100°C ’de ısınan cihazlarda poliesterlerin ancak difüzyon hızı yüksek olan küçük

moleküllü açık ve orta şiddetteki dispers boyarmaddelerle boyanması mümkündür. Yaygın olarak sentetik elyaflarda, esas olarak polyesterlerde ve selüloz asetat rayon, naylon, akrilik elyaf gibi malzemelerin boyanmasında kullanılır.

Oksidasyon boyarmaddeleri : Bu gruba anilinyum hidroklorürün elyaf içinde yükseltgenmesiyle oluşturulan anilin siyahı girer. Pamuk ve poliamid elyafının boyanmasında, parlaklık şiddeti yüksek olduğu için tercih edilirler. Selülozik elyafın boyanmasına da yarayan bu boyarmaddenin haslığı çok yüksektir.

Kükürt boyarmaddeler : Bu grubun üyeleri kükürt içeren karmaşık yapılı organik bileşiklerdir. Sülfür boyalar nitro ve amino grupları içeren organik bileşiklerin sülfür veya sodyum sülfit ile yüksek sıcaklıkta reaksiyonu sonucu elde edilirler. Selülozik elyafın ve özellikle pamuğun renklendirilmesinde kullanılan bu boyarmaddelerin günümüzde kullanılan renk paleti içinde önemli bir yeri vardır [17]. "Colour Index"deki sınıflandırmaya göre üç sınıfa ayrırlırlar; suda çözünmeyen, lokyo ve suda çözünen kükürt boyarmaddeler. Suda çözünmeyen kükürt boyarmaddeler, sodyum sülfür veya sülfidratla kaynatılarak çözülürler. Fakat bu yol çok zahmetli olduğundan az kullanılır. Ticari önemi olan birkaç özel tip ve siyah renkler bu şekilde uygulanmaktadır. Sıvı formda bulunan lokyo-kükürt boyarmaddelerin çözülmesi üretimleri sırasında gerçekleştiğinden boyama işlemi için ayrıca bir çözme işlemine gerek yoktur. Renk kuvvetleri toz halindeki boyarmaddelere oranla daha zayıftır. Suda çözünen kükürt boyarmaddeler, tiyosülfür asitlerinin türevleri yada bunte tuzları (tiyosülfatester) formunda bulunurlar. Sıcak suyla çözünüp alkali ve indirgen madde katkısıyla elyafa afiniteli duruma getirilirler. Bu tip boyarmaddelerin elyafa fiksasyonu (% 60-70) düşüktür [15].

Azoik boyarmaddeler : Bunlar suda çözünmeyen pigmentlerdir. Azoik boyalar iki kimyasal reaktif bileşikten oluşurlar ve bunlar kumaşa iki ayrı kademe ile uygulanırlar. Bu iki bileşikin reaksiyonu elyafta renkli azo kromoforunu oluşturur. Boyama sırasında azoik boyalar elyafın içinde oluşurlar. Naftol boyarmaddeler olarak da bilinen azoik boyarmaddeler, selülozik elyafi, rayon, selüloz asetat, keten, jüt, kendir ve bazen de polyesterlerin boyanmasında kullanılırlar.

Metal kompleks boyarmaddeler : Bileşimlerinde azo ve anyonik gruplar bulundurduklarından ve protein ve poli-amid elyaflarda dayanıklı olduklarından asit boyalar olarak da sınıflandırılırlar. Anyonik gruplar metal boyalarına bağlı olarak değişir. Metal kompleks boyalar en çok kullanılan krom ve kobalt tuzlarıdır. 1:1 metal kompleks boyalar bir veya iki adet $-SO_3H$ grubu taşırlar ve kuvvetli asidik ortamda uygulanırlar. 1:2 metal kompleks boyalar ise iyonize grup taşımazlar ancak boyanın suda yeterli çözünürlüğünü sağlamak için $-SO_2CH_3$ veya $-SO_2NH_2$ gibi yüksek dereceden polar gruplar taşırlar. Bu tip boyalar zayıf asit ve nötr ortamlarda yün ve poliamid elyaflara uygulanırlar [17].

Tablo 3.8 Uygulamalarına göre boyalar sınıflaması [17]

| Boya Sınıfı | Karakteristikleri | Elyaf Tipi | Boya-Elyaf Tutunma Mekanizması |
|---|--|--|---|
| Asit | <ul style="list-style-type: none"> ➤ Anyonik ➤ Suda çözünürlüğü yüksek ➤ Yaşı hasıkları zayıf | <ul style="list-style-type: none"> ➤ Nylong ➤ Yün | ➤ İyonik bağ |
| Metal kompleks asit boyalar (Boya molekülleri krom ve kobalıyla kompleks halde bulunur) | <ul style="list-style-type: none"> ➤ Anyonik ➤ Suda çözünürlüğü yüksek ➤ Yaşı hasıkları iyi | <ul style="list-style-type: none"> ➤ Nylong ➤ Yün | ➤ İyonik bağ |
| Direkt | <ul style="list-style-type: none"> ➤ Anyonik ➤ Suda çözünürlüğü yüksek ➤ Yaşı hasıkları zayıf | <ul style="list-style-type: none"> ➤ Pamuk ➤ Viskon | ➤ İyonik bağ |
| Bazik veya katyonik | <ul style="list-style-type: none"> ➤ Katyonik ➤ Suda çözünürlüğü yüksek | <ul style="list-style-type: none"> ➤ Akrilik | ➤ İyonik bağ |
| Dispers | <ul style="list-style-type: none"> ➤ Koloidal dispersiyon ➤ Suda çok düşük çözünürlük ➤ Yaşı hasıkları iyi | <ul style="list-style-type: none"> ➤ Polyester ➤ Nylong ➤ Akrilik ➤ Selüloz asetat | <ul style="list-style-type: none"> ➤ Koloidal impregnasyon ➤ Adsorsiyon |
| Reaktif | <ul style="list-style-type: none"> ➤ Anyonik ➤ Suda çözünürlüğü yüksek ➤ Yaşı hasıkları iyi | <ul style="list-style-type: none"> ➤ Pamuk ➤ Viskon ➤ Yün | ➤ Kovalent bağ |
| Sülfür | <ul style="list-style-type: none"> ➤ İplikle reaksiyonundan sonra koloidal ➤ Suda çözünmez ➤ Yaşı hasıkları iyi | <ul style="list-style-type: none"> ➤ Pamuk ➤ Viskon | ➤ Boya, banyoda ipliğe çöktürülür |
| Vat | ➤ Sülfür boyası gibi | <ul style="list-style-type: none"> ➤ Pamuk ➤ Viskon | ➤ Boya, banyoda ipliğe çöktürülür |
| Azoik | ➤ Sülfür boyası gibi | <ul style="list-style-type: none"> ➤ Pamuk ➤ Viskon | ➤ Boya, banyoda ipliğe çöktürülür |
| Mordan veya krom | <ul style="list-style-type: none"> ➤ Anyonik ➤ Suda çözünür ➤ Yaşı hasıkları iyi | <ul style="list-style-type: none"> ➤ Yün | ➤ İplik-krom-boya kompleksi |

3.3 Renk

3.3.1 Rengin tanımı

Renk, organik bileşiğin yapısında yer alan ve “kromofor grup” adı verilen grupların özelliklerine bağlı olarak görünür ışığın belli dalga boyundaki kısımlarını yutması ve geri kalan dalga boylarını yansıması sonucunda göz tarafından görülen karakteristik şeklinde tanımlanabilir. Kromofor grupların görünür ışığı oluşturan dalga boylarında yuttuğu kısımlara “Adsorplanan renk”, yansıldığı kısımlara ise “Komplementer renk” adları verilir. Tablo 3.9’da absorplanan dalga boylarına göre yansıtan (komplementer) renkler verilmiştir [17].

Tablo 3.9 İşık absorpsiyonu ve renk

| Absorplanan Işık | Bileşiğin Rengi (Komplementer renk) |
|------------------|--|
| 400-440 nm | Menekşe |
| 440-480 nm | Mavi |
| 480-490 nm | Yeşil-Mavi |
| 490-500 nm | Mavi-Yeşil |
| 500-560 nm | Yeşil |
| 560-580 nm | Sarı-Yeşil |
| 580-595 nm | Sarı |
| 595-605 nm | Turuncu |
| 605-750 nm | Kırmızı |

3.3.2 Rengin önemi

Yüzeysel suların hemen hemen hepsi, özellikle de bataklık alanlarından beslenenler renklidir ve bu özelliklerinden dolayı renk giderimi yapılmaksızın evsel ve endüstriyel amaçlarla kullanımları uygun değildir. Ağaçlardan dökülen çeşitli yapraklar, kabuklar ve bitki artıkları, kütük gibi maddelerin su ile teması ve organik madde olarak çürümesi, renkli maddelerin oluşmasına neden olur. Renklenmeye en çok yeşil bitkiler neden olur. Fakat gerçekte suyun doğal rengini eksiz (-) yüklü koloidal partiküler oluşturur. Tanin, humik asit ve ligninin parçalanmasından ortaya çıkan humik asit tuzları en önemli renk verici yapılardır. Demirin (+3) humik asit ile oluşturduğu tuzu ve ürünleri olarak ortamda bulunması, büyük bir renk kaynağı oluşturur [8].

Askıda maddelerin neden olduğu renge “Görünen Renk” denir. Su analizlerinde, görünen ve gerçek renk arasındaki farkı belirlemek önemlidir. Suyun gerçek rengi, askıda katı maddeler tamamiyle giderildikten sonra ölçülmelidir. Renk yoğunluğu genellikle pH’ın yükselmesiyle artar [8].

Yüzey suları, renk derecesi yüksek atıksuların deşarjları ile de renklenebilir. Bu tür atıklar arasında en dikkate değer olanları tekstil endüstrilerinin boyalı üniteleri ve kağıt endüstrilerinin kağıt hamuru ünitelerinden gelen renkli atıksulardır. Boya endüstrisi atıksuları çok çeşitli olabilir. Kağıt hamuru ünitelerinden çıkanlar ise, içinde lignin türevleri ve çok miktarda çözünmüş madde içeren atıksulardır. Lignin türevleri çok renk verici ve biyolojik faaliyetlere dayanıklıdır. Bu maddelerin çoğu doğal su çevrimi içinde parçalanır [8].

Renk, tekstil atıksularının en karakteristik parametresi ve en azından estetik ölçüler açısından en önemli kirleticilerinden biridir. Koyu renkli sular, güneş ışınlarının geçişini engelleyerek fotosentez olayını yavaşlatıp; sudaki çözünmüş oksijen miktarını düşürdüğünden atıksuların renkli olarak deşarjı ekolojik dengenin bozulmasına ve canlıların ölümüne neden olur [34].

Bataklık ve orman alanlarından kaynaklanan, doğal maddeleri içeren sular ise zararlı yada toksik özellikler taşıyabilirler. Doğal yapıdaki renkli maddeler suya kahverengi-sarı bir renk verir. Bu tür suların estetik ve psikolojik nedenlerden dolayı içme suyu olarak kullanılması istenmez.

3.3.3 Renk ölçüm metotları

3.3.3.1 Görsel karşılaştırma metodu

Rengin, numunenin bilinen konsantrasyonlarındaki renk çözeltileri ile görsel olarak karşılaştırılması sonucu “mg/lt Pt-Birimii” şeklinde belirlendiği bir yöntemdir. Karşılaştırma, aynı zamanda kalibre edilmiş cam disklerle de yapılabilir. Platin-Kobalt metodu yada Hazen metodu standart bir metottur. 1 mg/lt platin ile üretilen renk, standart renk birimi olarak kabul edilir. Ölçümlerde 500 mg/lt platin için

K_2PtCl_6 'dan stok çözelti hazırlanır. Uygun tonu sağlamak için kobalt klorür eklenir. Stok çözeltinin rengi 500 birimdir. Çalışma standartları bu çözelti seyreltilerek hazırlanır. Standart çözeltiler, "Nessler Tüpleri" olarak adlandırılan camdan yapılmış renk karşılaştırma tüplerine konur. 0'dan 70'e kadar olan tonlarda çalışılır. Eğer numune 70 birimden fazla renge sahipse, ölçüm numunenin distile su ile seyreltilmesinden sonra yapılır ve sonuçlar seyrelme göz önüne alınarak hesaplanır.

Platin-Kobalt metodu, içilebilir suların ve doğal maddelerin oluşturduğu rengi içeren sularda yapılan renk ölçümlerinde kullanılır. Aşırı renkli ve endüstriyel atıksular için uygulanabilir değildir. Çok hafif bir bulanıklık bile, görülen rengin gerçek renkten çok büyük çıkmasına neden olur. Bu nedenle bulanıklık, gerçek rengin ölçümünden önce giderilmelidir. Suyun renk değeri pH'daki artışa da bağlı olduğundan, renk değerleri kaydedilirken, tespit edilen her renk için pH belirtilmelidir. Bu yöntemde çevre kirletici metaller kullanıldığı için özellikle Avrupa Birliği ülkelerinde Hazen yöntemi terk edilmektedir [8].

3.3.3.2 Spektrofotometrik metot

Bir çözeltinin rengi demek, bunun içinden geçen ışığın fiziksel veya çoğunlukla psikolojik rengi demektir. Bu metot da, bir maddenin göründüğü renginin komplementer rengindeki dalga boyu absorplanır ve spektrofotometre yardımıyla adsorplanma miktarı tespit edilip renklilik miktarı hassas bir şekilde belirlenir. Bu metot içme sularına, yüzeysel sulara, evsel ve endüstriyel atıksulara uygulanabilir [8].

3.3.3.3 Tristumulus filtre metodu

Filtre Fotometresi içindeki fotoelektrik pil ve özel ışık kaynağı ile donatılmış 3 adet tristumulus滤resi, genel kontrol amaçlarına uygun renk verileri oluşturmak için kullanılır. Çözelti vasıtasyyla her üç filtre için de tristumulus ışık iletkenliği oranı tespit edilir. İletkenlik değerleri daha sonra trikromatik sabitlere ve renk karakteristiği değerlerine dönüştürülür [8].

3.3.3.4 Renklilik sayısı metodu

1994 yılında yayınlanan uluslararası Avrupa Normu ISO 7887'ye göre doğal sular ve açık renkli endüstriyel atıksuların rengi optik bir cihaz yardımıyla ölçülmektedir. Burada söz konusu olan, numunenin $0.45 \mu\text{m}$ membran filtreden süzülmesinden sonra ölçülen "gerçek renk"tir.

Bir su numunesinin renginin şiddeti, en yüksek absorpsiyonlarının görüldüğü dalga boylarındaki ışık absorpsiyonları ile karakterize edilir ve ekstinksyonun bir spektrofotometre yardımıyla ölçülmesiyle de kantitatif olarak belirlenir. Genel olarak sarı-kahverengi renge çalan suların çoğu ve evsel atıksu arıtma tesislerinin çıkış suları $\lambda = 436 \text{ nm}$ boyunda ölçülürler. Endüstriyel atıksu arıtma tesislerinin çıkış suları kesin ve belirli ekstinksyon maksimumları göstermezler. Bu tip suların renklerini belirleyebilmek için belirli dalga boylarında ölçümler yapılır. Endüstriyel atıksuların rengini yukarıda verilen uluslararası norma göre belirleyebilmek için görünür ışık spektrumu içinde yer alan üç dalga boyu seçilmiştir.

$$\lambda (1) = 436 \text{ nm}$$

$$\lambda (2) = 525 \text{ nm}$$

$$\lambda (3) = 620 \text{ nm}$$

$\lambda = 436 \text{ nm}$ 'de ölçüm zorunludur. $\lambda (2)$ ve $\lambda (3)$ dalga boylarında ise belirlenen değerlerde çok az sapmalar olabilir. Karakterizasyonun daha iyi olması için ekstinksyon maksimumuna yakın değerlerde de ölçüm yapılması faydalı olabilir.

Ölçümden önce çözünmemiş maddelerin girişimini önlemek için su numunesi filtre edilmelidir. Fakat demir ve mangan bileşikleri de filtre tarafından tutunabilir veya bu esnada renkli bir oksidasyon basamağına yükseltgenebilirler. Çok ince kolloidlerin var olması durumunda berrak bir süzüntü elde edilemeyebilir. Bu durumda sonuçlar verilirken kolloid partiküllerin varlığından da bahsedilmelidir [8].

BÖLÜM 4. TEKSTİL ENDÜSTRİSİ ATIKSULARININ ARITIMI

4.1 Tekstil Atıksularını Arıtma Yöntemleri

Tekstil endüstrisi atıksularındaki kirleticiler; sıcaklık, organik, inorganik maddeler ve ağır metal faktörlerini içerir [19]. Tekstil endüstrisi atıksularındaki bu kirletici parametrelerin çok çeşitli olmasından dolayı bu endüstriye ait atıksuların arıtılmasında farklı arıtma yöntemleri uygulanabilir. Başlangıçta kullanılan büyük miktarlardaki suyun sadece az bir kısmının üzerinde yer olması ve sonuçta üzerinde kullanılmayan suyun büyük hacimlerde çıktı olarak oluşması, en uygun arıtma tipinin belirlenmesini bir zorunluluk haline getirmiştir [1, 2].

Tekstil endüstrisi arıtma uygulamaları 3 aşamada ele alınabilir. Bunlar; ilk arıtma, fiziksel-kimyasal arıtma ve biyolojik arıtma (son arıtma) olarak sıralanabilir. Yeterli gelmeyen durumlarda ileri arıtma da uygulanabilir [15].

4.1.1 Ön arıtma

Ön arıtma tesis için zararlı olabilecek veya operasyonu etkileyebilecek maddelerin uzaklaştırılmasını kapsar. Bu ünite, suyun arıtım için uygun hale getirildiği bölümdür. Ön arıtma atık sularda askıda madde giderimi ve pH ayarını kapsar. Ham suyun karakteristiğine göre ön arıtma için bazı uygulamalarda kimyasal dozajlama ve dezenfeksiyon proseslerinin uygulanabileceği gibi sadece ızgaradan geçirme, kum tutucu veya filtrasyon gibi fiziksel ön arıtma da yeterli olabilmektedir. Proje debisinden farklı akımlar için atık suyun günlük salınımlarının dengelenmesi gereklidir. Bunun için dengeleme havuzundan faydalanjılır. Dengeleme ünitesi ile tesise giren atıksuyun aşağı yukarı aynı karakterde olması da sağlanmış olur. Sulu proseslerle çalışan hemen hemen bütün alt kategorilerden çıkan atık sular için

ızgaradan geçirme işlemi uygulanır. Kum tutma ve çökeltme işlemleri de uygulanan fiziksel giderimler dendir [15].

4.1.2 Fiziksel-kimyasal arıtma

İki ayrı şekilde ele alınabilir. Birincisi krom indirgeme, sülfür oksidasyonu gibi ayrılmış akımlara uygulanan arıtma yöntemleridir. Diğer ise toplam atık sulara uygulanan kimyasal çöktürme veya yüzdürme gibi organik ve zehirli atık yüklerinin kontrolüne yönelik yapılan arıtma işlemleridir.

Kimyasal arıtma arıtılacak atık suya kimyasal maddeler ilave edilerek, yumakların oluşturulması ve kirletici maddeleri de yapısında toplayan flokların çöktürme, filtrasyon veya yüzdürme proseslerinden biri veya bir kaçının kullanılması sureti ile sudan uzaklaştırılması prensibine dayanır. Kullanılacak yumaklaştıracının tipi, dozajı ve optimum pH aralığı laboratuarda yapılan Jar-Test çalışması ile belirlenir.

Kimyasal arıtma, biyolojik arıtmayı tamamlayıcı rol oynar. Organik maddeleri, zehirli maddeleri yada her ikisini de denelemek fazla zehirliliği yada fazla organikleri biyolojik arıtmanın büyülüğünün optimizasyonu için gidermek, ayırsabilen ve ayısamayan organikler, süspansiyon halindeki katı maddeler cinsinden çıkış suyu kalitesini iyileştirmek ve en çokta rengi gidermek üzere biyolojik aritmadan önce veya sonra uygulanabilir [21].

4.1.3 Biyolojik arıtma

BOİ giderimi için biyolojik arıtma en uygun arıtma teknolojisidir. Biyolojik arıtabilirlik, genellikle tekstil atık sularının BOİ ve KOİ değerlerinin biyolojik ayırtma oranlarıyla değerlendirilir. Askıda çoğalan aktif çamur biyolojik arıtma sistemleri, günümüzde en yaygın kullanım alanına sahip arıtma sistemleridir; aktif çamur sistemlerinin modellenmesi aşamasında, atık suyun organik madde içeriği ile niteliğine göre karakterizasyonunun yapılmasına gereksinim duyulmaktadır. Ancak bu arıtma teknolojisi atıksularının karakterinden dolayı yeterli olamamaktadır. Özellikle

tekstil sanayinde kullanılan boyarmaddeler, kimyasal yapılarından dolayı biyolojik arıtmadan herhangi bir değişikliğe uğramadan geçerler.

Yüzeyde çoğalma tipindeki biyolojik arıtma proseslerinden damlatmalı filtreler ile döner diskler de, tekstil atıksularının arıtımında yaygın kazanmaktadır; bu sistemlerin alan ve enerji gereksinimlerinin aktif çamur sistemine oranla düşük olması, önemli bir avantaj olarak nitelendirilmektedir.

Biyolojik arıtma için yeterli azot ve fosforun atık suda bulunmaması durumunda, diamonyum fosfat ve üre gibi ucuz kimyasal maddelerin ilavesi ile bu eksiklikler giderilebilir. Atıksu alkali karakterde ise, fosforik asit ilave edilebilmektedir [15].

4.1.4 İleri arıtma

Bazı hallerde biyolojik arıtma sonrasında daha ileri arıtma yapmak gerekmektedir. Biyolojik olarak ayısamayan inert KOİ ve en önemlisi renk giderimi için bu sistem uygulanmaktadır. Kimyasal çöktürme, ozonlama, aktif karbon adsorbsiyonu ve membran prosesler bu gruba dahildir [21].

4.1.5 Çamur arıtımı

Oluşan çamur yoğunlaştırıldıktan sonra filtre pres veya belt filtre preslerle susuzlaştırılabilir[15].

Tablo 4.1 Arıtma sistemlerindeki proseslerin kirletici giderme verimleri [21]

| Arıtma Prosesi | BOİ _s | KOİ | TAM | Yağ-Gres | Renk |
|---------------------------------------|------------------|-------|-------|----------|-------|
| Ön Arıtma | | | | | |
| Izgaradan Geçirme | 0-5 | - | 5-20 | - | - |
| Dengeleme | 0-20 | - | - | - | - |
| Nötralizasyon | - | - | - | - | - |
| Kimyasal Pihtilaştırma | 40-70 | 40-70 | 30-90 | 90-97 | 0-70 |
| Flotasyon | 30-50 | 20-70 | 50-60 | 90-98 | - |
| Biyolojik Arıtma | | | | | |
| Konvansiyonel Aktif Çamur ve Çöktürme | 70-95 | 50-70 | 85-95 | 0-15 | - |
| Uzatmalı Havalandırma ve Çöktürme | 70-94 | 50-70 | 85-95 | 0-15 | - |
| Havalandırmalı Lagün ve Çöktürme | 60-90 | 45-60 | 50-80 | 0-10 | - |
| Aerobik Lagün | 50-80 | 35-60 | 50-80 | 0-10 | - |
| Damlatmalı Filtre | 40-60 | 20-30 | - | - | - |
| Üçüncü Kademe Arıtma | | | | | |
| Kimyasal Pihtilaştırma | 40-70 | 40-70 | 30-90 | 90-97 | 0-70 |
| Karışık Ortamlı Filtrasyon | 25-40 | 25-40 | 80 | - | - |
| Karbon Adsorbsiyonu | 25-40 | 25-60 | 25-40 | - | 80-90 |
| Klorlama | 0-5 | 0-5 | - | 0-5 | 0-5 |
| Ozonlama | - | 30-40 | 50-70 | - | 70-80 |
| İleri Arıtma | | | | | |
| Sprey Sulama | 90-95 | 80-90 | 95-98 | - | - |
| Evaporasyon | 98-99 | 95-98 | 95-99 | - | - |
| Ters Osmoz | 95-99 | 90-95 | 95-58 | - | - |

Giderme verimleri kimyasal madde ve kullanılan dozaj ile değişir.

4.2 Tekstil Atıksularından Renk Gidermede Kullanılan Yöntemler

Tekstil endüstrisi atıksularının ele alınması gereken en önemli kirlilik parametresi renktir. Bu nedenle renge neden olan boyar maddelerin moleküller özellikleri ile çevresel açıdan taşıdıkları önem nedeniyle arıtılabilirliklerinin araştırılması ve arıtma seçeneklerinin ortaya konulması büyük önem taşır. Büyük bir kısmı biyolojik olarak bozunmayan ve kimyasal maddelerle kolay reaksiyon vermeyen boyarmadde molekülleri bu özelliklerinden dolayı diğer organik maddelere nazaran daha dikkatle ele alınmalıdır [8]. Kullanılan boyanın türüne göre boyama suyuna geçen boyanın yüzdesi değişim aralığı Tablo 4.2'de belirtilmiştir [22].

Ülkemizde Su Kirliliği Kontrol Yönetmeliği’nde, deşarj standartlarında renk ile ilgili parametre olmamasından dolayı, bu atıksuların arıtımında daha çok KOİ, BOİ ve AKM giderimi amaçlanmaktadır. Buna karşın ABD ve Avrupa Birliği ülkelerinde renk ile ilgili kesin deşarj sınırlamaları getirilmesinden dolayı son yıllarda tekstil atıksularının arıtılmasında kullanılan bütün arıtma teknolojileri renk giderimi üzerinde yoğunlaşmıştır.

Tablo 4.2 Kullanılan boyalı türne göre boyama suyuna geçen boyalı yüzdeli değişim aralığı

| Kullanılan Boya Türü | Suya Geçen Kısım % |
|----------------------|--------------------|
| Direkt | 5-30 |
| Vat | 5-20 |
| Kükürt | 30-40 |
| Reaktif | 5-50 |
| Dispers | 8-20 |
| Pigment | 1 |
| Asit | 7-20 |
| Bazik | 2-3 |

Geçmişte ve günümüzde tekstil atıksularından renk giderimi üzerine yapılmış pek çok çalışma bulunmaktadır.

Stahr ve arkadaşları [23]; kükürt, asit ve vat boyarmaddeler üzerinde yaptıkları kimyasal çöktürme denemelerinde, 100-500 mg/l aralığındaki alum dozlarında etkin bir renk giderimi gözlemlediler. Renk giderimi, 10 mg/l dozajındaki katyonik polimer ilavesiyle artmaktadır.

Grau [24]; biyolojik arıtmadaki kısmi renk gideriminin, boyaların aktif çamura adsorplanmasıyla olduğunu saptamış ayrıca koagülasyon ve flokulasyonla % 80-90 renk giderimi sağlayabileceğini belirlemiştir.

Ganjidoust ve arkadaşları [25]; ele aldıkları iki tekstil boyarmaddesinin rengini gidermek için kullandıkları çeşitli minerallerle yüksek renk giderme oranları tespit etmişlerdir. Yaptıkları çalışmalarda pH'ın 5'den yüksek ve sıcaklığında yüksek olmasının adsorpsiyon etkinliğini ters yönde etkilediğini saptamışlardır. Yine boyarmaddelerle yaptıkları denemelerde, iki asidik ve bazik boyarmaddenin rengini gideren misir koçanının yüksek bir adsorpsiyon potansiyeli olduğunu belirlemiştir.

Mehrotra ve arkadaşları [26]; tekstil boyama atıksularındaki rengi gidermek için koagülasyonu denemişler, $MgCO_3$, 1000 mg/lit dozda ve pH 10'da sülfür boyalar için % 90 verim sağlamışlardır. Fakat yaptıkları çalışmalarda, $FeSO_4$, vat boyalar için oldukça yüksek dozda kullanıldığında (14000 mg/lit) rengin giderilemediğini görmüşlerdir.

Panswad ve Wongchaisuwan [27]; reaktif kırmızı boyalı atıksularındaki rengi gidermek için magnezyum karbonat ($3MgCO_3.Mg(OH)_2.3H_2O$) kullanmayı denemişler ve yaptıkları çalışmalarda, magnezyum karbonatı, kireç ile birlikte uygulayarak % 90'ın üzerinde renk giderimi elde etmişlerdir.

Ülkemizde halen bir deşarj limiti olmayan ancak dünyanın gelişmiş pek çok ülkesinde denetlenen bir parametre olan rengin giderilmesi ile ilgili değişik arıtma yöntemleri uygulanmaktadır ve araştırmalar günümüzde de sürdürmektedir. Bunlara ek olarak zeolit, dolomit, perlit, yilantaşı, serpentinit ve kaolin, odun kömürü renk gideriminde kullanılabilen doğal bileşiklerdir. Bu bileşiklerin karışımı da renk gideriminde verim sağlar.

4.2.1 Kimyasal yöntemler

Tekstil atıksularının kimyasal yöntemlerle arıtılması uzun yillardan beri en çok rağbet gören yöntem olmuştur. Bunun en büyük nedeni şüphesiz atıksu kalitesinde meydana gelen değişikliklerin kullanılan kimyasalla ve uygulanan dozda yapılan değişikliklerle kolayca tolere edilebilir olmasıdır [28]. En yaygın olarak uygulanan kimyasal yöntemler; oksidasyon, kimyasal floklaştırma ve çöktürme, cucurbituril ile arıtımındır.

4.2.1.1 Oksidasyon

Kimyasal oksidasyonun amacı; içme ve atıksularda bulunması istenmeyen Mn^{+2} , Fe^{+2} , S^{-2} , SO_3^{-2} gibi maddeleri, fenoller, humik asitler, toksit maddeler, koku, tat ve renk meydana getiren maddeler, bakteri ve algler gibi organik maddeleri aksi tesiri olmayan türlere dönüşturmektir. Kimyasal oksidasyon sonucu, boyalı molekülündeki

aromatik halka kırılarak atıksudaki boyarmadde giderilir. Oksitleme proseslerinde genellikle ozon, klor veya hipokloritler, hidrojen peroksit gibi kimyasal maddeler ile bunların kombinasyonları kullanılır. Sıcaklık, pH, reaktanlar, ürün konsantrasyonları, kataliz varlığı gibi değişkenler oksidasyonun derecesini etkileyen temel faktörlerdir. Kimyasal oksidasyon uygulamaları; oksitleme ürünlerinin zararlı olmaması, arıtım veriminin yüksek olması ve uygun sürede gerçekleşmesi, oksitleyici maddenin ekonomik olması nedeniyle yaygın olarak kullanılır.

4.2.1.1.1 Ozon ile renk giderimi

Oksijenin 3 atomlualla tropu olan ozon güçlü bir oksitleyici olup organik maddelerle çok güçlü bir şekilde reaksiyona girer. İki tane dar yerleştirilmiş elektrot arasına yüksek voltaj uygulandığı zaman ozon, saf oksijenden veya havadan üretilebilir. Fakat bunun maliyeti yüksektir.

Ozon uygulamaları 70'li yılların başında başlamış ve ozonlama teknolojisi ile ilgili ilk endüstriyel çalışma Pasteur Enstitüsü'nde Dr. Loir ve Dr. Fernbach tarafından 1998'de gerçekleştirılmıştır [7].

Ozonlama ile dikkate değer boyutlarda renk giderimi sağlanabilmektedir. Ozonlama sonucu elde edilen renk giderimi boyanın cinsine göre farklılık göstermektedir. Strickland ve Perkins tarafından yapılan çalışmada 30 dakikalık bir zaman süresince ozonlanmanın azoik, dispers/sülfür ve reaktif boyalar içeren atıksularda başarılı bir renk giderimi sağlanırken, vat boyaları içeren atıksu için aynı başarıyı gösterememiş ve renk giderimi % 50 ile sınırlı kalmıştır [29].

Yüksek kararsızlığa bağlı olarak oldukça iyi bir yükseltgen olan ozon aynı zamanda tekstil yaş proseslerinden kaynaklanan atıksularda bulunan yüzey aktif maddeler ve taşıyıcılar gibi diğer kirleticilerin giderilmesine de yardımcı olmaktadır. Ozonla oksidasyon, klorlu hidrokarbonların, fenollerin, pestisidlerin ve aromatik hidrokarbonların parçalanmasında da oldukça etkilidir. Boya içeren atıksulara uygulanan dozaj, toplam renge bağlıdır ve giderilecek KOİ bir kalıntı yada çamur oluşumuna veya toksik ara ürünlerin oluşumuna neden olmaz. Diğer önemli bir

avantaj ise ozonun gaz durumunda uygulanabilir olması ve dolayısıyla diğer bazı yöntemlerin aksine atık çamur oluşmamasıdır. Yarı ömrünün kısa oluşu (tipik olarak 20 dakika) ozonlamanın en büyük dezavantajıdır. Alkali şartlarda ozonun bozunması hız kazandığı için atıksuyun pH'sı dikkatle izlenmelidir. Ozonlama yönteminin diğer bir dezavantajı kısa yarı ömrüne bağlı olarak ozonlamanın sürekli olması gerekliliği ve yüksek maliyettir [30].

4.2.1.1.2 Fenton oksidasyonu

Hidrojen peroksit normal şartlar altında yetersiz olmasına karşın, asidik ortamda demir (II) ile Fenton reaktifini (H_2O_2 -Fe(II)) oluşturur. Fenton ayıracı biyolojik arıtmayı inhibe edici yada toksik atıksuların oksidasyonu için çok uygundur. Fenton ayıracı ile yapılan arıtım ön oksidasyon ve koagülasyon olmak üzere iki adımda gerçekleşir.

Hidrojen peroksit ve demir iyonları asidik ortamlarda çok kararlıdır. Ancak organik madde ve demir (II) iyonları bulunan kuvvetli asit bir ortama hidrojen peroksit ilave edildiğinde kompleks bir redoks reaksiyonu meydana gelir. Reaksiyonlar sonunda oluşan hidroksil radikaller doymamış boyalı moleküller gibi organiklerle reaksiyona girmekte böylece kromofor veya boyalı molekülünün kromojeni zarar görerek renk kaybolmaktadır. Oluşan ara ürünler ise, demir iyonlarına tutunarak çökelirler [15]. Fenton ayıracı ile arıtma bu açıdan H_2O_2 kullanılan yöntemlere göre daha avantajlı konumdadır. KOI, renk ve toksisite giderimi gibi avantajları yanında prosesin bazı dezavantajlarında mevcuttur: Proses floklaşma işlemini de içерdiği için atıksudaki kirleticiler çamura transfer olurlar ve çamur problemi ortaya çıkar [30]. En etkili renk giderimi, $pH < 3.5$ değerinde 30-60 dakikalık reaksiyon süresinde ve yüksek sıcaklıkta ($50^{\circ}C$ 'de) gerçekleşmektedir [31]. Fenton reaktifi hem çözünür hem de çözünmeyen boyarmaddelerin rengini gidermede etkindir [47]. Fenton reaktifinin en önemli dezavantajı işletme maliyetidir.

4.2.1.1.3 Klor ve hipoklorit oksidasyonu

Renkli atıksuların kimyasal oksidasyonu klor gazı ve sodyum hipoklorit (NaOCl) bileşikleriyle de mümkündür. Bu metotta, Cl^+ ile boyalar molekülünün amino grubuna etki eder ve azo bağının kırılmasını sağlar. Klor konsantrasyonundaki artışla birlikte renk giderimi de artar. Sodyum hipoklorit ile renk giderimi asit ve direkt boyalar için tatmin edici sonuçlar vermektedir. Reaktif boyaların arıtımı için ise daha uzun zamana ihtiyaç vardır. Metal-kompleks boyalar çözeltileri arıtımından sonra kısmen renk kalırken dispers boyalar çözeltilerinde NaOCl ile renk giderimi gerçekleşmez [32]. Gerekli olan klor dozajı klor gazına eşdeğer olarak 500-1000 mg/l'tır [33].

Renk giderimi için klor gazı kullanımı, sonrasında biyolojik arıtma prosesine giden atıksudaki KOİ yükünü ve toksiteyi önemli ölçüde düşürür. Rengin tamamen giderilmesi için NaOCl kullanımında istenmeyen yan reaksiyonlar oluşabilmektedir. Bu reaksiyonlar sonucu kanserojen klorlu organik bileşikler açığa çıkmaktadır [34]. Bu durumda ya ozonlama yada klorlama sonrası klor giderme yöntemleri uygulanmalıdır. Klor giderme işlemi artık klor 0.2-1 mg/l'ten az olduğunda uygulanır. Klor gidermede;

- Aktif karbon filtrelerinden geçirme
- Havalandırma
- Kimyasal yöntemler (SO_2 , NaHSO_3 , Na_2SO_3 , $\text{Na}_2\text{S}_2\text{O}_3$) kullanılır.

Son yıllarda alıcı ortamlardaki olumsuz etkilerinden dolayı boyalar madde giderimi için klor kullanımı azalmıştır.

4.2.1.2 Elektrokimyasal yöntem

Bu yöntem 1970'lerde geliştirilen bir yöntemdir. Boya giderimin de etkili bir şekilde kullanılabilirliği açısından yöntem bazı önemli avantajlara sahiptir. Kimyasal madde tüketimi çok azdır veya yoktur ve çamur oluşumu söz konusu değildir. Oldukça etkili ve ekonomik bir boyalar giderimi sağlar, renk giderimin de ve dirençli kirleticilerin parçalanmasında yüksek verim gösterir.

Sistem genel olarak alüminyum yada demir bileşiklerinin floklayıcı bileşiklerini oluşturmada bir demir yada alüminyum elektrot kullanılması temeline dayanır. Kullanılan demir elektrotuna akım verildiği zaman elektrot çözünmeyen demir hidroksil üretir. Atıksu akımı bu sistemden geçirildiği zaman boyalı maddeleri yumaklaşır ve çökelir. Sistemin verimi kullanılan boyalı tipine, elektrik akımına, elektrot tipine, sıcaklığa, pH değerine ve reaksiyon süresine bağlı olarak değişir.

Son yıllarda yapılan çalışmalar elektro-oksidasyon için ince tabaka halinde soy metallerle (platin, rutenum,...) kaplanmış titanyum elektrotlarının kullanımı üzerinde yoğunlaşmıştır. Tekstil boyarmaddesi içeren atıksuların elektro kimyasal olarak arıtıldığı bir çalışmada titanyum/platin anodu kullanılmış ve 18 dakikalık bir aktif arıtım süresinden sonra KOİ, BOİ ve renkteki azalmanın % 80'leri aşığı belirlenmiştir [35].

Yöntemin en büyük dezavantajı kloroorganik bileşikler gibi tehlikeli bileşiklerin oluşma olasılığıdır. Yüksek akım hızlarının renk gideriminde doğrudan bir azalmaya neden olması diğer bir dezavantajdır. Kullanılan elektrik maliyeti diğer yöntemlerdeki kimyasal madde giderleriyle kıyaslanabilir niteliktedir [7].

4.2.1.3 Fotokimyasal yöntem

Bu yöntem boyalı moleküllerini, hidrojen peroksit (H_2O_2) varlığında UV radyasyonu ile CO_2 ve H_2O 'a dönüştürür. Parçalanma yüksek konsantrasyonlardaki hidroksil (OH^-) radikallerinin oluşmasıyla meydana gelir. Yani UV ışığı hidrojen peroksidi aktive ederek hidroksil radikaline parçalanmasını sağlar. Böylece organik maddenin kimyasal oksidasyonu gerçekleşir [7].

Boyarmaddenin giderim hızı, UV radyasyonunun şiddetine, pH'a, boyarmaddenin yapısına ve boyalı banyosunun kompozisyonuna bağlıdır [30]. Genellikle pH 7 olduğunda, UV radyasyon şiddeti yüksek olduğunda, farklı boyalı boyalı sınıfları için farklı değerler alan optimum miktarda hidrojen peroksit uygulandığında ve boyalı banyosu, yükseltgenme potansiyeli peroksitten büyük olan oksitleyici maddeler içermediginde etkili bir renk giderimi söz konusudur [32]. Boyalı içeren atıksuların fotokimyasal

yöntemlerle arıtilmasının en önemli avantajı atık çamur oluşmaması ve kötü kokulara neden olan organiklerin önemli derecede azaltılmasıdır.

4.2.1.4 Koagülasyon-flokülyasyon

Bu proseslerin amacı, kolloidlerin çöktürülerek sudan uzaklaştırılmasıdır. Atıksu arıtımında, kolloidal maddelerle askı halindeki, çok küçük taneciklerin çökelmesini kolaylaştırmak için suya ilave edilen kimyasal maddelere koagülant denilmektedir. Koagülant prosesi ise koagülantların atıksuya ilave edilişini takiben hızlı bir şekilde atıksuya karıştırılmaları ve atıksuyun bünyesindeki kolloidal ve askıda katı maddelerle birleşerek flok oluşturmaya hazır hale gelmesi işlemidir. Flokülyasyon prosesi (yumaklaştırma) atıksuyun yavaş ve uygun şekilde bir süre karıştırılarak küçük tane ve pihtıların büyümesi, birbiriyle birleşmesi, yumaklaşması ve böylece kolayca çökebilecek flokların (yumaklar) meydana gelmesi işlemidir. Bu yöntem suya kimyasal madde ilavesi ile suda bulunan askıda ve çözünmüş maddelerin oluşturduğu fiziksel etkenlerle sudan uzaklaştırılmasını amaçlar. En çok kullanılan kimyasallar arasında, demir ve alüminyum tuzları ($\text{Al}_2(\text{SO}_4)_3$, FeCl_3 , FeSO_4) ve kireç sayılabilir. Koagülasyon-flokülyasyon işlemi esas olarak, sudaki koloit haldeki maddelerin kimyasal madde ilavesiyle birbirleriyle birleşebilir yapıya dönüştürülmeleri ve yumaklaşmaya başlangıç oluşturulmaları işlemidir. Yumaklaştırma işlemi, pihtlaşmış tanelerin birleştirilerek, sudan çökelme ile ayrılabilir büyülüklük ve yapıda yumaklar haline getirilmesidir. Yumaklaşma, taneciklerin brownian hareketi veya yavaş karıştırılması ile sağlanır.

Tünay ve arkadaşları tarafından yapılan çalışmada asit boyalı bir atıksuda kimyasal çöktürme, kimyasal oksidasyon ve adsorpsiyon yöntemleri denenmiş ve yöntemler renk giderim verimlilikleri açısından incelenmiştir. Çalışmalarında, asit boyama atıksularında 1000 mg/l alum dozunda % 55, denenen diğer koagülantlarda (FeCl_3 , FeSO_4) % 15-22 arasında renk giderimi elde etmişlerdir. “ $\text{FeSO}_4 + \text{Kireç}$ ”, pH=10.5’da reaktif boyalı maddelerin giderilmesi için en iyi verimi elde etmişler ve kimyasal çöktürme deneylerinde makul kimyasal dozlariyla orta dereceden yüksek dereceye kadar renk giderimi sağlandığı ve kullanılan kimyasallar içinde alumun nispeten daha etkili olduğunu tespit etmişlerdir [36].

Renk giderimi pH'a, sıcaklığa, tuz konsantrasyonuna, boyarmadde konsantrasyonuna ve boyarmadde cinsine bağlıdır. Optimum proses koşullarında, boyarmadde sınıfına bağlı olarak çöktürme/yumaklaştırma reaksiyonlarının renk giderme verimi % 80-90 civarındadır [24].

Koagülasyonla renk giderilmesindeki bazı dezavantajlar şunlardır;

- Sadece dispers haldeki boyalar için yüksek renk giderme verimi elde edilebilmesi, çözünür haldeki boyalar için ise etkili bir şekilde renk giderilememesi
- % 70 üzerinde renk giderimi için aşırı dozda koagülat kullanılması
- Aşırı koagülat kullanımından dolayı büyük miktarda çamur oluşumu
- Kimyasal madde tüketiminin yüksek olması nedeniyle işletme maliyetinin de yüksek olması
- Sülfat miktarı fazla olan atıklarda kullanıldığından sülfat miktarının artması [36].

4.2.2 Fiziksel yöntemler

4.2.2.1 Adsorpsiyon

Adsorpsiyonun temel mekanizması, ayrılacak olan maddenin çözücüden kaçma özelliğine ve katıya duyduğu ilgiye bağlıdır. Sulu sistemlerde her iki özelliğin kombinasyonu önem taşır. Bu özellikler etkileyen tüm faktörler, bu arada çözünürlük de, adsorpsiyon için önem taşır. Bir sıvı-katı sisteminde çözeltiden katı faz yüzeyine adsorpsiyon sırasında katı ve sıvı fazdaki maddelerin konsantrasyonları arasında dinamik bir denge oluşur. Bu denge durumunda maddenin sıvı ve katı fazlardaki konsantrasyonları arasındaki orantı adsorpsiyon verimi açısından önem taşır [37]. Adsorpsiyon prosesi, boyalı/sorbent etkileşimi, adsorbanın yüzey alanı, tanecik büyüklüğü, sıcaklık, pH ve temas süresi gibi pek çok faktörün etkisi altındadır.

Adsorpsiyonla renk gideriminde en çok kullanılan yöntem aktif karbon (toz veya granül) yöntemidir. Aktif karbonla renk giderimi özellikle katyonik, mordant ve asit boyalar için etkiliyken, dispers, direkt, vat, pigment ve reaktif boyalar için daha az

bir renk giderimi söz konusudur. Genel olarak aktif karbon kolonlara doldurulur ve atıksu bu kolonlardan geçirilir, doğal olarak bir müddet sonra aktif karbonun yüzeyi dolacağı için verimi düşer. Bu durumda aktif karbonun rejenerasyonu edilmesi gereklidir [20]. Metodun performansı kullanılan karbonun tipine ve atıksuyun karakteristiğine bağlıdır. En iyi adsorpsiyon ise pH<4'lerde gerçekleşmektedir. Rejenerasyon ve tekrar kullanım performansta azalmaya neden olurken bu dezavantaj aşırı miktarda aktif karbon kullanılmasıyla giderilebilir. Ancak aktif karbon pahalı bir malzemedir [7].

Aktif karbonun çok pahalı olması ve bazı boyarmaddeler için düşük renk giderme verimi elde edilmesi, bu maddenin pratikte uygulanmasını sınırlamıştır. Bu nedenle de daha ucuz olarak elde edilebilen uçucu kül, bataklık kömürü, fırın cürüfesi, bentonit klinin de tekstil atıksularından renk giderilmesinde kullanılması araştırılmıştır. Fakat buna rağmen adsorpsiyon kapasitesinin diğer adsorbantlara göre oldukça yüksek olması aktif karbonun yaygın biçimde kullanılmasını sağlamıştır.

Adsorban olarak yaygın kullanılabilen diğer bir malzeme ise bataklık kömürüdür. Bataklık kömürü, boyalar içeren atıksulardaki polar organik bileşikleri ve geçiş metallerini adsorplayabilmektedir. Adsorban olarak bataklık kömürünün kullanımı özellikle bol bulunduğu İrlanda ve İngiltere gibi ülkelerde yaygındır. Bataklık kömürü, aktif karbona göre daha ucuzdur ancak aktif karbonun toz haldeki yapısından kaynaklanan geniş yüzey alanı daha yüksek bir adsorpsiyon kapasitesini ifade etmektedir. Ağaç kıırıntıları, zeolit, şeker kamışı posası, kum, odun talaşı, odun kömürü, uçucu kül+kömür karışımı, silika jeller, doğal killer, misir koçanı, pirinç, kitin, kemik tozu gibi malzemeler de boyalar gideriminde adsorban olarak kullanılabilmektedir. Bunların ucuz ve elde edilebilir oluşu boyar madde giderimindeki kullanımını ekonomik açıdan cazip kılmaktadır [30].

Fırın cürüfesi ve bentonit kili için en uygun adsorpsiyon pH=1-3 aralığındayken, bataklık kömürü ile renk giderme boyalarına göre asidik veya bazik şartlarda gerçekleşmektedir. Uçucu kül ile adsorpsiyonda pH, adsorpsiyon verimini pek etkilemez. Gerekli reaksiyon süresi fırın cürüfesi, bentonit kili ve bataklık kömürü için sırasıyla 7, 8, 6 saat iken aktif karbon ve uçucu kül için 2 saattir [5].

4.2.2.2 Membran prosesleri

Bu yöntemle boyanın sürekli olarak arıtılması, konsantre edilmesi ve en önemlisi atıksudan ayrılması mümkündür. Membran prosesleri son yıllarda oldukça geliştirilmiş ve bu sistemlerin;

- Termal ayırma sistemlerine göre daha az enerjiye ihtiyaç göstermeleri
 - Proses suyunun geri devrettirilebilmesi
 - Sıvıdaki değerli maddelerin geri kazanılabilmesi
 - Diğer sürekli proseslere uyum sağlama
 - Geniş pH ve sıcaklık değerlerinde çalışabilmesi
 - Beklenmedik kimyasal ortama ve mikrobiyal aktiviteye karşı dirençli olması
- özelliklerine sahip olmalarından dolayı daha yaygın olarak kullanılmaya başlanmıştır. Yapılan çalışmalar da, membran filtrasyonu ile, çıkış suyunda düşük konsantrasyonda boyar madde içeren tekstil endüstrilerinde suyun tesise geri kazandırılmasının mümkün olduğunu göstermiştir [38].

Membran teknolojileri; ayırmadan sonra kalan konsantre atığın bertaraf problemlerine neden olması, sermaye giderlerinin yüksek olması, membranın tıkanma olasılığı ve yenilenme gerekliliği gibi dezavantajlara da sahiptir [30].

Sıvıdaki danecik çapı $<0-10 \mu\text{m}$ olması halinde; mikrofiltrasyon, ultrafiltrasyon ve ters osmoz olarak adlandırılan membran ayırma prosesleri kullanılır.

Mikrofiltrasyon; 0.1-10 mikron büyüğündeki askıda katı maddelerin, bakterilerin, renk oluşturan boyar maddelerin tutulmasında kullanılır. Partiküllerin ayrılması % 100'e yakın oranda ve membran üzerinde gerçekleşir. Düşük basınç (0.5-5 Bar) altında, düşük ve yüksek pH (1-13) değerleri arasında ve yüksek sıcaklıklarda düşük enerji ile çalışabilen mikrofiltreler oksidantlara karşı dayanıklıdır. Membranın dezavantajlarından biri askıda madde birikimine bağlı olarak tıkanmasıdır.

Ultrafiltrasyon; yüksek molekül ağırlığına sahip maddeleri, mikroorganizmaları ve askıda maddeleri sıvıdan ayıran bir ayırma prosesidir. Gözenek çapı 0.001-0.1 mikron arasındadır. Düşük enerji ile düşük basınçta (2-10 Bar) ve 1-13 pH aralığında

kullanılabilir. Ultrafiltrasyon ile geri kazanımda % 95'e kadar verim elde edilebilmektedir.

Ters osmoz; gözenek çapı 0.001 mikrondan küçük, fazla enerji tüketen, yüksek basınç ile maksimum 45 °C'de çalışan ters osmoz membran prosesleri ile tuz dahil tüm maddeler arıtlarak atıksuyun yaklaşık % 95'i tekrar proses suyu olarak kullanılmaktadır. Ters osmoz membranların yüksek sıcaklıkta çalışmaması ve oksidantlara karşı dayanıklılığının sınırlı oluşu bazı endüstrilerde kullanımını sınırlamaktadır [5]. Tablo 4.3'de membran proseslerinin karşılaştırılması verilmiştir [39].

Tablo 4.3 Membran proseslerinin karşılaştırılması [15]

| Ultrafiltrasyon | Ters Osmoz | Mikrofiltrasyon |
|---|---|---|
| Düşük basınç (2-10 Bar) | Yüksek basınç (10-30 Bar) | Düşük basınç (0.5-5 Bar) |
| Az enerji gereksinimi | Fazla enerji tüketimi | Az enerji gereksinimi |
| Yüksek geri kazanım (% 95'e kadar) | Düşük geri kazanım (% 50-80) | - |
| pH = 1-13 | pH = 2-11 | pH = 1-13 |
| Yüksek sıcaklıkta işletme 80 °C | Maksimum 45 °C'ye kadar | Yüksek sıcaklıkta işletme |
| Oksidantlara karşı dayanıklı | Oksidantlara karşı dayanıklılığı sınırlı | Oksidantlara karşı dayanıklı |
| Yağ/su emülsiyonları, deterjan, organik maddeler, renk ve moleküllerin makro moleküllerin giderilmesinde kullanılırlar. | İyonların, ağır metallerin giderimin de kullanılırlar | Yağ/su emülsiyonları, aktif çamur sistemlerinden biyokitle ayrılması, sertlik, bulanıklık ve renk gideriminde kullanılırlar |

Tekstil endüstrisinde, büyük miktarda kimyasal madde ve boyarmadde kullanılır ve buna bağlı olarak değişik karakterde önemli miktarda atıksu oluşur. Kullanılan maddelerin geri kazanımı için tekstil endüstrisinde membran prosesler uygulamada iki değişik şekilde kullanılır.

1. Boyarmaddelerin geri kazanılmasında, kullanılan boyaya çeşidine bağlı olarak ters osmoz veya ultrafiltrasyon membranlar kullanılır. Geri kazanılan boyar maddeler tekrar boyamada ve arıtulan atıksu da tekrar yıkama suyu olarak kullanılır.
2. Ultrafiltrasyon kullanılarak polivinil asetat bileşikleri geri kazanılıp, tekrar kullanılabilmektedir [5].

4.2.2.3 İyon değişimi

Boya içeren atıksuların arıtılmasında iyon değiştiricilerin kullanılması henüz yeterince yaygın değildir. Bunun ana nedeni, iyon değiştiricilerle arıtılarak olumlu sonuç alınan boyalı sınıfinin kısıtlı olduğu düşüncesidir. Yöntemde, atıksu, mevcut değişim bölgeleri doygunluğa erişene kadar iyon değiştirici reçineler üzerinden geçer. Bu şekilde, boyarmadde içeren atıksulardaki hem katyonik hem de anyonik boyalar uzaklaştırılabilmektedir. Yöntemin avantajları, rejenerasyonla adsorban kaybının bulunmaması, çözücüün kullanıldıktan sonra iyileştirilebilmesi ve çözünebilir boyaların etkin şekilde giderilebilmesidir. En büyük dezavantaj ise kuşkusuz yöntemin maliyetidir. Organik çözüçüler oldukça pahalıdır. Ayrıca iyon değişimi metodu dispers boyalar için pek etkili değildir [30].

4.2.3 Biyolojik yöntemler

Biyolojik arıtım, endüstriyel proseslerden alıcı sistemlere transfer olan organikler için en önemli giderim prosesidir. Tekstil endüstrisi atıksuları için önerilen fizikal ve kimyasal yöntemlerin yüksek maliyet gerektirmeleri ve her boyalı için kullanılmamaları, uygulanmalarının sınırlı olmasına neden olmuştur. Son zamanlarda yapılan çalışmalar birçok boyalı türünü atıksudan giderme yeteneğine sahip yaygın mikroorganizma türlerinin mevcudiyetini vurgulamış ve biyoteknolojik metodları ön plana çıkarmıştır. Yani, teorik olarak biyolojik arıtma sistemleri kimyasal ve fizikal arıtma yöntemlerine göre daha az çamur üretmesi, maliyetinin daha düşük olması veya alıcı ortamlar için zararlı yan ürünlerin oluşmaması gibi özelliklerinden dolayı tekstil endüstrisi atıksularının arıtımı için ideal çözüm olarak kabul edilmektedir [7].

4.2.3.1 Aerobik yöntem

Tekstil endüstrisi atıksuları, pH değişimlerine duyarlılığı yüksek olan biyolojik arıtma tesislerinde önemli zorluklara sebep olur. Endüstriyel atıksuların arıtılmasında yaygın olarak kullanılan aktif çamur sistemleri için tekstil endüstrisindeki birçok boyalı bileşiği ya biyolojik olarak çok zor indirgenebilmekte yada inert kalmaktadır.

Suda iyi çözünen bazik, direkt ve bazı azo boyaların atıklarının olması durumunda mikroorganizmalar bu tür bileşikleri biyolojik olarak indirgeyememekle birlikte boyanın bir kısmını adsorbe ederek atıksuyun rengini almakta ve renk giderimi sağlanabilmektedir [7].

Azo boyarmaddeler gibi sentetik boyaların aerobik şartlar altında mikrobiyal parçalanmaya karşı dirençli olmasının nedeni boyaların malzemelerinin, kimyasal ve ışık kaynaklı oksidatif etkiler sonucu renklerinin solmamasını sağlayacak şekilde sentezlenmeleridir. Boyaların aerobik biyodegradasyonunu zorlaştıran diğer bir faktör ise moleküllerin ağırlıklarının yüksek olması nedeniyle biyolojik hücre zarından geçişlerinin zor olmasıdır [40]. Azo ve reaktif boyarmadde içeren bir tekstil atıksuyu renginin mikrobiyal proseslerle giderilmesinin araştırıldığı bir çalışmada aerobik kolonlardan izole edilmiş saf bakteri kültürlerinin renk giderimini gerçekleştiremediği belirlenmiştir [41]. Bir başka çalışmada ise atıksudaki azo boyarmaddeler ile reaktif boyaların ortalama % 10'unun aerobik biyokütleye adsorbe olduğunu, geri kalanının ise aktif çamur tesisinden herhangi bir değişime uğramadan geçtiğini belirtmişlerdir ve azo boyaların madde içeren tekstil atıksularının renginin giderilmesinde aerobik arıtmanın yetersizliği vurgulanmıştır [42].

Ancak bazı boyaların maddelerin aerobik olarak parçalanabileceğinin doğrultusunda çalışmalar da mevcuttur [43]. Odunsu bitkilerde bulunan, yapısal polimer lignini parçalayabilen ve ksenobiyotik maddelerin parçalanması amaçlı çalışmalarında en yaygın olarak kullanılan beyaz çürükçül küf *Phanerochaete chrysosporium*'un, lignin peroksidaz, manganeze bağlı peroksidaz gibi enzimleri kullanarak boyarmaddeleri parçalayabildiği bilinmektedir [30, 44]. Ancak beyaz küflerin, ligninolitik enzimlerin düşük pH değerlerinde ($\text{pH} = 4.5-5$) aktif olması ve atıksularda bulunma ihtimali düşük olan tiamin ile veratril alkol maddelerine ihtiyaç duyması gibi dezavantajları vardır [45].

4.2.3.2 Anaerobik yöntem

Boyarmaddelerle yapılan anaerobik parçalanma çalışmaları, özellikle aerobik ortamda parçalanamayan suda çözünebilir reaktif azo boyarmaddeler üzerinde

yoğunlaşmıştır. Çift bağlı azot halkasına bağlı bu boyaların aerobik proseslerle arıtılabilirliğinin mümkün olmaması anaerobik arıtmanın ön arıtma olarak kullanılmasını gerektirmektedir. Anaerobik olarak renk gideriminin gerçekleşebilmesi için ilave karbon kaynağına ihtiyaç vardır. İlave karbon metan ve karbondioksite dönüştürülmekte ve elektronlar açığa çıkmaktadır. Bu elektronlar, elektron taşıma zincirinden son elektron alıcısına yani azo-reaktif boyaya taşınmakta ve boyayla reaksiyona girerek azo bağını indirmektedir. Böylece anaerobik parçalanma sonucunda azo boyar maddelerdeki renkten sorumlu azo bağlı kırılmakta ve renk giderimi sağlanmaktadır [7].

Azo bağının kırılmasıyla, anaerobik olarak parçalanamayan aromatik aminler de oluşabilmektedir. Boyarmaddeler normalde kanserojenik değilken, anaerobik parçalanma sonucu oluşan aminler bu özellikleri gösterebilmektedir. Bu nedenle anaerobik sistemler, aerobik arıtmadan önce yer alan bir ön arıtım yöntemi olarak önerilmektedir. Çünkü aromatik aminler, aerobik ortamda mineralize olabilmektedir. Böylece boyar madde içeren atıksuların kombiné anaerobik-aerobik proseslerle arıtılması sonucu ilk basamakta etkili bir renk giderimi sağlanmakta ve anaerobik ortamda dirençli olan aromatik aminler aerobik basamakta giderilebilmektedir [46].

4.2.3.3 Biyosorpsiyon

Kimyasal maddelerin mikrobiyal kütle tarafından adsorpsiyonu veya kütlede birikimi biyosorpsiyon olarak ifade edilmektedir. Ölü bakteriler, maya ve mantarlar, boyarmadde içeren atıksuların renginin giderilmesinde kullanılabilmektedir. Tekstil boyalarının kimyası geniş bir yelpazede değişiklik gösterdiği için mikroorganizmalarla olan etkileşimler boyanın kimyasına ve mikrobiyal kütlenin spesifik kimyasına dayanmaktadır. Bu nedenle kullanılan mikroorganizmanın cinsine ve boyaya bağlı olarak farklı bağlanma hızları ve kapasiteleri söz konusudur. Boyarmadde içeren atıksu çok toksik olduğunda biyosorpsiyon avantajlı olmaktadır [30].

Biyosorpsiyon da;

- Ölü biyokütlelerin canlı biyokütlelere göre 3-4 kat daha fazla adsorplama kapasitesine sahip olduğu
- Adsorpsiyon yüzeyinin genişlemesiyle ölü biyokütlelerin biyosorpsiyon kapasitesini artırdığı
- En yüksek adsorplama kapasitesi sırasıyla ölü *Aeromanos sp.*, *Pluteola* ve *E. Coli* biyokütlelerinde görülürken, aktif çamur ve bazı bakteri türlerinde biyosorpsiyon kapasitesinin çok az olduğu
- Biyosorpsiyonun asidik şartlardaoluştuğu
- Farklı boyalileşiklerinde bakteriyel biyokütlelerin sabit adsorpsiyon özelliği gösterdiği

yapılan laboratuar çalışmaları sonucundan elde edilmiştir [5].

4.2.3.4 İleri aktif çamur yöntemi

Son zamanlarda yapılan çalışmalar birçok boyalı türünü atıksudan giderebilme yeteneğine sahip yaygın mikroorganizma türlerinin mevcudiyetini vurgulamış ve biyoteknolojik metotları ön plana çıkarmıştır. Özellikle bazidili mantarların bir grubu olan beyaz çürükçül mantarlara olan ilgi her geçen gün artmaktadır. Ligin degredasyon kabiliyeti olan bu mantarlar tarafından sentezlenen enzimler atıksulardaki boyarmaddeleri giderebilmektedir.

İleri ve arkadaşları [49] yaptıkları bir çalışmada; tekstil endüstrisi atıksularının arıtılmasında kullanılan klasik aktif çamur prosesine, biyoteknolojik yöntemlere dayanarak, dört farklı tip beyaz çürükçül mantar hücresi ekleyerek renk giderme verimlerine bakmışlardır. Mantar hücreleri, tek tek ve hepsi birlikte aktif çamura eklenmiş ve renk giderimi veriminin benzer olarak sırası ile % 37 - % 87 (12 saat – 10 gün bekleme süresi) ve % 36 - % 88 (12 saat – 10 gün bekleme süresi) arttığı gözlemlenmiştir.

BÖLÜM 5. SEÇİLEN TEKSTİL ENDÜSTRİSİNİN TANITILMASI

5.1 Tesisin Tanımı

Aydın Örme San. ve Tic. A.Ş. 1989 yılında İstanbul-Sarıgazi'de kurulmuş ve asıl üretim konusu, perdelik tül ve elastik danteldir. Firma bugün entegre olma yolunda neredeyse tüm üretim zincirlerini tamamlamıştır. İplik (tekstüre, büküm, fantezi), desen tasarım, dokuma, örme (çözgülü, triko), boyahane ve konfeksiyon aşamalarının hepsi tamamlanmış ve hızla büyümektedir.

Ev tekstili alanında faaliyet gösteren Aydın Örme San. ve Tic. A.Ş., boyahane ve konfeksiyon ihtiyacını karşılamak amacıyla 1996 yılında Akyazı ilçesinde Aydın Örme San. ve Tic. A.Ş.-Akyazı Şubesini kurmuştur.

Aydın Örme, İstanbul-Sarıgazi tesislerinde yılda 3000 ton dokuma ipliği, 25.000.000 m² jakarlı perde, 3.500.000 m dokuma vual perde, 11.000.000 m 15 cm'lik elastik dantel bant ve 2.000.000 m elastik jarse üretmektedir. Bu üretimin % 60'ı, dünya çapındaki mümessilleri aracılığıyla Rusya başta olmak üzere Avrupa ve Amerika'ya ihraç edilmekte, % 40'ı da iç piyasada değerlendirilmektedir.

Akyazı şubesinde aylık 450 ton olan boyama kapasitesi, yeni yapılan yatırımlarla 600 ton'a çıkarılmıştır. Ürün çeşitliliğini artırmak için, baskılı tül perde ve baskılı fantezi kumaşlar işlenmek üzere rotasyon baskı yatırımı yapan şirket, aylık 6.000.000 m kumaş işlemeyi planlamaktadır.

Aydın Örme'nin ihracatında önemli bir role sahip olan konfeksiyon bölümünde aylık 250.000 adet hazır pano perde dikilmekte ve 500.000 m'ye yakın tül perdenin etek kesimi yapılmaktadır [48].

Aydın Örme San. ve Tic. A.Ş.-Akyazı Şubesi şu ana birimlerden oluşur:

ÜRETİM BÖLÜMLERİ

- 1. Boyahane İşletme**
 - a- Laboratuar
 - b- Ar-Ge
 - c- Boya ve Terbiye
 - d- Apre
 - e- Kırışık-Kalender
- 2. Konfeksiyon İşletme**
 - a- Metre Malı
 - b- Hücreler
- 3. Baskı İşletme**
 - a- Desen Dairesi
 - b- Şablon Dairesi
 - c- Varyant Dairesi
 - d- Boya Mutfağı
 - e- Baskı makinası

YARDIMCI BÖLÜMLER

1. Kalite Kontrol ve Katlama
2. Mefruşat Ürün Müdürlüğü
3. Elastik Ürün Müdürlüğü
4. İnsan Kaynakları
5. Makine-Enerji
6. Kalite Güvence
7. Satınalma

5.2 Proses İşlem Tipi

1. Ön yıkama + Boyama (Rahm'da) → Gipür, Saten
2. Boyama (Rahm'da) → Tülle

3. Ön yıkama + Ön fiske + Boyama (Boyahane) + Kurutma → Fikseli saten, Tergal
4. Ön fiske + Boyama (Boyahane) + Kurutma → Fikseli saten, Tergal
5. Boyama + Kurutma → Saten, Tergal
6. Yıkama + Kurutma + Son fiske (Kurutma) → Tüm mallar

5.3 Proses İşlemlerinden Kaynaklanan Atıklar

- a) Ön yıkama : Yağlı su
- b) Boyama : İhmal edilebilir baca gazı (yağ + boyalı su)
- c) Ön fiske : İhmal edilebilir baca gazı (yağ)
- d) Boyama (Boyahane) : Sulu boyalı su
- e) Kurutma : İhmal edilebilir baca gazı
- f) Bütün proses işlemlerinden sonra tekstil kırıntıları oluşmaktadır.

5.4 Atıksu Miktarı ve Özellikleri

Fabrikada günde yaklaşık olarak 1800-2000 m³/gün su kullanılmakta ve bu suyun 700 m³ soğutma suyu olarak kullanılmaktadır. Soğutma suyunun yarısından fazlası (400 m³) geri dönüşü yaptığından arıtma tesisine günlük olarak yaklaşık 1400 m³ (940-2000 m³/gün) atıksu gelmektedir. Fabrika ünitelerinden kaynaklanan bütün atıksular (evsel ve endüstriyel) altyapı sistemi ile birlikte arıtma tesisine gelmektedir.

Endüstriyel ve karışan evsel atıksu debisi değişimi sırası ile 900-1900 m³/gün ve 40-100 m³/gün'dür. Atıksu arıtma tesisi dizaynında esas alınan ham tekstil endüstrisi karakteristiği;

BOİ₅ : 300-3000 mg/l

KOİ : 500-5000 mg/l

AKM : 10-50 mg/l

Sülfür : 2 mg/l

pH : 4-12

Sıcaklık : 40 °C

Optimum Çamur Yaşının Hesabı;

$$Px=Y*(So-Se)*Q-b*X*V$$

$$Px=0,6*(350-40)*60-2,5*10^{-3}*4600*955$$

$$Px=177,5 \text{ kg/saat}$$

$$Qw=Px/KMM$$

$$Qw=177,5/0,03=5,9\text{m}^3/\text{saat}$$

$$Xr(\text{g/l})=1000/\text{SVI}=1000/150 \text{ ml/g}=6,67 \text{ kg/m}^3=6700 \text{ mg/l}$$

$$\theta_T=V_B*X_v/(QX_v)_w$$

X_v =Reaktör içindeki ortalama çamur konsantrasyonu

$(QX_v)_w$ =Günlük olarak çıkarılan çamur miktarı

$$\theta_T=955*4600/5,9*6700=111 \text{ saat } =4,6 \text{ gün } (\text{İdeal çamur yaşı 3-5 gün arasında olduğundan uygundur})$$

$\theta_{T_{min}}$ hesabı;

$$1/\theta_{T_{min}}=Y*k*S_0/(K_s+350)-b$$

$$1/\theta_{T_{min}}=0,6*0,21*350/(50+350)-2,5*10^{-3}=0,10775$$

$$\theta_{T_{min}}=1/0,10775=>\theta_{T_{min}}=9,28 \text{ saat } =0,4 \text{ gün}$$

Tablo 5.1 Atıksuyun Kirlilik Parametreleri [15]

| Atıksu Kaynağı | KOİ (mg/l) | BOİ (mg/l) |
|----------------|------------|------------|
| Boyahane | 615 | 346 |
| Rahm | 393 | 221 |
| Baskı | 473 | 266 |

Toplam Ürün : 5800 ton/yıl = 16 ton/gün

Tablo 5.2 Proses Profili [15]

| Proses | Su Kullanımı | | Atıksu Oluşumu | |
|----------|---------------------|--------------------------|---------------------|--------------------------|
| | m ³ /gün | m ³ /ton ürün | m ³ /gün | m ³ /ton ürün |
| Boyahane | 600 | 37.5 | 1000 | 62.5 |
| Rahm | 250 | 15.62 | 250 | 15.62 |
| Baskı | 125 | 7.8 | 150 | 9.37 |
| Toplam | 1000 | - | 1400 | - |

5.5 Kullanılan Boyarmaddeler

Aydın Örme San. ve Tic. A.Ş.'de kullanılan boyaların listesi Ek'te verilmiştir.

BÖLÜM 6. TEKSTİL ENDÜSTRİSİ ATIKSULARININ ARDIŞIK KESİKLİ BİYOREAKTÖR İLE ARITILMASI

6.1 Ardişik Kesikli Biyoreaktör Teknolojisi

1920'lerde vazgeçilmez değişken hacimli askıda büyümeye aktif çamur sistemleri, 1970'lerde Amerika ve Avustralya'da tekrar canlandı ve kullanıldı. Irvine, kendi değişken hacim sistemine 1967'de AKR dediği bir periyodik çıkış suyu ve bir periyodik deşarj içeren bir sistem üzerinde odaklandı. 1980-1982 yılları arasında Hindistan'daki bir çalışma, reaksiyon fazı olan (havalandırma ve/veya karıştırmalı bir periyot fakat atıksu girişi yok) periyodik bir deşarj ve periyodik bir girişi birleştiren bir SBR'nin potansiyelini gösterdi. 1980'lerin ortalarına kadar periyodik proses teknolojisi aktif çamur sistemlerine oldukça nadir uygulandı. O zaman sadece askıda olmayan büyümeye periyodik olarak işletilmiş sistemlere biraz dikkat verildi. Bir sabit yataklı ardişik kesikli biyofilm reaktör ile kirli yer altı suyunun biyolojik arıtılması üzerine raporlar yayınlandı. Diğer adım periyodik olarak işletilmiş katı bulamaç ardişik kesikli reaktör de kirlenmiş katıların biyolojik arıtımıydı. 1990'ların ortalarında endüstriyel atıksuların arıtımı için periyodik olarak işletilmiş anaerobik reaktörler ve kirlenmiş katıların arıtılması için katı faz reaktörleri kullanıldı. Son olarak kontrol edilmiş yatişkan olmayan durum işletimi periyodik olarak işletilmiş bir biyofiltrede kirlenmiş gazların arıtımı yapıldı.

Görüldüğü gibi AKR uygulamaları için önemli bir potansiyel vardır. Yeni AKR sistemlerinin bazıları kirletilmiş gazları, katıları, katı atığı ve diğerlerini arıtmayı amaçlar fakat çoğunlukla atıksu arıtımında kullanılır.

6.1.1 Proses tanımlama

Ardışık Kesikli Biyoreaktör (AKR) prosesi; her biri belirli bir periyot boyunca süren proses fazları serisiyle (doldurma, reaksiyon, çökelme, boşaltma ve bekleme) tanımlanır.

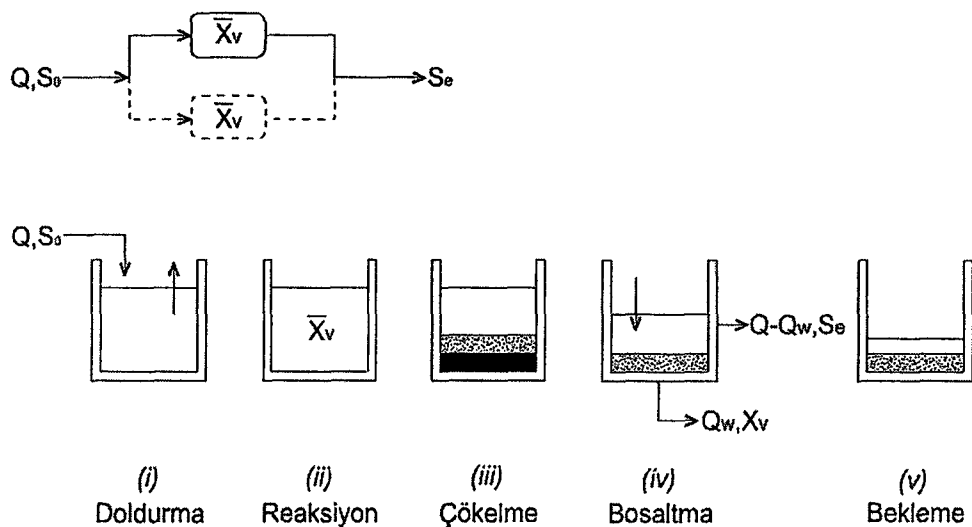
Doldurma fazı; reaktör muhtevası sürekli olarak gelen atıksu ile karışır. Bu faz sırasında mikroorganizmaların büyüyerek bloklar haline gelmesini temin ederek çamurun çökelebilmesini hızlandırmak ve geliştirmek için havalandırma ve karıştırma uygulanmaz [50].

Reaksiyon fazı; doldurma fazının sonunda karıştırma ve havalandırma başlar. Nitrifikasyonun tamamlanması veya organik karbonun stabilizasyonu gibi arzu edilen reaksiyonları tamamlamak için deneyimlerden elde edilmiş yeterli bir periyot süresince reaksiyon sona erer. Çözünmüş oksijen konsantrasyonu veya indirgenme yükseltgenme potansiyeli istenilen seviyeye ulaştığı zaman reaksiyon durdurulur.

Çökelme fazı; reaksiyon için gerekli havalandırma ve karıştırma durdurulur ve çökelmenin başlamasına izin verilir. İdeal bir sakin çökelme herhangi bir akıntı veya düzensizliğe maruz kalmamalıdır. Genellikle değişik mevsimler arasında çökelme hızı çok az değişir, bu nedenle gerekli olan zamanın ayarlanması ile sabit bir periyot uygulanır.

Boşaltma fazı; çökelme sona erdiği anda boşaltma başlar. Eğer bir çamur seviye göstergesi kullanılıyorsa ve çamur kalınlığı istenilen seviyeye ulaştığında, boşaltma daha önce başlatılabilir.

Bekleme fazı; azami dizayn akım hızında bekleme mümkün olduğu kadar kısalıdır, yaklaşık birkaç dakika. Alternatif olarak, statik doldurma ve boşaltma fazı tayin edilmiş periyot için üst üste bindirilebilir. AKR işletiminin fazları Şekil 6.1'de [53] gösterilmiştir.



Şekil 6.1 Genel AKR prosesinin birbirini takip eden işletim fazları [53]

Üstteki tanımlamalara ek olarak, doldurma ve reaksiyon fazları çeşitli havalandırma ve karıştırma işletim stratejilerinin sonucu olarak sisteme enerji girişiyle oluşmuş birkaç alt faza sahip olabilir. Bunlar;

- Statik doldurma; sisteme enerji girişi yoktur, besi maddesi birikmesine izin verir.
- Karışık doldurma; basınçlı havalandırma yapılmadan karıştırma, minimal aerobik aktivite ya anoksik yada anaerobik reaksiyonlara müsaade eder.
- Havalandırmalı doldurma; basınçlı havalandırma yapılarak karıştırma, aerobik reaksiyonlara izin verir, sık sık eş zamanlı anoksik ve aerobik reaksiyonlara müsaade eder.
- Karıştırmalı reaksiyon; basınçlı havalandırmasız karıştırma minimal aerobik aktivite anoksik ve belki anaerobik reaksiyonlara izin verir.
- Havalandırmalı reaksiyon; basınçlı havalandırmalı karıştırma aerobik reaksiyona izin verir.

AKR tesislerinin genel özellikleri şunlardır;

- Bu tesisler, ardışık olarak işletilmiş, bir tankta veya daha fazla tankta katı-sıvı ayrimını ve atıksu kirleticilerinin biyolojik arıtımını sağlar.
- Doldurma fazı esnasında tanklardaki sıvı hacmi artar, boşaltma fazı esnasında tanklardaki sıvı hacmi azalır.
- Her devrim esnasında ardışık olarak havalandırma-karıştırma veya onların kapatılması ile metabolik aktiviteyi sağlar.
- Aynı tankta katı-sıvı ayrimına yada besi maddesi birikmesine izin veren karıştırmaz/havalandırmaz işlemeleri kullanırlar.
- Fazların ardışlığını kontrol etmek için sensörler kullanılabilir.
- Periyodik olarak adım adım tekrarlanan birbirini takip eden ünite işletmeleri ve prosesleri kullanılır.
- Şok yük periyodunda yüksek performans sağlarlar.
- Deşarj edilmeden önce analiz etmek için arıtılmış atıksuyu tutabilirler.
- Yükteki çeşitlikleri sağlamak için işletmeye yerleştirilmiş tank sayısı, her bir tankın hacmi ve enerji girişi ayarlanabilir.

Sürekli akım aktif çamur sistemlerinden AKR'yi ayıran özellikler;

1. Giriş ve çıkış akımları ayrılır. .
2. Biyokütle ayrimı biyolojik reaktörde yapılır ve ayrı çöktürücü yoktur.
3. Periyodik olarak tekrarlanan bir zaman ardışığında birbirini takip eden her bir reaktörde oluşan birim işletimler ve prosesler söz konusudur.
4. Arıtılmış suyun bir bölümü yeni atıksu devri için periyodik olarak her tanktan deşarj edilir.

Bu özelliklerinden dolayı AKR'ler; periyodik prosesler, tek-tank sistemleri, doldur-boşalt reaktörleri veya değişken hacimli reaktörler olarak da adlandırılabilirler.

6.1.2 AKR teknolojilerinin kullanılma sebepleri

Uygun işletme stratejileri tatbik edildiği zaman, başarılı bir biyolojik atıksu arıtımı için gerekli prosesler AKR içine kolaylıkla uygulanabilir. Geleneksel sürekli akım teknolojilerinin üzerine AKR teknolojilerinin kullanımı için önemli sebepler şunlardır;

- Doldurma esnasında uygun S_0/X_0 (besinmaddesi/mikroorganizma miktarı) oranının kurulmasıyla seçilmiş basınçla bağlı bolluk-kıtlık arasındaki filamentli çamur patlamasını ve fazla hava şiddetini kontrol eder ve EPS (extracellular polymeric substances) reaksiyon esnasında endogeneous metabolik reaksiyonlara izin verir.
- Basit bir havalandırma şiddeti ayarlamasıyla bir devir zamanı içinde nitrifikasiyon ve denitrifikasiyon gerçekleşir.
- Atıksu bileşimindeki hem kısa süreli günlük hem de uzun zamanlı mevsimsel çeşitliliği karşılamak için sistem yapısı ve işletme tarzı ayarlanabilir.
- Eğer müsaade edilirse yük dengeleme yapılarını çıkarır ve her bir AKR tankını bir dengeleme tankı olarak kullanır.
- Doldurma ve reaksiyon fazları esnasında eksik araçların eklenmesiyle fosfor giderimi yapar.
- Denitrifikasiyon yada ileri biyolojik fosfor giderimi esnasında nutrient giderimi için enerji temelli karbon kullanarak çamur üretimini ve kümülatif oksijen ihtiyacını azaltır.
- Volumetrik değişim oranının (VER), havalandırma zamanının, çeşitli proses fazlarının süresinin gerçek ihtiyaca göre ayarlanmasıyla organik ve/veya hidrolik yükteki değişiklikler nedeniyle ortaya çıkan çok şok yüklerde müsaade eder.
- Çökme fazındaki türbülansı ve küçük girdapları azaltmakla çıkış suyundaki askıdaki katı madde miktarını düşük tutar.
- Reaktörden gelen atık çamurun su içeriğini azaltmak için çökme fazı esnasında çamur yoğunlaştırmayı sağlar.

6.1.3 Çeşitli AKR uygulamaları

Periyodik olarak işletilmiş sistemler için eğilim, onları AKR olarak isimlendirerek tek bir kategoriye toplamaktır. Bütün değişken hacim aktif çamur prosesleri, kesikli reaktör proseslerinin temel prensiplerini gerektirir. Her biri kullandıkları belirli doldurma stratejileri veya reaksiyon ve dinlenme fazının bulunmasıyla karakterize edilmiş AKR'ler dört temel gruba ayrılır.

- a) Bir periyodik giriş, bir reaksiyon fazı ve bir dinlenme fazı içeren sistemler.
İki veya daha fazla tank kullanılır. Tank maksimum su seviyesine ulaşana kadar doldurulur. Her tank için doldurma zamanı oranı (FTR) 1'den azdır. Doldurma periyodunun süresi $t_p = t_c/n$ ile ifade edilir. Bu sistemde selektöre denk olan bir statik doldurmanın kurulmasıyla bolluk şartları sağlanabilir ve açlığı sağlamak için besinsiz uzun havalandırmalı reaksiyon fazına sahip olunmasıyla kıtlık şartları başarılabilir. Havalandırmalı ve karıştırmalı doldurma biyolojik nütrient giderimini sağlamak için kullanılır. Tanka atıksu eklemeden çökeltme ve boşaltma meydana gelir. Bekletme bir tutma veya dengeleme tankına denktir. Sistemin çeşitli akım durumlarıyla baş etmesini sağlar.

- b) Bir periyodik giriş ve reaksiyon fazı içeren sistemler, bekletme fazı yok.
Atıksu bekletme tanklarına dağılmadan önce bir tutma tankına girer. İki veya daha fazla tank kullanılır. Hızlı doldurma veya ilaveli doldurmayı içeren çeşitli doldurma stratejilerinden biriyle tanklar sistemin işletilmesine izin verirler. Bu sebepten dinlenme fazı çeşitli akım şartlarında sistemi kontrol etmek için gerekli değildir. Benzer şekilde hızlı doldurma, statik doldurma veya selektöre sahip olmaya denktir. Her iki harekette, bolluk şartlarını sağlayan yüksek besi maddesi konsantrasyonuna neden olur. Statik doldurma fazı gereken şekilde tamamlanır.

- c) Kesintili girişli sistemler, selektör var, reaksiyon ve dinlenme fazı yok.
Bu sistemde doldurma ya boşaltma esnasında yada çökme ve boşaltma fazları esnasında kesiklidir. Bu sistemlerin hepsi ana reaktörden selektöre karışık sıvayı geri döndüren bir geri dolaşım hattına sahiptir. Devirli Aktif Çamur Sistemleri çökelme esnasında akışı tamponlamak için bir depoya sahiptir. Doldurma esnasında

havalandırma sistemi kapalı olabilir veya doldurma fazının sonu için açık olabilir. Havalandırma sisteminin açık veya kapalı tutulması gereken zamanlar arasındaki oran atık yük ve azot giderim ihtiyacına bağlıdır.

d) Sürekli Akımlı Sistemler

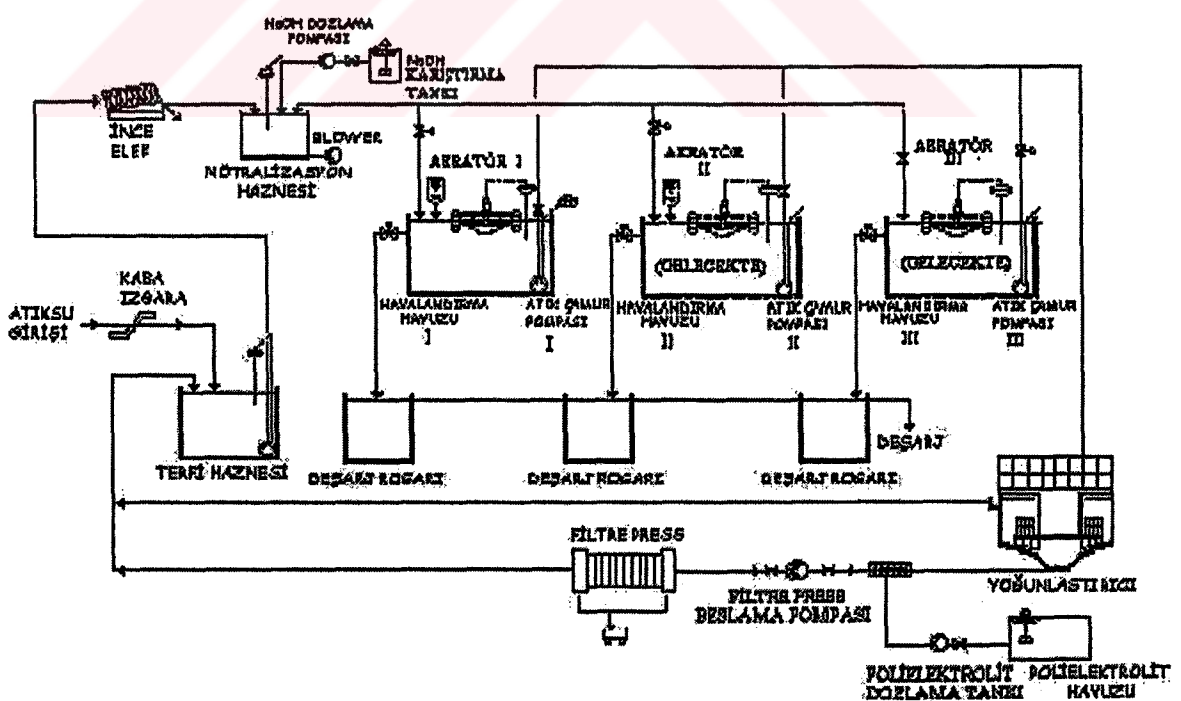
Bu AKR'ler, tek tank veya paralel olarak işletilmiş seri tanklar olarak işletilebilir. İlk olarak bir tanktaki su seviyesi belirlenmiş maksimum seviyeye ulaştığı zaman, havalandırıcılar ve karıştırıcılar kapatılır, aktif çamurun çökmesine izin verilir ve süpernatant reaktörden süzülür. Boşaltma esnasında arıtılmış suyun giren atıksu ile kirlenmesini önlemek için reaktör bir bölge ile ayrılmış iki kısma bölünür. Tankların biri karşı kirlemeyi sınırlar ve bir selektör gibi çalışır. Kesikli Devirli Havalandırma Sistemi gibi AKR'ler normal olarak tam havalandırmalı doldurma ile çalışırlar [51].

6.2 Seçilen Tekstil Endüstrisi Atıksu Arıtma Tesisi

Fabrikanın atıksuları ardışık kesikli reaktörlü bir atıksu arıtma tesisi ile arıtılmaktadır. Boyama ile yıkama kazanlarından gelen endüstriyel atıksular ile lavabo, yemekhaneden gelen evsel atıksular önce kaba ızgaradan geçirilerek terfi haznesine alınır. Terfi haznesindeki pompa ile tesise terfi ettirilir. Bu aşamada, ince elek kullanılması halinde, atıksu içerisindeki iplik ve elyaf tutulur. Atıksu, biyolojik arıtmadan önce düşük pH içermesi nedeni ile pH'ın nötr hale getirilmesi için nötralizasyon tankına alınır. Bu tankta, pH metrenin gerekliliği kimyasal (asit veya kostik) dozlaması ile pH nötr değerde tutulur. Atıksudaki kirlilik kaynağı çözülmüş karbonun biyolojik olarak arıtılması için atıksu havalandırma havuzuna alınır. Havalandırma havuzları ardışık kesikli reaktör olarak dizayn edilmiştir. 3 adet paralel olarak yapılmış Ardışık Kesikli Reaktör mevcuttur. İhtiyaca göre biri veya diğerleri de çalıştırılabilirmektedir. Her bir Ardışık Kesikli Reaktör'ün toplam ve aktif hacmi sırası ile, 1000 m^3 ve 160 m^3 'tür. Atıksu bir havuza doldurulurken diğer havuzda, aeratörler durdurularak havuz içerisindeki bakteriler çöktürülür. Sistemde üreyen fazla çamur, atık çamur pompası ile yoğunlaştırıcıya gönderilir. Yoğunlaştırıcıdan hacmi azalan atık çamur susuzlaştırılması amacıyla çamur pompası ile filtre pres'e alınır. Havalandırma havuzlarından atılması gereken fazla çamur miktarı yaklaşık 115'er kg/gün civarındadır. Filtre pres iki haftada bir çalıştırılır. Bu ünitede

sıkıştırılarak su içeriği düşürülen çamur katı atık olarak uzaklaştırılabilecek hale getirilir. Çamurun kolay sıkıştırılabilmesi için gerekli olan polielektrolit, bir dozaj pompa ile çamura dozlanır. Filtre presten çıkan süzüntü suları ise tekrar arıtmak üzere arıtma tesisi girişine verilir. Reaktörlerin çalışma süreleri; 1.5 saat reaksiyon, 1.5 saat çökelme ve 1 saat boşaltma olmak üzere toplam 4 saattir. Tesiste güne 6 seans yapılmaktadır [48].

Aritma sisteminde çözünmüş oksijen konsantrasyonu 1-3 mg/l arasında, çamur hacim indeksi (SVI) 100-150 ml/g arasında, hücre konsantrasyonu (AKM) 3000-6000 mg/l arasında, pH'da 6.2-8 arasında tutulur. Ardışık kesikli biyoreaktörde deneylerin yapıldığı zama, giriş suyu BO_İ₅ konsantrasyonu 350-2700 mg BO_İ₅/l olduğu, 1.5 saatlik reaksiyon süresi ve 1.5 saatlik çökelme süresi sonucundaki çıkış suyu BO_İ₅ konsantrasyonu 43-59 mg BO_İ₅/l olduğu tespit edilmiştir. 2 saatlik ve 24 saatlik kompozit numuneler için standart BO_İ₅ değerleri (SKKY Tablo 10.7) sırasıyla; 100 ve 80 mg BO_İ₅/l'dir [48]. Aydın Örme tekstil endüstrisine ait atıksu arıtma tesisi akım şeması aşağıda verilmiştir.



Şekil 6.2 Aydın Örme tekstil endüstrisine ait atıksu arıtma tesisi akım şeması

6.3 Substrat (Besi Maddesi) Giderme Kinetiği

6.3.1 Teorik yaklaşım

Doldurma fazı sonunda kalan substrat konsantrasyonu, hacmin ve doldurma süresince uzaklaştırılan substratin kinetik ifadesinin değişken bir fonksiyonudur [53]. Bu fonksiyonu formüle etmek için doldurma sürecindeki kütte değişimini eşitliği yazılırsa [50];

$$\text{Giren} - \text{Çıkan} + \text{Üretilen} = \text{Biriken}$$

$$QS_0 - 0 + r_{sf}V = \frac{d}{dt}(VS) \quad (6.1)$$

Burada; r_{sf} , doldurma süresi içerisinde alınan substratin oranını ifade eder.

$$r_{sf} = -kS \quad (6.2)$$

(6.2) eşitliğini (6.1)'de yerine koyarak,

$$QS_0 - kSV = S \frac{dV}{dt} + V \frac{dS}{dt} \quad (6.3)$$

$dV/dt = Q$ eşitliği kullanılarak, eşitliğin her iki tarafı V ile bölünürse;

$$\frac{dS}{dt} + \frac{Q}{V}S + kS = \frac{Q}{V}S_0 \quad (6.4)$$

$Q/V = 1/t$. Doldurma süreci başında reaktör içindeki hacim V_a ve $t = V_a/Q$; doldurma süreci sonunda $t = V_b/Q$. Yukarıdaki diferansiyel denklem çözülürse;

$$\frac{dS}{dt} + \frac{S}{t} + kS = \frac{S_0}{t} \quad (6.5)$$

olur. Denklem çözüldüğü zaman;

$$S = e^{-\int \left(\frac{1}{t} + k\right) dt} \int \frac{S_0}{t} e^{-\int \left(\frac{1}{t} + k\right) dt} dt + Ce^{-\int \left(\frac{1}{t} + k\right) dt} \quad (6.6)$$

elde edilir. Burada, C integral sabitidir.

$$S = \frac{S_0}{t} e^{-kt} \int e^{kt} dt + \frac{C}{t} e^{-kt} \quad (6.7)$$

integrali alınarak;

$$S = \frac{S_0}{kt} + \frac{C}{t} e^{-kt} \quad (6.8)$$

Başlangıç şartını kullanarak $t = V_a / Q$ ve $S = S_e$.

$$S_e = \frac{S_0 Q}{k V_a} + \frac{C Q}{V_a} e^{-k \left(\frac{V_a}{Q} \right)} \quad (6.9)$$

$$C = \left(\frac{V_a}{Q} S_e - \frac{S_0}{k} \right) e^{-k \left(\frac{V_a}{Q} \right)} \quad (6.10)$$

Burada C değeri denklemde yerine konulursa,

$$S = \frac{S_0}{kt} + \left(\frac{V_a}{Q} S_e - \frac{S_0}{k} \right) \frac{1}{t} e^{-k \left(\frac{V_a}{Q} - t \right)} \quad (6.11)$$

$t_f = \frac{V_b}{Q}$ ve $S = S_f$ eşitlikleri kullanılarak doldurma süreci sonundaki substrat konsantrasyonu bulunur;

$$S_f = \frac{S_0 Q}{k V_b} + \left(\frac{V_a}{Q} S_e - \frac{S_0}{k} \right) \frac{Q}{V_b} e^{k \left(\frac{V_a}{Q} - \frac{V_b}{Q} \right)} \text{ veya}$$

$$S_f = \frac{S_0 Q}{k V_b} + \left(\frac{V_a}{V_b} S_e - \frac{Q S_0}{V_b k} \right) e^{k \left(\frac{-V_{ab}}{Q} \right)} \quad (6.12)$$

Reaksiyon süresi (t_r) boyunca alınan substratın hesap edilmesi, direkt olarak integralinin alınması ile olur, (6.2) eşitliğinden,

$$\frac{dS}{dt} = -kS \quad (6.13)$$

$$\int_{S_f}^{S_e} \frac{dS}{S} = -k \int_0^{t_r} dt \text{ veya}$$

$$S_e = S_f e^{-kt_r} \quad (6.14)$$

Burada,

S_f , doldurma sürecinin sonundaki substrat konsantrasyonu.

S_e , reaksiyon sürecinin sonundaki substrat konsantrasyonu.

Bir komple devir sırasıyla; doldurma, reaksiyon, çökelme, boşaltma, bekleme safhalarından oluşur [58].

$$t_c = t_f + t_r + t_s + t_d + t_i \quad (6.15)$$

Burada, c, f, r, s, d ve i harfleri sırayla devir, doldurma, reaksiyon, çökelme, boşaltma ve bekleme safhalarını ifade eder.

AKR sistemi içerisinde her bir reaktörün doldurma zamanı (t_f) reaktörün mevcut hacmine bağlıdır. Mevcut hacim ifadesi ile, reaktörün toplam hacminden; bir önceki

devirden sonra reaktör içine çökelen çamurun işgal ettiği hacmin çıkarılması ile elde edilen hacim olduğu anlaşılmalıdır. Denklem olarak ifade edilirse [53];

$$V_{ab} = \alpha V_b \quad (6.16)$$

$$t_f = \frac{V_{ab}}{Q} = \frac{\alpha \cdot V_b}{Q} \quad (6.17)$$

Burada,

Q , doldurma sürecindeki akış debisi.

α , doldurma peryodu başlamadan önce kesikli reaktörün aktif hacminin, boşken (toplam) reaktör hacmine oranı.

V_b , kesikli reaktörün boşken (toplam) hacmi.

V_{ab} , kesikli reaktörün doldurma süreci başlamadan önceki aktif hacmi.

6.3.2 Substrat konsantrasyonlarının hesabı

Girişte BOİ₅ = 350 mg/l

Cıkışta BOİ₅ = 40 mg/l

AKM = 4600 mg/l, KMM = 0,03 kg/l, SVI = 150 ml/gr

θ_H = 4 saat (hidrolik bekleme zamanı)

Büyüme sabitleri; $Y = 0,6 \text{ mgAKM/mg}$, $K_s = 50 \text{ mg/l}$, $k = 5 \text{ gün}^{-1} = 0,21 \text{ saat}^{-1}$,

$b = k_d = 0,06 \text{ gün}^{-1}$

Sıvı içerisinde muhafaza edilmesi gereklili minimum oksijen konsantrasyonu 1 mg/l

Tesise gelen toplam atık su miktarı $Q_t = 1400 \text{ m}^3/\text{gün} = 60 \text{ m}^3/\text{saat}$

Havalandırma havuzlarının toplam hacmi $V_t = 2858 \text{ m}^3$, derinliği $h = 3,5 \text{ m}$, havuzlar kare planlı ve 3 adettir.

$V_B = 955 \text{ m}^3$ (kesikli reaktörün boşken hacmi)

$V_{BA} = 160 \text{ m}^3$ (doldurma süreci başlamadan önceki mevcut hacim)

Havuzlara aynı karakterde atıksu geldiğinden ve üç'üne de uygulanan işlem aynı olduğundan, biri için yapılan hesaplar diğerleri için de geçerlidir. Bütün hesaplar tek havuz için yapılacaktır.

Reaksiyon süresi sonundaki substrat konsantrasyonu;

$$S_e = 40 \text{ mg/l}'\text{dir.}$$

$$k = 5 \text{ gün}^{-1} = 0,21 \text{ saat}^{-1} \text{ olarak verilmiştir.}$$

Sisteme giren atıksu debisi $Q=60 \text{ m}^3/\text{saat}'\text{dir.}$

Veriler (6.12) nolu denklemde uygulandığı zaman;

$$S_f = \frac{350 \text{ mg/l} * 60 \text{ m}^3 / \text{saat}}{0,21 \text{ saat}^{-1} * 955 \text{ m}^3} + \left(\frac{500 \text{ m}^3}{955 \text{ m}^3} * 40 \text{ mg/l} - \frac{60 \text{ m}^3 / \text{saat} * 350 \text{ mg/l}}{955 \text{ m}^3 * 0,21 \text{ saat}^{-1}} \right) e^{0,21 \text{ saat}^{-1} \left(\frac{-160 \text{ m}^3}{60 \text{ m}^3 / \text{saat}} \right)}$$

$$S_f = 56,9 \text{ mg/l}$$

S_e ise (6.14) nolu denklem kullanılarak ve reaksiyon fazı süresi 1,5 saat olarak kabul edilerek;

$$S_e = 56,9 \text{ mg/l} * e^{-0,21 \text{ saat}^{-1} * 1,5 \text{ saat}} = 41,5 \text{ mg/l} \text{ bulunur.}$$

Doldurma sürecinde elde edilen substrat reaksiyon sürecinde elde edilen substrat miktarından daha fazla olmalıdır ($S_f > S_e$). Bulmuş olduğum değerler bu şartı sağlamaktadır.

Aynı debide reaksiyon süresinin 2 saat olarak kabul edilmesi ile yapılan hesaplama;

$$S_f = 56,9 \text{ mg/l}$$

$$S_e = 56,9 \text{ mg/l} * e^{-0,21 \text{ saat}^{-1} * 2 \text{ saat}} = 37,4 \text{ mg/l}$$

$(S_f > S_e)$ şartını sağlıyor.

Aynı debide reaksiyon süresinin 2,5 saat olarak kabul edilmesi ile yapılan hesaplamada;

$$S_f = 56,9 \text{ mg/l}$$

$$S_e = 56,9 \text{ mg/l} * e^{-0,21 \text{ saat}^{-1} * 2,5 \text{ saat}} = 33,6 \text{ mg/l}$$

$(S_f > S_e)$ şartını sağlıyor.

Aynı debide reaksiyon süresinin 3 saat olarak kabul edilmesi ile yapılan hesaplamada;

$$S_f = 56,9 \text{ mg/l}$$

$$S_e = 56,9 \text{ mg/l} * e^{-0,21 \text{ saat}^{-1} * 3 \text{ saat}} = 30,3 \text{ mg/l}$$

$(S_f > S_e)$ şartını sağlıyor.

Aynı debide reaksiyon süresinin 3,5 saat olarak kabul edilmesi ile yapılan hesaplamada;

$$S_f = 56,9 \text{ mg/l}$$

$$S_e = 56,9 \text{ mg/l} * e^{-0,21 \text{ saat}^{-1} * 3,5 \text{ saat}} = 27,2 \text{ mg/l}$$

$(S_f > S_e)$ şartını sağlıyor.

Atıksu debisinin değişmesi durumunda elde edilen S_f (mg/l) ve S_e (mg/l) konsantrasyonları Tablo 6.1'de verilmiştir.

Tablo 6.1 Değişik atıksu debilerinde elde edilen S_f (mg/l) ve S_e (mg/l) konsantrasyonları

6.3.3 Sonuçlar ve tartışma

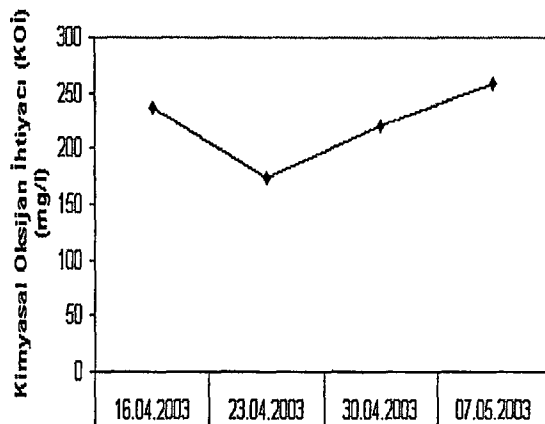
Aydın Örme tekstil endüstrisi atıksu arıtma tesisi çıkış değerleri Tablo 6.2'de verilmiştir.

Tablo 6.2 Aydın Örme tekstil endüstrisi atıksu arıtma tesisi çıkış değerleri

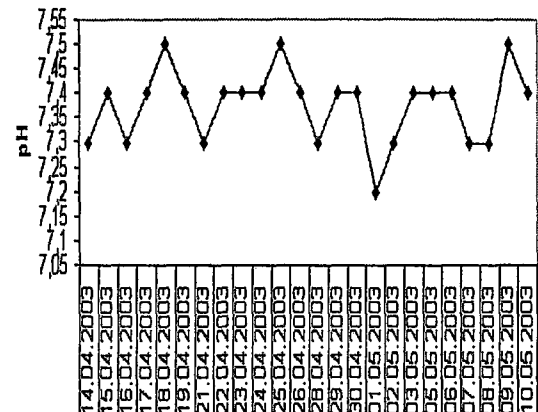
| İşletme Parametreleri | 16.04.2003 | 23.04.2003 | 30.04.2003 | 07.05.2003 | Yönetmelik Standart Değerleri SKKY (Tablo:10.7) |
|--|------------|------------|------------|------------|---|
| Biyokimyasal Oksijen İhtiyacı (BOI_3) (mg/l) | 59 | 44 | 55 | 65 | 100 |
| Kimyasal Oksijen İhtiyacı ($KOİ$) (mg/l) | 237.3 | 174.3 | 221 | 259 | 400 |
| Sülfür (S^{2-}) (mg/l) | - | - | - | - | 0.1 |
| Fenol (C_6H_5OH) (mg/l) | 1.52 | 0.54 | 0.53 | 0.68 | 1 |
| Çinko (Zn) (mg/l) | 1.27 | 1.17 | 1.53 | 1.5 | 12 |
| Balık Biyodeneyi (ZSF) | - | - | - | - | 3 |
| pH | 7.3 | 7.4 | 7.3 | 7.2 | 6-9 |

Atıksu arıtma tesisi Kimyasal Oksijen İhtiyacı ($KOİ$) (mg/l) çıkış değerleri Şekil 6.3'de gösterilmiştir. Üç adet ardışık kesikli reaktör çıkış suyu $KOİ$ değerleri 150-332 mg/l arasında değişmektedir. Şekil 6.3'de verilen değerler, aynı tarihte ölçülmüş üç adet havuzun ortalama $KOİ$ değerleridir. Tüm ölçümelerin ortalama $KOİ$ değeri 223 mg/l olarak hesaplanmıştır. Atıksu arıtma tesisi pH çıkış değerleri Şekil 6.4'de gösterilmiştir. Üç adet ardışık kesikli reaktör çıkış suyu pH 7.1-7.9 değerleri arasında değişmektedir. Şekil 6.4'de verilen değerler, aynı tarihte ölçülmüş üç adet havuzun ortalama pH değerleridir.

Aydın Örme tekstil endüstrisi atıksu arıtma tesisi işletme parametreleri Tablo 6.3'de verilmiştir. Atıksu arıtma tesisi Çamur Hacim İndeksi (SVI) (ml/g) değerleri Şekil 6.5'de gösterilmiştir. Üç adet ardışık kesikli reaktör (SVI) değerleri 144-200 ml/g arasında değişmektedir. Şekil 6.5'de verilen değerler, aynı tarihte ölçülmüş üç adet havuzun ortalama SVI değerleridir. Atıksu arıtma tesisi hücre konsantrasyonu (AKM) (mg/l) değerleri Şekil 6.6'da gösterilmiştir. Üç adet ardışık kesikli reaktör AKM 3460-5300 mg/l arasında değişmektedir. Şekil 6.6'da verilen değerler, aynı tarihte ölçülmüş üç adet havuzun ortalama AKM değerleridir.



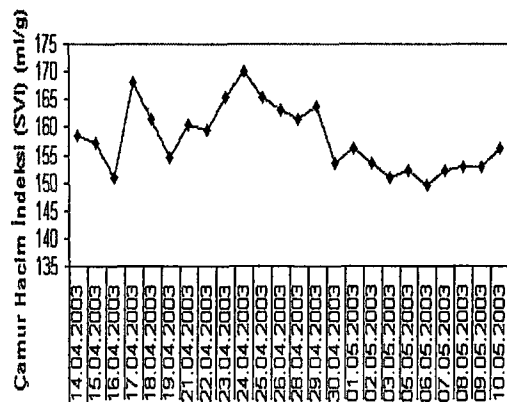
Şekil 6.3 Atıksu arıtma tesisi Kimyasal Oksijen İhtiyacı (KOİ) (mg/l) değerleri



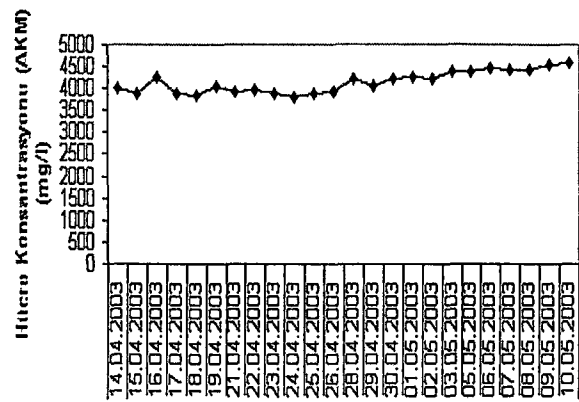
Şekil 6.4 Atıksu arıtma tesisi pH çıkış değerleri

Tablo 6.3 Aydın Örme tekstil endüstrisi atıksu arıtma tesisi işletme parametreleri

| İşletme Parametreleri | 14.04.2003- 19.04.2003 | | 21.04.2003- 26.04.2003 | | 28.04.2003- 03.05.2003 | | 05.05.2003- 10.05.2003 | | Tavsiye Edilen Değerler |
|-----------------------------------|---------------------------|----------------|---------------------------|----------------|---------------------------|----------------|---------------------------|----------------|-------------------------|
| | Aralık değer | Ortalama değer | Aralık değer | Ortalama değer | Aralık değer | Ortalama değer | Aralık değer | Ortalama değer | |
| Çözünmüş Oksijen (Ç.O) (mg/l) | 1-3 | 2 | 1-3 | 2 | 1-3 | 2 | 1-3 | 2 | 1-3 |
| Çamur Hacim İndeksi (SVI) (ml/g) | 147- 200 | 159 | 147- 183 | 164 | 144- 172 | 157 | 148- 160 | 153 | 100-150 |
| Hücre konsantrasyonu (AKM) (mg/l) | 3460- 4600 | 3990.5 | 3550- 4090 | 3897.2 | 3920- 4900 | 4223 | 3820- 5300 | 4466.6 | 3000- 6000 |



Şekil 6.5 Atıksu arıtma tesisi Çamur Hacim İndeksi (SVI) (ml/g) değerleri



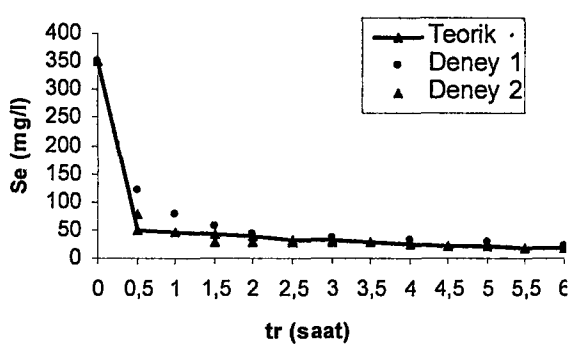
Şekil 6.6 Atıksu arıtma tesisi hücre konsantrasyonu (AKM) (mg/l) değerleri

Burada, Aydın Örme tekstil endüstrisi atıksu arıtma tesisi ait S_0 , Q , V_b , V_a , V_{ab} , S_e parametrelerinin ortalama değerleri belirlenmiş ve (6.12) denkleminden doldurma sürecinin sonundaki substrat konsantrasyonu (S_f) elde edilmiştir. Elde edilen değerler doğrultusunda (6.14) denkleminde farklı reaksiyon süreleri (t_r) uygulanarak çıkış suyu (S_e) konsantrasyonları elde edilmiştir. Bulunan sonuçların; AKR çıkış suyunun (S_e), reaksiyon süresi (t_r) ile değişimine etkisi, grafiklere aktarılmıştır. Çalışılan tekstil endüstrisi atıksuyunun, çıkış BOI₅ konsantrasyonu (S_e) kinetiginin literatürden seçilerek adapte edilen teorik Ardışık Kesikli Reaktör (AKR, SBR) kinetiği ile uyumunu anlayabilmek amacıyla, 3 adet kinetik deneyi çalışması mevcut tesiste yapılmıştır. Deney 1 ve Deney 2'de başlangıç substrat konsantrasyonu (S_0) 350 mg BOI₅/l iken, Deney 3'de bu değer 2700 mg BOI₅/l'dir. Bu çalışmalarla ait veriler Tablo 6.4'de verilmiştir. Bu değerlere dayanılarak üretilen grafikler ise Şekil 6.7 ve Şekil 6.8'de gösterilmiştir. Doldurma ve reaksiyon süreçlerindeki substrat konsantrasyonuna (S_f ve S_e), reaksiyon zamanının ve giren atıksu debisinin etkileri Şekil 6.9 ve Şekil 6.10'da verilmiştir.

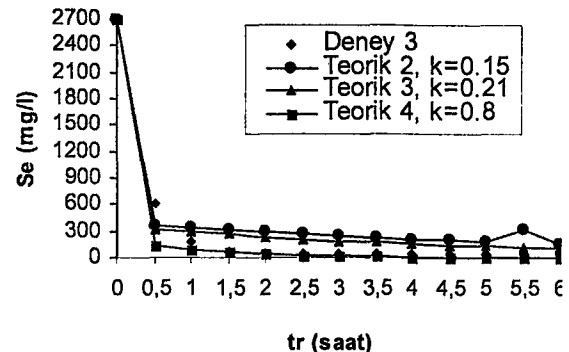
Tablo 6.4 Tekstil endüstrisi atıksuyunun çıkış BOI₅ konsantrasyonu (S_e) kinetiğinin deneyel ve teorik karşılaştırılması

| | k=0.21 saat ⁻¹ S _f =56.9 mg/l | | | k=0.15 saat ⁻¹ S _f =386.9 mg/l | k=0.21 saat ⁻¹ S _f =358.5 mg/l | k=0.8 saat ⁻¹ S _f =189.5 mg/l | |
|-----------------------|--|-----------|-----------|---|---|--|-----------|
| t _r (saat) | Teorik 1 | Deney 1 | Deney 2 | Teorik 2 | Teorik 3 | Teorik 4 | Deney 3 |
| | Se (mg/l) | Se (mg/l) | Se (mg/l) | Se (mg/l) | Se (mg/l) | Se (mg/l) | Se (mg/l) |
| 0 | 350 | 350 | 350 | 2700 | 2700 | 2700 | 2700 |
| 0.5 | 51.2 | 121 | 79 | 359.3 | 322.8 | 127 | 600 |
| 1 | 46.1 | 79 | 45 | 333.4 | 290.5 | 85.2 | 172 |
| 1.5 | 41.5 | 55 | 30 | 309.3 | 261.6 | 57.1 | 59 |
| 2 | 37.4 | 44 | 29 | 287 | 235.5 | 38.3 | 55 |
| 2.5 | 33.6 | - | 28 | 266 | 212 | 25.7 | 54 |
| 3 | 30.3 | 36 | 27 | 247 | 191 | 17.2 | 50 |
| 3.5 | 27.2 | - | - | 228.9 | 172 | 11.5 | - |
| 4 | 24.6 | 32 | 26 | 212.4 | 154.7 | 7.7 | 53 |
| 4.5 | 22.1 | - | - | 197 | 139.4 | 5.2 | - |
| 5 | 19.9 | 30 | 25 | 182.7 | 125.4 | 3.5 | 52 |
| 5.5 | 17.9 | - | - | 319.2 | 113 | 2.3 | - |
| 6 | 16.1 | 23 | 20 | 157.3 | 101.7 | 1.5 | 50 |

Çalışma alanı olarak seçilen Sakarya ili, Akyazı ilçesinde faaliyet gösteren Aydın Örme San. ve Tic. A.Ş.'ne ait atıksuların ardışık kesikli reaktör ile 1.5 saatlik reaksiyon süresi ve 1.5 saatlik çökelme süresi sonucunda çıkış suyu BOI₅ konsantrasyonu (S_e) ortalamalarının yaklaşık 43 mg BOI₅/l olduğu tespit edilmiştir. 2 saatlik ve 24 saatlik kompozit numuneler için standart BOI₅ değerleri (SKKY Tablo 10.7) sırası ile, 100 ve 80 mg BOI₅/l'dir. t_r=1.5 saat'lik süre içerisinde standart değerler sağlandığından dolayı, uygulamada reaksiyon süresinin 1.5 saat seçilmesinin uygun olduğu görülmüştür. 1.5 saat reaksiyon süresi; 1.5 saat çökelme süresi; 1 saat boşaltma süresi olmak üzere toplam 4 saatlik bir seans zamanı seçilmiştir. Bu durumda sistem içinde 6 seans olarak çalıştırılmaktadır. Her seanstada ortalama 160 m³ atıksu arıtmak suretiyle, 6 seanstada toplam 960 m³/gün atıksu bir ardışık kesikli reaktörde arıtılmaktadır.



Şekil 6.7 Tekstil endüstrisi atıksuyunun, çıkış BOI_5 konsantrasyonu (S_e) kinetiğinin deneysel ve teorik karşılaştırılması ($S_o=350 \text{ mg/l}$, $Q=60 \text{ m}^3/\text{saat}$, $k=0.21 \text{ saat}^{-1}$, $V_b=955 \text{ m}^3$, $V_{ab}=160 \text{ m}^3$, $V_a=500 \text{ m}^3$, $S_f=56.9 \text{ mg/l}$)



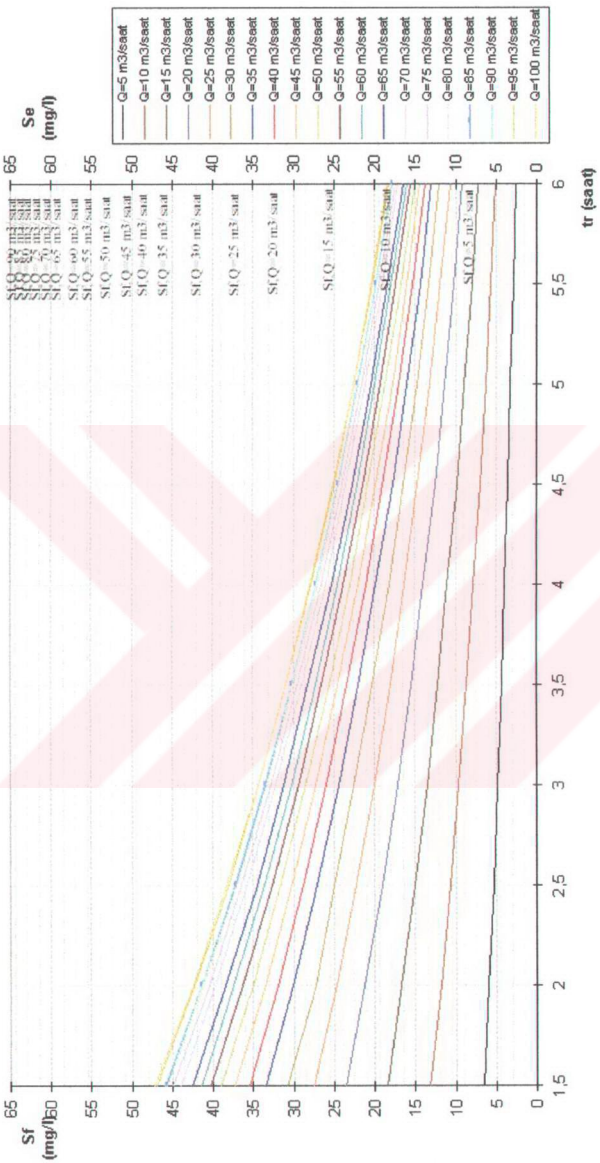
Şekil 6.8 Tekstil endüstrisi atıksuyunun, çıkış BOI_5 konsantrasyonu (S_e) kinetiğine reaksiyon sabiti (k)ının etkisi ($S_o=2700 \text{ mg/l}$, $Q=60 \text{ m}^3/\text{saat}$, $V_b=955 \text{ m}^3$, $V_{ab}=160 \text{ m}^3$, $V_a=500 \text{ m}^3$)

Teorik çalışmada ($S_o=350 \text{ mg/l}$, $k=0.21 \text{ saat}^{-1}$) ise, ardışık kesikli reaktörün kinetikini temsil edecek şekilde oluşturulan teorik denklemden aynı reaksiyon süresi ($t_r=1.5$ saat) için elde edilen BOI_5 değeri $41.5 \text{ mg BOI}_5/\text{l}$ bulunmuştur. Faaliyette olan sistemin BOI_5 değeri ($43 \text{ mg BOI}_5/\text{l}$) ile teorik denklemden elde edilen BOI_5 değerinin ($41.5 \text{ mg BOI}_5/\text{l}$) birbirlerine yakın olduğu gözlemlenmektedir. Diğer bir teorik çalışmada ise ($S_o=2700 \text{ mg/l}$, $k=0.8 \text{ sa}^{-1}$), ardışık kesikli reaktörün kinetikini temsil edecek şekilde oluşturulan teorik denklemden aynı reaksiyon süresi ($t_r=1.5$ saat) için elde edilen BOI_5 değeri $57.1 \text{ mg BOI}_5/\text{l}$ bulunmuştur. Faaliyette olan sistemin BOI_5 değeri ($59 \text{ mg BOI}_5/\text{l}$) ile teorik denklemden elde edilen BOI_5 değerinin ($57.1 \text{ mg BOI}_5/\text{l}$) birbirlerine yakın olduğu gözlemlenmektedir.

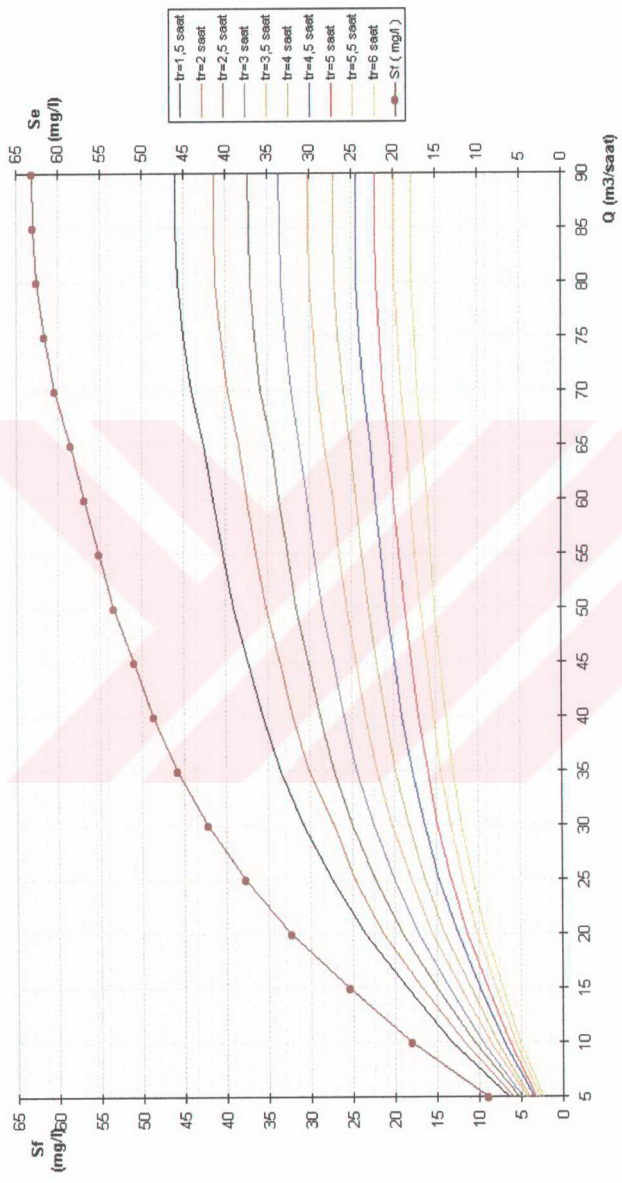
Şekil 6.9 ve Şekil 6.10'u incelediğimizde ise; reaksiyon zamanının artması ile bu sürecin sonundaki substrat konsantrasyonunun azaldığı, fakat doldurma süreci sonundaki substrat konsantrasyonunun sabit kaldığı görülmektedir. Giren atıksu debisinin bu tesis için $5 \text{ m}^3/\text{saat}$ ile $100 \text{ m}^3/\text{saat}$ arasında değişmesi halinde reaksiyon zamanının artması ile substrat konsantrasyonunun azalma hızı ve miktarı birbirine yakın değerlerde seyretmekte ancak bilhassa $10 \text{ m}^3/\text{saat}$ 'ın altındaki bir giriş atıksu debisinde reaksiyon zamanının artması ile birlikte substrat konsantrasyonunun azalma hızı aynı davranışını göstermesine rağmen konsantrasyon değeri olarak hızla azalmaktadır.

Şekil 6.10'dan da görüldüğü gibi giren atıksu debisinin artması ile doldurma fazı sonundaki substrat konsantrasyonu artmakta ve $80 \text{ m}^3/\text{saat}$ ile $85 \text{ m}^3/\text{saat}$ arasında yaklaşık olarak $84 \text{ m}^3/\text{saat}$ değerinde doldurma süreci sonundaki substrat konsantrasyonu maksimum noktaya ulaşmaktadır. Bu değerden sonra bir sabitlik görülür. Aynı şekilde reaksiyon fazı sonundaki substrat konsantrasyonu yaklaşık $84 \text{ m}^3/\text{saat}$ değerinde maksimum noktaya ulaşmakta ve değişik reaksiyon zamanları için aynı davranışını göstermektedir.

Sonuç olarak, ardışık kesikli reaktörün (AKR, SBR), tekstil endüstrisi atıksularının arıtımında ve teorik çalışmada kullanılan denklemin de ardışık kesikli reaktör kinetiğini temsil etmede kullanılabileceği görülmektedir.



Sekil 6.9 Doldurma sürecindeki ve reaksiyon sürecindeki substrat konsantrasyonuna, reaksiyon zamanının etkisi



Şekil 6.10 Doldurma sürecindeki ve reaksiyon sürecindeki substrat konsantrasyonuna, giren atıksu debisinin etkisi

6.4 Çökelme Kinetiği

Çevre mühendisliği uygulamalarında, bazı su ve atıksularda bulunan katı tanecikler, birbirinden farklı özellikler içerebilmektedir. Bu taneciklerin bazıları elektrostatik yük içerirken bazıları içermemekte ve bazı tanecikler de diğer taneciklere nazaran daha fazla Vander Walls Kuvvetine sahip olabilmektedir. Bu tür taneciklerin bulunduğu su ortamında tanecikler arası kuvvetler diğer taneciklerin çökelmesini çeşitli şekillerde engelleyebilir. Ancak bu parçacıklar birbirine göre sabit pozisyonlarda kalmakta ve tanecik kütlesi bir birim halinde çökelmektedir. Çökelen kütlenin üzerinde ise, bir katı-sıvı ara fazı oluşturmaktadır [54].

6.4.1 Engelli çökelme

Bu çökelme türüne, biyolojik çökelme (son çöktürme) biriminde rastlanır. Yapılan literatür çalışması [54,56] sonucunda da AKR sistemlerindeki çökelme kinetığının genel olarak engelli çökelme kinetiğine uyabileceğini düşünülmektedir.

Bu çökelme türünde, partikül maddelerin çökelmesi Stokes Kanunları (Hazen ve Newton) ile ifade edilir.

$$V = \frac{1}{18} * \frac{g}{\gamma} \left(\frac{\rho_d}{\rho} - 1 \right) d^2 \quad (6.18)$$

V = mutlak çökelme hızı

g = yerçekimi ivmesi

γ = kinematik vizkozite, su için $0,01 \text{ cm}^2/\text{dak}$

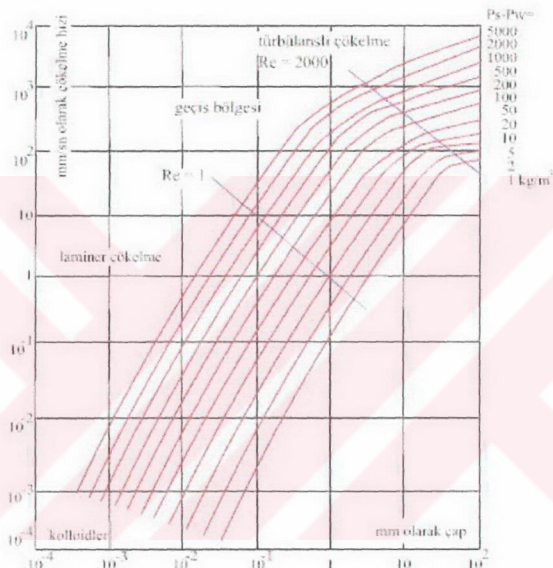
ρ_d = partikül yoğunluğu

ρ = sıvının yoğunluğu, su için 1.0 g/cm^3

d = partikül çapı

Bu kanun partikülün etrafındaki sıvı akışının laminer olduğu durumlarda geçerlidir. Ayrıca bu kanun sadece sıvı fazının sabit olduğu durumlar için geçerlidir. Bu nedenle o mutlak çökelme hızını verir. Aktif çamur durumunda, çökelen floklar tankın

dibinden yukarıda doğru eşit su hacimlerini çıkarırlar. Çökelen katı akışının yanında, çamurun çökmesini engelleyen yükselen bir sıvı akışı vardır. Bu özellikle, yüksek çamur seviyesi ve büyük çamur flokları durumunda bu şekildedir. Şekil 6.11'de [54] 10°C 'de küresel tanecikler için yoğunluk farkı, tane boyutu ve çökelme hızı arasındaki ilişkiler verilmiştir.



Şekil 6.11 10°C 'de küresel tanecikler için yoğunluk farkı, tane boyutu ve çökelme hızları arasındaki ilişki [54]

Şekil 6.11 [54] bütün olayları şematize eder. Lineer çökelme periyodu, başlangıç konsantrasyonundaki çamurun çökebilirliği için örnek olarak alınır.

$$\text{Etkili çökme; } V_e = V - V_w \quad (6.19)$$

denklemiyle ifade edilir.

V_e = etkin çökelme hızı

V = mutlak çökme hızı

V_w = suyun artan çökelme hızı

V_w , hacimsel çamur konsantrasyonunun bir fonksiyonu olduğundan dolayı yukarıda verilen denkleme dönüştürülebilir.

$$V_e = V(1 - \gamma \delta^{2/3}) \quad (6.20)$$

δ = hacim/hacim olarak ifade edilmiş çamur konsantrasyonu

γ = biçim faktörü

γ değerleri;

Turbulanslı çökelme, Küresel tanecikler için; $\gamma = 1,2$

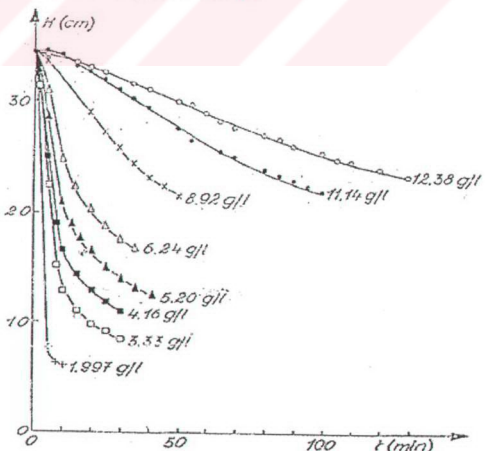
Kum taneleri için; $\gamma = 1,4$

Laminer çökelme, Küresel tanecikler için; $\gamma = 2,0$

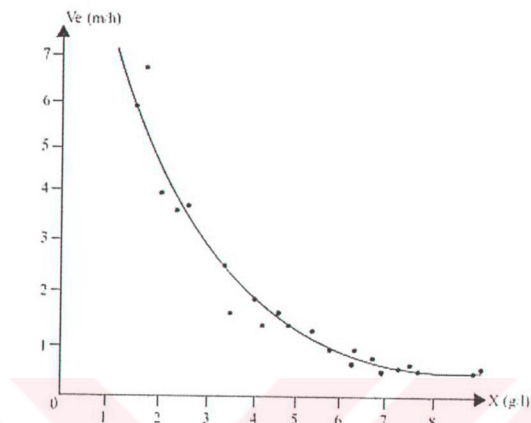
Kırmızı kan hücreleri için; $\gamma = 2,5$

Kireç ve şap çamurları için; $\gamma = 2,8$ [54].

δ 'nın ölçülmesi kolay değildir. Bu sebepten $V_e = f(x)$ ilişkisi deneyel olaraq belirlenir. Artan çamur konsantrasyonu bir çökme silindirleri serisi kurulur. Normal olarak, çöken çamur ve supernatant arasında belirgin bir ara faz oluşur. Zamanın bir fonksiyonu olarak bu ara fazın yüksekliğinin takip edilmesiyle Şekil 6.12'de [56] verilmiş olan statik çökelme eğrisi belirlenir.



Şekil 6.12 Süt endüstrisi atıksuyundan gelen farklı aktif çamur konsantrasyonları için statik çökelme eğrileri [56]



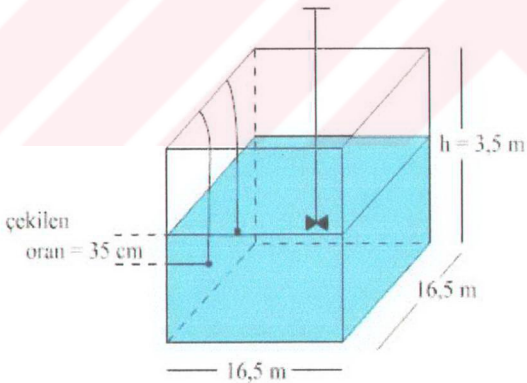
Şekil 6.13 Kanalizasyon aktif çamuru için çamur konsantrasyonu ve çökelme hızı arasındaki ilişki [56]

BÖLÜM 7. TEKSTİL ENDÜSTRİSİ ATIKSULARINDAKİ RENK SORUNUNUN İLERİ AKTİF ÇAMURLU ARDIŞIK KESİKLİ BİYOREAKTÖR İLE GİDERİLMESİ

7.1 Deneysel Tasarım

7.1.1 Ardişik kesikli biyoreaktörün boyutlandırılması

Deneylerde kullanılan ardişik kesikli biyoreaktörün boyutlandırılmasında Aydin Örme San. ve Tic. A.Ş. atıksu arıtma tesisi havalandırma havuz boyutları esas alınmıştır.



Şekil 7.1 Aydin Örme San. ve Tic. A.Ş. atıksu arıtma tesisi havalandırma havuzu şematik gösterimi

Tesiste bulunan havalandırma havuzlarındaki sensörler sayesinde çekilen su miktarı 35 cm düşmeyi sağlayacak şekilde ayarlanmıştır. Su seviyesi 35 cm alçaldığında

boşaltım durdurulur. Bu miktar havuz yüksekliğine oranlanarak 0,1 değeri elde edildi. Havuzun toplam hacmi;

$$V_{ger} = 16,5 * 16,5 * 3,5 = 953 m^3$$

Buradan deney reaktörünün hacmi;

$$V_{lab} = 953 * \frac{1}{100} = 9,53 m^3 = 9530 cm^3 \text{ elde edilir}$$

Orijinal havuz boyutu 1/100,000 ölçüğünde küçültülerek laboratuar düzeneğinin boyutları elde edilmiştir.

Deney reaktörünün yüksekliği başta $h = 10$ cm kabul edilerek;

$$V_{lab} = h * a * a \quad (7.1)$$

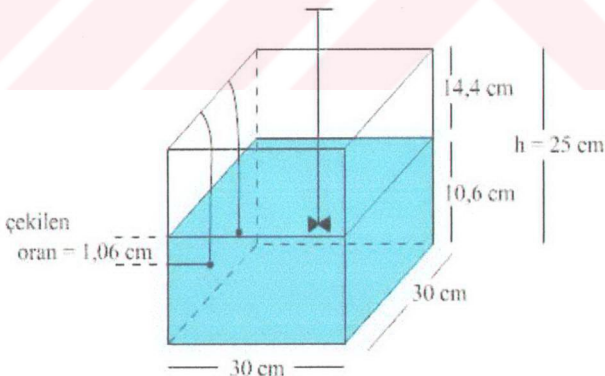
$$9530 cm^3 = 10 * a^2$$

$$a = 30,8 cm = 30 cm$$

$$9530 cm^3 = 30 * 30 * h$$

$$h = 10,6 cm \text{ elde edilir.}$$

Reaktörde 14,4 cm hava payı bırakılmıştır.



Şekil 7.2 Deneylerde kullanılan ardisık kesikli biyoreaktör düzeneği şematik gösterimi

Deney düzeneğinde arıtilacak ham su miktarı, tesisteki 0,1 çekilen oran doğrultusunda;

$$9530\text{cm}^3 * 0,1 = 953\text{cm}^3$$

Aktif çamur miktarı ise;

$$9530\text{cm}^3 - 953\text{cm}^3 = 8577\text{cm}^3$$

7.1.2 Ardışık kesikli biyoreaktör ile yapılan çalışmalar

Deneysel çalışmalarında kullanılan atıksu Aydin Örme San. ve Tic. A.Ş. atıksu arıtma tesisinden temin edilmiştir. Yapılan deneylerde; 8577 cm^3 aktif çamur Aydin Örme San. ve Tic. A.Ş. atıksu arıtma tesisi havalandırma havuzundan ve 953 cm^3 atıksuda havalandırma havuzu girişinden alınarak laboratuar ortamındaki reaktöre konulmuştur. Reaktördeki toplam sıvı yüksekliği $10,6\text{ cm}$ 'dir. İlk olarak hücre ilave edilmeden bir deney yapılmış ve pilot tesise ait arıtma verimi ile deney düzeneğinin arıtma verimleri karşılaştırılmıştır. Daha sonra üç farklı canlı beyaz çürükçül mantar türü (fungus) tesisten alınmış aktif çamura eklenerek İleri Aktif Çamur elde edilmiş ve yapılan deneylerle renk giderimi çalışması yapılmıştır. İlave edilen fungusların miktarı, $100\text{ ml}'ye 1\text{ ml}$ hücre ilavesi kabul edilerek, toplam $9530\text{ ml}'lik$ hacme $95,3\text{ ml}$ hücre ilave edilmiştir. Yapılan deneylerde $1,5$ saat karıştırma ve $1,5$ saat çökelme süreci sonunda reaktörden $1,06\text{ cm}'lik$ düşmeye sağlanacak şekilde peristaltik pompa ile su çekilmiştir. Çekilen su miktarı $0,96\text{ ml}'dir$. Çökelme süreci tamamlandıktan sonra kinetik çalışmaları için $5, 10, 20, 30, 60, 120, 240$ ve 1600 dakika sürelerle reaktörden numuneler alınmıştır. Alınan numuneler 1 saat boyunca santrifüjde tutulmuş ve 1 saat süreyle de ince partiküllerin çökelmesi için beklenmiştir. Daha sonra numunelerin renk absorbansları $436, 525$ ve 620 nm değerlerinde ölçülmüştür.



Şekil 7.3 Deneylerde kullanılan ardışık kesikli reaktör düzeneği

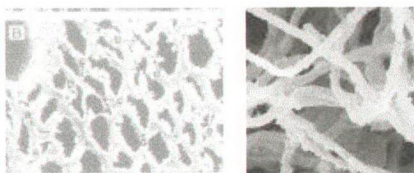
7.2 Deneylerde Kullanılan Funguslar

Deneysel çalışmalarında kullanılan Basidiomycetes sınıfına dahil olan beyaz çürükçül fungslardan *Phanerochaete chrysosporium*, *trametes versicolor* ve *pleurotus sajor-caju* Fatih Üniversitesi, Biyoloji Bölümü tarafından sağlanmış olup Sakarya Üniversitesi Çevre Mühendisliği Bölümü laboratuarlarında korunmaktadır.

Phanerochaete chrysosporium; ağaçların dış yüzeyinde tabaka şeklinde yaşar. İçerdiği lignin-degradasyon enzimleri ile ağaçlardaki lignini yıkıp selluloz ve hemiselluloza zarar vererek ağaçların çürümesine sebep olur. *Phanerochaete* enzimleri, oksidasyon bileşiklerinin oluşmasını sağlar. Hidrojen peroksit (H_2O_2), kompleks lignin moleküllerine hücum ederek molekül yapısını bozar. *Phanerochaete* lignin yıkımı dışında kararlı, toksik bileşiklerin (DDT pestisiti gibi) yıkımında da kullanılmaktadır [55].



Şekil 7.4 *Phanerochaete chrysosporium*'un doğadaki fotoğrafı [58]



Şekil 7.5 *Phanerochaete chrysosporium*'un miselli yapısının mikro fotoğrafı (40 mikron) [57]

Trametes versicolor; ilkbahar ve sonbaharda ölü ve kurumak üzere olan ibreli ağaç kültürlerinde toplu şekilde çıkar. Yüzeyi ince tüylü ve değişik renk tonlarına sahip

konsantrik renkli halkalar yeşil, gri, mavi, kahverengi, sarı, pas sarısı kuşaklar kenarları krem veya beyaz renkli bir kuşakla çevrelenmiştir. Dünyada çok yaygın olup odun tahrıçisidir. Bu mantar bazen beyaz çürükçül etmen bazen de parazit olarak ağaçlar üzerinde görülür.



Şekil 7.6 *Trametes versicolor*'un doğadaki fotoğrafı [59, 60]

Pleurotus sajur-caju; büyümeye ortamı olarak atıksu arıtım sistemlerinde de kullanılan Su Sümbülü bitkisini tercih eder. Bu fungus türü, Su Sümbülü'nün doğal atıksu arıtım proseslerinde büyümeyesine izin verirken bir yandan da bu bitkileri kontrol altında tutar.



Şekil 7.7 *Pleurotus sajur-caju*'nun doğadaki fotoğrafı [61]

Boya giderimin de kullanılan çeşitli canlı fungal hücreler ile ilgili veriler Tablo 7.1'de verilmiştir [55].

Tablo 7.1 Boya giderimin de kullanılan çeşitli canlı fungal hücreler ile ilgili veriler [55]

| Kültür | Boya ve konsantrasyon | Boya giderimi yüzdesi/zaman | Mekanizma |
|--|--|-----------------------------|--------------------------------|
| <i>Acremonium sp.</i> | Kağıt endüstrisi atıkları | 44 | Biyodegradasyon |
| <i>Aspergillus foetidus</i> | Remazole Red (50 mg/l) | 98,4 (2 gün) | Biyosorsiyon |
| | Remazole Dark Blue HR (50 mg/l) | 99,2 (2 gün) | |
| | Remazole Brilliant Orange (50 mg/l) | 68,0 (2 gün) | |
| | Remazole Brown GK (50 mg/l) | 98,7 (2 gün) | |
| | Lignin (0,05 %) | 95 (2 gün) | Lignolitik proses |
| | Lignin (0,10 %) | 90 (2 gün) | |
| | Lignin (0,15%) | 90 (80 sa) | |
| | Black liquor (10*seyreltme) | 90 (2 gün) | Biyodegradasyon |
| | Alkali liquor (5*seyreltme) | 90 (2 gün) | |
| <i>A. niger</i> | Basic Blue 9 (50 mg/l) | 1,17 (2 gün) | Biyosorpsiyon |
| <i>A. niger</i> | Asid Blue 29 (50 mg/l) | 6,63 (30 sa) | Biyosorpsiyon |
| <i>A. niger</i> | Melas atıkları | 53 (3-4 gün) | Biyodegradasyon ve adsorpsiyon |
| <i>A. sojae B-10</i> | Amaranth (10 mg/l) | 97,8 (5 gün) | Belirtilmemiş |
| | Sudan III (10 mg/l) | 97,4 (5 gün) | Belirtilmemiş |
| | Congo Red (10 mg/l) | 93,0 (5 gün) | Belirtilmemiş |
| <i>Botrytis cinerea</i> | Reactive Blue 19 boyalı atık | 13 | Adsorpsiyon |
| | Sulfur Black 1 boyalı atık | 49,7 | |
| <i>Candida sp. (maya)</i> | Procyon Black (100 mg/l) | 93,8 (2 gün) | Adsorpsiyon |
| | Procyon Blue (100 mg/l) | 96,8 (2 gün) | |
| <i>Candida sp. (maya)</i> | Procyon Red (100 mg/l) | 98,9 (2 gün) | Adsorpsiyon |
| | Procyon Orange (100 mg/l) | 96,8 (2 gün) | |
| <i>C. rugosa (maya)</i> | Reactive Black 5 boyalı atık | 31 | Adsorpsiyon |
| | Reactive Blue 19 boyalı atık | 8 | |
| | Sulfur Black 1 boyalı atık | 308 | |
| <i>Coriolus sp. No. 20</i> | Melanoidin (0,5%) | 80 (14 gün) | Aktif oksijen |
| <i>C. versicolor</i> | Diazo-linked chromophore Atıkları (5-40%, v/v) | 70-80 (14-18 gün) | Belirtilmemiş |
| <i>C. versicolor</i> | Acid Green 27 | 100 | Biyosorpsiyon ve Adsorpsiyon |
| | Copper Phthalocyanine | 99 | |
| | Tetrasulphonic Acid | | |
| | Indigo Carmine | 100 | |
| | Neutral Red | 91 | |
| | Acid Red 106 | 100 | |
| | Mordant Yellow | 84 | |
| | Brilliant Yellow | 99 | |
| | Reactive Red 4 | 90 | |
| | Orange II | 100 | |
| <i>Cryptococcus heveanensis (maya)</i> | Brilliant Green | 100 | |
| | Reactive Black 5 boyalı atık | 60 | Adsorpsiyon |
| | Rective Blue 19 boyalı atık | 22 | |
| <i>Cyathus bulleri</i> | Sulfur Black 1 boyalı atık | 360 | |
| | Crystal Violet | 87,5 (2 gün) | Laccase aktivitesi |
| <i>Cyathus bulleri</i> | Bromophenol Blue | 98,7 (2 gün) | |
| | Malachite Green | 96,2 (2 gün) | Laccase aktivitesi |
| <i>Dekkera bruxellensis (maya)</i> | Reactive Black 5 boyalı atık | 38 | Adsorpsiyon |
| | Rective Blue 19 boyalı atık | 36 | |
| | Sulfur Black 1 boyalı atık | 527 | |
| <i>Endothiella aggregata</i> | Reactive Black 5 boyalı atık | 44 | |
| | Sulfur Black 1 boyalı atık | 300 | |
| <i>Funalia trogii</i> | Yağ atıkları (30% v/v) | 31 (6 gün) durgun | Belirtilmemiş |
| | | 38 (9 gün) | |

| | | çalkalamalı | |
|-------------------------------------|---|---|--|
| <i>Geotrichum fici</i> | Reactive Black 5 boyalı atık Rective Blue 19 boyalı atık Sulfur Black 1 boyalı atık | 7 60 60 | Adsorpsiyon |
| <i>Halosarpheria ratnagiriensis</i> | Kağıt endüstrisi atıkları | 85 (14 gün) | Lignin enzimleri |
| <i>Kluyveromyces waltii (maya)</i> | Reactive Black 5 boyalı atık Rective Black 19 boyalı atık Sulfur Black 1 boyalı atık | 60 20 445 | Adsorpsiyon |
| <i>Merulitus tremellosus</i> | Kağıt endüstrisi (40v/v) | 50 (14 gün) | Peroksidaz |
| <i>Myrothecum verrucaria</i> | Orange II (200 mg/l) 10 B (Blue) (200 mg/l) RS (Red) (100 mg/l) | 70 (5 sa) 86 (5 sa) 95 (5 sa) | Adsorpsiyon |
| <i>M. sp.</i> | Orange II (100 mg/l) 10 B (Blue) RS (Red) (100 mg/l) | 25 91 (2 gün) 58 98 (2 gün) 81 98 (2 gün) | Adsorpsiyon |
| <i>Neurospora crassa</i> | Vermelho Reanal p88 (16,0-32,0 mg/l) | 91,3-89,1 (1 gün) | Belirlenememiş |
| <i>Phanerochaete chrysosporium</i> | Congo Red (500 mg/l) | 70 (2 gün) sıvı kültür 90 (7 gün) katı kültür | Lignin degradasyonu |
| <i>P. chrysosporium</i> | Indigo Caramine (40 50 mg/l) Reactive Blue 15 (40 50 mg/l) Acid Violet 7 (40 50 mg/l) Reactive Black 5 (40 50 mg/l) Acid Green 27 (40 50 mg/l) Acid Blue 25 (40 50 mg/l) | 29,8 (9 gün) 75,6 (9 gün) 26,9 (9 gün) 11,3 (9 gün) 0,2 (9 gün) 55,6 (9 gün) | Ligninaz-katalizi |
| <i>P. chrysosporium</i> | Acid Orange 74 (40 50 mg/l) Acid Black 24 (40 50 mg/l) Yağ endüstrisi Bromophenol Blue (44,8 µm) Congo Red (28,7 µm) Methylene Blue (10,3 µm) Methyl Gren (29 µm) Methyl Orange (21,3 µm) Remazol Brilliant Blue R (79,8 µm) Toluidine blue O (16,3 µm) Poly R-478 (0,002%) Poly S-119 (0,002%) Poly T-128 (0,002%) | 6,6 (9 gün) 98 (9 gün) 70 (10) 93 (15 dak) 54 (15 dak) 86 (15 dak) 88 (15 dak) 88 (15 dak) 75 (15 dak) 81 (15 dak) 46 (15 dak) 78 (15 dak) 48 (15 dak) | Ligninaz-katalizi Lignin peroksidaz Lignin peroksidaz Lignin peroksidaz |
| <i>P. chrysosporium</i> | Methyl Orange 52 (150 mg/l) Methyl Orange 52 (300 mg/l) Ethyl Orange (150 mg/l) Ethyl Orange (300 mg/l) Acid Yellow 9 (150 mg/l) Acid Yellow 9 (300 mg/l) | 92 (15 dak) 88 (15 dak) 93 (15 dak) 94 (15 dak) 79 (15 dak) 74 (15 dak) | Peroksidaz enzimleri |
| <i>P. chrysosporium</i> | Orange II (150 mg/l) Orange II (300 mg/l) Orange I (150 mg/l) Orange I (300 mg/l) | 99 (15 dak) 53 (15 dak) 67 (15 dak) 71 (15 dak) | Peroksidaz enzimleri |
| <i>P. chrysosporium</i> | Five sulfonated azo dyes | mineralize edilmiş | Lignosellulitik |
| <i>P. chrysosporium</i> | 4-Phenylazophenol 4-Phenylazo-2-methoxyphenol Disperse yellow 3 4-Phenylazoaniline N,N-Dimethyl-4-phenylazoaniline Disperse Orange 3 | 28,4-38,2 (12 gün) 20,7-48,1 (12 gün) 42,7 (12 gün) 25,8 (12 gün) 29,9-46 (12 gün) 40,1-42,5 (12 gün) | Lignin degradasyonu Lignin degradasyonu |

| | | | |
|--|--|--|-------------------------------|
| | Solvent Yellow 14 | 4,5-23,1 (12 gün) | |
| <i>P. chrysosporium</i> | Poly B-411 Poly R-481 Poly Y-606 | Belirlenmemiş Belirlenmemiş Belirlenmemiş | Ligninolitik degradasyon |
| <i>P. chrysosporium</i> | Alkali ekstraksiyon safhasında beyazlatma sonucu oluşan atıklar | 90 (3 gün) | Lignin peroksidaz |
| <i>Phlebia radiata</i> | Kağıt endüstrisi atıkları (40 v/v) | 76 (14 gün) | Peroksidaz |
| <i>Pichia carsonii (maya)</i> | Reactive Black 5 boyalı atık Reactive Blue 19 boyalı atık Sulfur Black 1 boyalı atık | 25 3 499 | Adsorpsiyon |
| <i>Pycnoporus cinnabarinus</i> | Pigment atıkları | 90 (3 gün) | Ekstrasellular oksidaz |
| <i>Rhizopus arrhizus</i> | Humid acid (HPO-A) Humid acid (HPI-N) | 3-6,5 (2 saat) 1,5-3,8 (2 saat) | Biodegradasyon |
| <i>R. oryzae</i> | Reactive Black 5 boyalı atık Sulfur Black 1 boyalı atık | 99 1107 | Adsorpsiyon |
| <i>Saccharomyces cerevisiae (maya)</i> | Reactive Blue 19 boyalı atık | 57 | |
| <i>Sagenomella striatispora</i> | Kağıt endüstrisi atıkları (ikincil arıtma sonrası) | 74 (15 gün) | Biodegradasyon |
| <i>Schizophyllum commune</i> | Baggase-based pulp mill effluent | 80-90 (2 gün) | Lignin enzimleri |
| <i>Sordaria fimicola</i> | Kağıt endüstrisi | 55 (14 gün) | Lignin enzimleri |
| <i>Trametes versicolor</i> | Acid Green 27 Acid Violet 7 Indigo carmine | 165 50 50 | Lakkaz-katalizi |
| <i>T. versicolor</i> | Alkolik fermentasyon atıkları | 80 (3 gün) | Biodegradasyon ve adsorpsiyon |
| <i>T. versicolor</i> | Kağıt endüstrisi atıkları kaustik Kağıt endüstrisi atıkları asidik Kağıt endüstrisi atıkları kaustik ve asidik | 69 (1 gün) 48 (1 gün) 61-72 (10-24 sa) | Biodegradasyon |
| <i>T. versicolor</i> | Indigo Caramine (40 50 mg/l) Reactive Blue 15 (40 50 mg/l) Acid Violet 7 (40 50 mg/l) Reactive Black 5 (40 50 mg/l) Acid Green 27 (40 50 mg/l) Acid Blue 25 (40 50 mg/l) Acid Orange 74 (40 50 mg/l) Acid Black 24 (40 50 mg/l) | 29,8 (9 gün) 75,6 (9 gün) 26,9 (9 gün) 11,3 (9 gün) 0,2 (9 gün) 55,6 (9 gün) 6,6 (9 gün) 98 (9 gün) | Ligninaz-katalizi |
| <i>Tremella fuciformis</i> | Reactive Black 5 boyalı atık Reactive Blue 19 boyalı atık Sulfur Black 1 boyalı atık | 92 41 934 | Adsorpsiyon |
| <i>Trichoderma sp.</i> | Hardwood extraction atıkları | 85 (3 gün) | Ligninolitik enzimler |
| <i>Wood rotting fungus</i> | Cotton bleaching atıkları (20-50%) | 81,5-43,8 (5 gün) | Manganez peroksidaz |
| <i>Xeromyces bisporus</i> | Reactive Black 5 boyalı atık Reactive Blue 19 boyalı atık Sulfur Black 1 boyalı atık | 11 0 63 | Adsorpsiyon |

7.2.1 Fungusların üretimi ve saklanması

Deneysel çalışmalarında kullanılan fungusların sürekliliğini sağlamak için funguslar Malt Extract Agar plaklarda 37°C 'de, 4-6 gün süreyle inkübe edilmiştir. Funguslar 3-4 haftada bir taze besiyerlerine aktarılmıştır. Fungus kültürleri $+4^{\circ}\text{C}$ 'de buzdolabında saklanmıştır.

7.2.2 Stok fungus kültürlerinin hazırlanması

Fungusların kültür ortamlarına ekimi amacıyla Malt Extract Agar eğik besiyerleri tüplerinde üretilmiş olan kültürler aseptik koşullarda 250 ml'lik erlenlere ekilmiştir. Hazırlanan fungus kültürleri 37°C 'de inkübitörde üretilmiş ve çalışmada kullanılacak besiyerlerine ekim için temel fungus kültürleri olarak ekilmiştir.



Şekil 7.8 *Phanaerochacta chrysosporium*, *Pleurotus sajur-caju* ve *Trametes versicolor* stok kültürleri

7.2.3 Kullanılan besiyeri

Çalışmada Malt Extract Agar (MERCK) besiyeri kullanılmıştır. Besiyerleri 115°C 'de 1 atm basınç altında 10 dakika otoklavize edilmiş ve çalışmada kullanılmıştır.

7.3 Laboratuar Cihazları

7.3.1 Spektrofotometre

Absorbans ölçümelerinde UV/visible tarayıcı spektrofotometre (DRLANGE CADAS 30S) kullanılmıştır.

7.3.2 Santrifüj

Deneyclerde Elektro-mag M615E (5000 devir/dak) santrifüj kullanılmıştır.

7.3.3 Hassas tartı

Deneyclerde Sartarius BP 310S hassas tartı kullanılmıştır.

7.3.4 Otoklav

Besiyerlerinin sterilizasyonunda Sanyo Labo Autoclave kullanılmıştır.

7.4 Analitik Metot

Ardışık kesikli biyoreaktör çıkışından alınan numuneler 1 saat santrifüjden geçirildikten sonra 1 cm'lik kuvartz küvete konularak 436, 525 ve 620 nm dalga boylarında absorbansları okunmuş ve RES (Renklilik Sayısı) değerleri hesaplanmıştır. Renk analizleri uluslararası standart metotlara göre yapılmıştır. RES parametresinin birimi m^{-1} olarak verilmiştir.

RES parametresinin belirli dalga boylarında Avrupa Normu EN ISO 7887 limit değerleri; dalga boyu 436 nm için $7 m^{-1}$, 525 nm için $5 m^{-1}$, 620 nm için $3 m^{-1}$ 'dir. Absorbans değerinin RES sayısına dönüştürülmesi aşağıdaki şekilde hesaplanır [55].

$$\alpha = A / d \cdot f \quad (7.2)$$

α : katı boyar maddededen yansıyan veya bir çözeltiden geçen ışığın şiddeti

A : α dalga boyunda su ekstinksyonu

d : numunenin kalınlığı (küvet genişliği, nm)

f : spektral absorbsiyon değerinin m^{-1} biriminden elde etmek için faktör ($f = 1000$)

$$RES = 100 \cdot (El / d) \quad (7.3)$$

El : Ekstinksyon (belirli dalga boyunda)

d : su numunesi kalınlığı (cm)

7.5 Biyolojik Çamurun (Flok) Çökelmesi

Atıksuyun havalandırılması sırasında kirliliğe neden olan organikler adsorbe edilir. Arıtmadaki sonraki adım askıdaki katıların ayrılmasıdır. Normal olarak aktif çamur çöktüğünden dolayı bu ayırıma genellikle çökelmeyle yapılır. Yerçekimsel çökme ile parçacıkların hareketi hem doğal sularda hem de inşa edilmiş arıtma sistemlerinde önemlidir. İnşa edilmiş su ve atıksu tesislerinde çoğu proses, çökelme ile biyokütle ve partikülleri gidermek için dizayn edilir. Örneğin aktif çamur havalandırma havuzunda oluşmuş mikrobiyal topluluklar çöktürmeye çıkış suyundan ayrılır. Doğal sularda ve çöktürme tanklarındaki çökelme esnasında, büyük topluluklar koloidal partikül ve materyalleri kendileri ile birlikte uzaklaştırmaya devam ederler ve böylece su kolonundaki kütte transfer hareketi artar. Ardışık kesikli reaktör sistemlerinde genel olarak engelli çökelme görülür.

Çökelme kinetiği deneysel çalışmalarında kullanılan atıksu Aydın Örme San. ve Tic. A.Ş. atıksu arıtma tesisinden temin edilmiştir. Yapılan deneylerde, 8577 cm^3 aktif çamur Aydın Örme San. ve Tic. A.Ş. atıksu arıtma tesisi havalandırma havuzundan ve 953 cm^3 atıksuda havalandırma havuzu girişinden alınarak laboratuar ortamındaki reaktöre konulmuştur. Reaktördeki toplam sıvı yüksekliği $10,6 \text{ cm}$ 'dir. Yapılan deneylerde 1,5 saatlik karıştırma süreci bittikten sonra her 10 dakikada bir reaktördeki aktif çamur yüksekliği ölçülerek 3 saat boyunca aktif çamur yükseklik tespiti yapılmış ve yükseklik –zaman arasındaki ilişki grafiğe aktarılarak çökelme

kinetiği eğrisi elde edilmiştir. Elde edilen bu grafik Şekil 6.12'deki statik çökelme eğrileri ile karşılaştırılarak Aydın Örme San. ve Tic. A.Ş. atıksu arıtma tesisine ait biyokütle konsantrasyonu X (g/l) için en uygun çökelme süresi ile arıtma tesisisinde uygulanan 1,5 saatlik çökelme sürecinin uygunluğu tespit edilmeye çalışılmıştır.

Yapılan deneysel çalışmalarında ayrıca laboratuar ortamındaki ardışık kesikli biyoreaktördeki aktif çamurun çökelirken kat ettiği mesafe ölçülerek ve;

$$V_c = S / t \quad (7.4)$$

Formülü kullanılarak çökelme hızı –zaman arasında bir grafik elde edilmiştir. Burada;

V_c : Çamurun çökelme hızı (cm/dak)

S : Çamurun kat ettiği mesafe (cm)

t : zaman (dak)

Elde edilen bu grafik ile Şekil 6.13'deki eğri karşılaştırılarak Aydın Örme San. ve Tic. A.Ş. atıksu arıtma tesisine ait biyokütle konsantrasyonu, X (g/l) için en uygun tanecik çökelme hızı tespit edilmeye çalışılmıştır.

BÖLÜM 8. BULGULAR

Yapılan deneysel çalışmalarında; Aydın Örme San. ve Tic. A.Ş. atıksu arıtma tesisisinden alınan aktif çamura eklenen canlı üç beyaz çürükçül mantar türünün renk giderme kapasiteleri incelenmiştir. Canlı *phanaerochacta chrysosporium*, *trametes versicolor* ve *pleurotus sajur-caju* biyokütleleri ile yapılan çalışmalarda farklı dalga boylarında yapılan ölçümler ile bu çürükçül mantarların renk giderim kapasiteleri hesaplanmıştır.

Deneysel çalışmaların ikinci bölümünde ise; 1,5 saatlik karıştırma süreci sonunda laboratuar ortamındaki reaktördeki aktif çamur yüksekliği 3 saat boyunca ve 10'ar dakika aralıklarla ölçülerek yükseklik-zaman, çökelme hızı-zaman arasındaki ilişki tespit edilmeye çalışılmış, elde edilen grafikler literatürdeki grafiklerle karşılaştırılmış ve sonuçlar Aydın Örme San. ve Tic. A.Ş. atıksu arıtma tesisine ait biyokütle konsantrasyonu X (g/l) dikkate alınarak irdelenmiştir.

Rengi giderilmesi istenen Aydın Örme San. ve Tic. A.Ş. arıtma tesisi giriş suyunun özellikleri şunlardır; RES (436 nm) için 59 m^{-1} , RES (525 nm) için 45 m^{-1} , RES (620 nm) için $32,4\text{ m}^{-1}$ 'dir.

Tablo 8.1 Farklı dalga boylarında ve farklı zamanlarda hücre ilavesiz ve hücre ilaveli elde edilen çıkış suyu absorbans ölçüm değerleri

| Zaman (dk) | Hücre İlavesiz | | | <i>Phanaerochacta chrysosporium</i> | | | <i>Trametes versicolor</i> | | | <i>Pleurotus sajur-caju</i> | | |
|---------------|---------------------|---------------------|---------------------|-------------------------------------|---------------------|---------------------|----------------------------|---------------------|---------------------|-----------------------------|---------------------|---------------------|
| | Absorbans | | | Absorbans | | | Absorbans | | | Absorbans | | |
| | $\lambda=436$ nm | $\lambda=525$ nm | $\lambda=620$ nm | $\lambda=436$ nm | $\lambda=525$ nm | $\lambda=620$ nm | $\lambda=436$ nm | $\lambda=525$ nm | $\lambda=620$ nm | $\lambda=436$ nm | $\lambda=525$ nm | $\lambda=620$ nm |
| 0 | 0,101 | 0,097 | 0,057 | 0,193 | 0,162 | 0,102 | 0,174 | 0,124 | 0,097 | 0,156 | 0,115 | 0,091 |
| 5 | 0,094 | 0,092 | 0,054 | 0,192 | 0,160 | 0,101 | 0,164 | 0,100 | 0,080 | 0,150 | 0,110 | 0,088 |
| 10 | 0,102 | 0,087 | 0,066 | 0,190 | 0,155 | 0,099 | 0,163 | 0,095 | 0,079 | 0,146 | 0,106 | 0,085 |
| 20 | 0,106 | 0,091 | 0,066 | 0,201 | 0,163 | 0,102 | 0,165 | 0,103 | 0,081 | 0,168 | 0,124 | 0,098 |
| 30 | 0,108 | 0,087 | 0,066 | 0,204 | 0,164 | 0,103 | 0,167 | 0,111 | 0,094 | 0,152 | 0,120 | 0,090 |
| 60 | 0,108 | 0,084 | 0,065 | 0,203 | 0,146 | 0,094 | 0,161 | 0,110 | 0,089 | 0,144 | 0,104 | 0,087 |
| 120 | 0,103 | 0,086 | 0,066 | 0,191 | 0,136 | 0,088 | 0,154 | 0,109 | 0,085 | 0,151 | 0,104 | 0,087 |
| 240 | 0,099 | 0,077 | 0,059 | 0,176 | 0,125 | 0,086 | 0,151 | 0,106 | 0,083 | 0,148 | 0,102 | 0,086 |
| 1600 | 0,095 | 0,073 | 0,055 | 0,134 | 0,095 | 0,079 | 0,097 | 0,069 | 0,065 | 0,117 | 0,085 | 0,070 |

8.1 Hücre İlave Edilmeden Yapılan Deneylerdeki RES Değerleri ve Renk Giderim Verimleri

RES değerleri denklem 7.1'e göre hesaplanmıştır.

$\lambda=436$ nm dalga boyu için;

| | | |
|--------------|------------------------|--|
| 0. dakika | Absorbans değeri=0,101 | RES değeri $\alpha=0,101/10*1000=10,1$ |
| 5. dakika | Absorbans değeri=0,094 | RES değeri $\alpha=0,094/10*1000=9,4$ |
| 10. dakika | Absorbans değeri=0,102 | RES değeri $\alpha=0,102/10*1000=10,2$ |
| 20. dakika | Absorbans değeri=0,106 | RES değeri $\alpha=0,106/10*1000=10,6$ |
| 30. dakika | Absorbans değeri=0,108 | RES değeri $\alpha=0,108/10*1000=10,8$ |
| 60. dakika | Absorbans değeri=0,108 | RES değeri $\alpha=0,108/10*1000=10,8$ |
| 120. dakika | Absorbans değeri=0,103 | RES değeri $\alpha=0,103/10*1000=10,3$ |
| 240. dakika | Absorbans değeri=0,099 | RES değeri $\alpha=0,099/10*1000=9,9$ |
| 1600. dakika | Absorbans değeri=0,095 | RES değeri $\alpha=0,095/10*1000=9,5$ |

$\lambda = 525 \text{ nm}$ dalga boyu için;

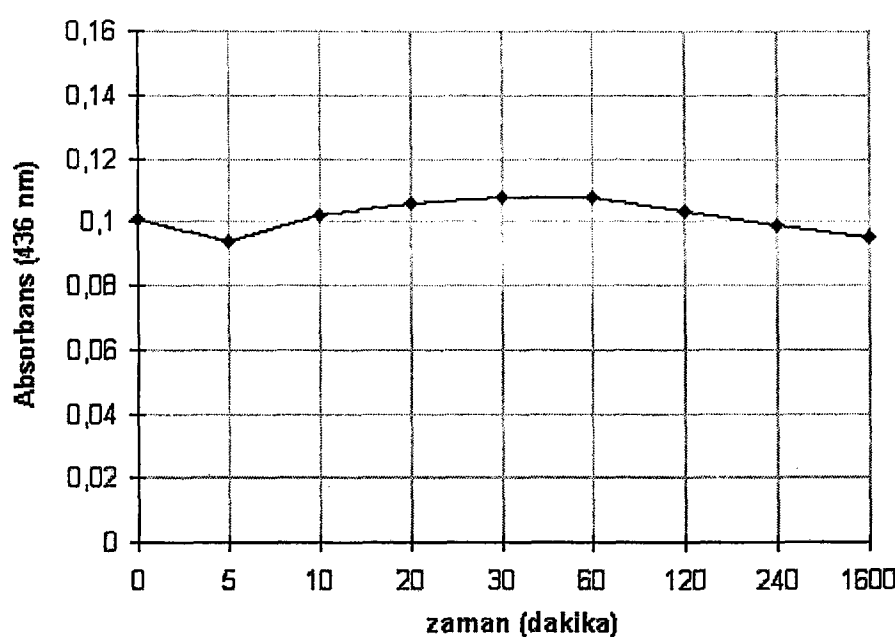
| | | |
|--------------|------------------------|---------------------------------------|
| 0. dakika | Absorbans değeri=0,097 | RES değeri $\alpha=0,097/10*1000=9,7$ |
| 5. dakika | Absorbans değeri=0,092 | RES değeri $\alpha=0,092/10*1000=9,2$ |
| 10. dakika | Absorbans değeri=0,087 | RES değeri $\alpha=0,087/10*1000=8,7$ |
| 20. dakika | Absorbans değeri=0,091 | RES değeri $\alpha=0,091/10*1000=9,1$ |
| 30. dakika | Absorbans değeri=0,087 | RES değeri $\alpha=0,087/10*1000=8,7$ |
| 60. dakika | Absorbans değeri=0,084 | RES değeri $\alpha=0,084/10*1000=8,4$ |
| 120. dakika | Absorbans değeri=0,086 | RES değeri $\alpha=0,086/10*1000=8,6$ |
| 240. dakika | Absorbans değeri=0,077 | RES değeri $\alpha=0,077/10*1000=7,7$ |
| 1600. dakika | Absorbans değeri=0,073 | RES değeri $\alpha=0,073/10*1000=7,3$ |

$\lambda = 620 \text{ nm}$ dalga boyu için;

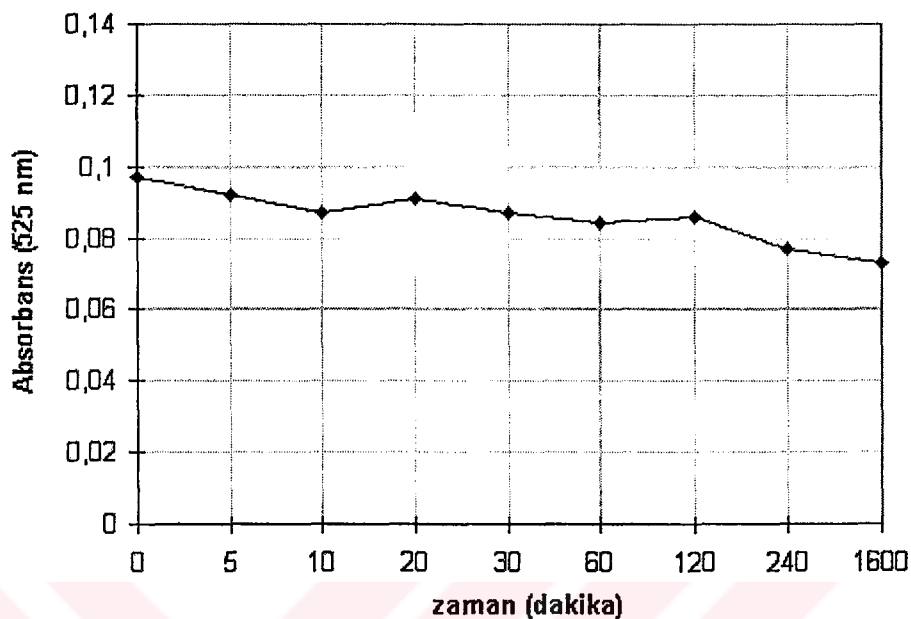
| | | |
|--------------|------------------------|---------------------------------------|
| 0. dakika | Absorbans değeri=0,057 | RES değeri $\alpha=0,057/10*1000=5,7$ |
| 5. dakika | Absorbans değeri=0,054 | RES değeri $\alpha=0,054/10*1000=5,4$ |
| 10. dakika | Absorbans değeri=0,066 | RES değeri $\alpha=0,066/10*1000=6,6$ |
| 20. dakika | Absorbans değeri=0,066 | RES değeri $\alpha=0,066/10*1000=6,6$ |
| 30. dakika | Absorbans değeri=0,066 | RES değeri $\alpha=0,066/10*1000=6,6$ |
| 60. dakika | Absorbans değeri=0,065 | RES değeri $\alpha=0,065/10*1000=6,5$ |
| 120. dakika | Absorbans değeri=0,066 | RES değeri $\alpha=0,066/10*1000=6,6$ |
| 240. dakika | Absorbans değeri=0,059 | RES değeri $\alpha=0,059/10*1000=5,9$ |
| 1600. dakika | Absorbans değeri=0,055 | RES değeri $\alpha=0,055/10*1000=5,5$ |

Tablo 8.2 $\lambda = 436 \text{ nm}$, $\lambda = 525 \text{ nm}$ ve $\lambda = 620 \text{ nm}$ dalga boyları için zamana göre renk giderim verimleri

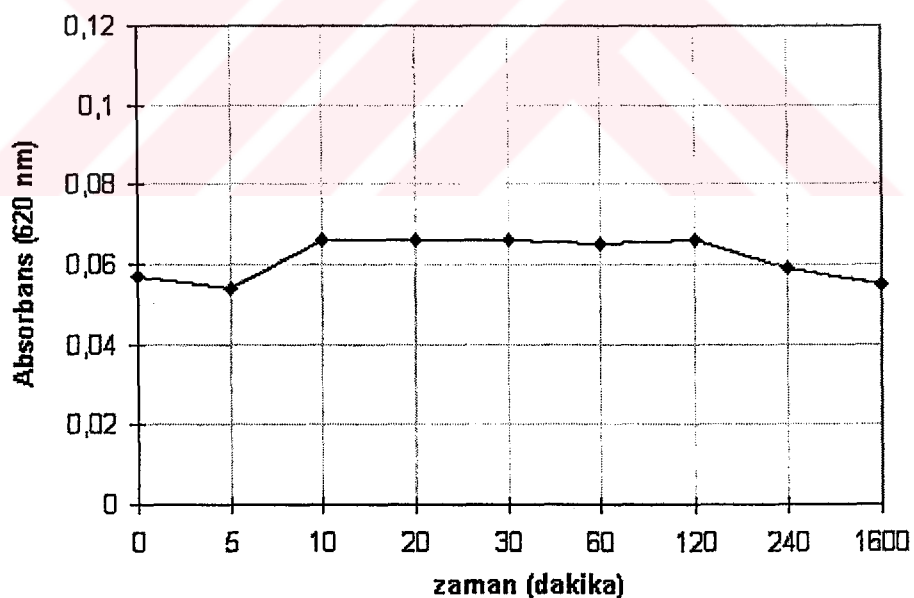
| Zaman (dk) | $\lambda = 436 \text{ nm}$ | | | $\lambda = 525 \text{ nm}$ | | | $\lambda = 620 \text{ nm}$ | | |
|---------------|--|--|-------------------------|--|--|-------------------------|--|--|-------------------------|
| | Giriş rengi (m^{-1}) RES | Çıkış rengi (m^{-1}) RES | Renk giderimi (%) | Giriş rengi (m^{-1}) RES | Çıkış rengi (m^{-1}) RES | Renk giderimi (%) | Giriş rengi (m^{-1}) RES | Çıkış rengi (m^{-1}) RES | Renk giderimi (%) |
| 0 | 59 | 10,1 | 83 | 45 | 9,7 | 78 | 32,4 | 5,7 | 83 |
| 5 | 59 | 9,4 | 84 | 45 | 9,2 | 80 | 32,4 | 5,4 | 83 |
| 10 | 59 | 10,2 | 83 | 45 | 8,7 | 81 | 32,4 | 6,6 | 79 |
| 20 | 59 | 10,6 | 82 | 45 | 9,1 | 79 | 32,4 | 6,6 | 79 |
| 30 | 59 | 10,8 | 81 | 45 | 8,7 | 81 | 32,4 | 6,6 | 79 |
| 60 | 59 | 10,8 | 81 | 45 | 8,4 | 81 | 32,4 | 6,5 | 80 |
| 120 | 59 | 10,3 | 83 | 45 | 8,6 | 80 | 32,4 | 6,6 | 79 |
| 240 | 59 | 9,9 | 83 | 45 | 7,7 | 82 | 32,4 | 5,9 | 82 |
| 1600 | 59 | 9,5 | 84 | 45 | 7,3 | 84 | 32,4 | 5,5 | 83 |



Şekil 8.1 436 nm'de ölçülen absorbans-zaman grafiği



Şekil 8.2 525 nm'de ölçülen absorbans-zaman grafiği



Şekil 8.3 620 nm'de ölçülen absorbans-zaman grafiği

Elde edilen grafikler doğrultusunda belli zaman aralıklarında alınan numunelerin renk okumalarına baktığımızda; 0. dakikada alınan numunenin $\lambda=436$ nm'deki RES değeri $10,1 \text{ m}^{-1}$ olarak ölçülmüştür. Sistemin renk giderim verimi %83'dür. 1600

dakikada alınan numunenin $\lambda=436$ nm'deki RES değeri ise $9,5 \text{ m}^{-1}$ 'dir. 1600 dakikalık (yaklaşık 1 gün) bekleme sürecinin sonunda elde edilen renk giderim verimi %84 olmuştur. $\lambda=525$ nm'deki ölçüm sonuçlarına baktığımızda; 0. dakikadaki RES değeri $9,7 \text{ m}^{-1}$, renk giderim verimi %78 olmuştur. 1600 dakika ise RES değeri $7,3 \text{ m}^{-1}$ 'e düşmüştür, verim % 84'dür. $\lambda=620$ nm'de ise 0. dakikada RES değeri $5,7 \text{ m}^{-1}$ iken 1600 dakikada $\text{RES}=5,5 \text{ m}^{-1}$, verim ise her iki zaman süreci için %83 olarak kalmıştır.

8.2 *Phanaerochacta chrysosporium* Canlı Biyokütlesi İle Yapılan Deneylerdeki RES Değerleri ve Renk Giderim Verimleri

RES değerleri denklem 7.1'e göre hesaplanmıştır.

$\lambda =436$ nm dalga boyu için;

| | | |
|--------------|------------------------|--|
| 0. dakika | Absorbans değeri=0,193 | RES değeri $\alpha=0,193/10*1000=19,3$ |
| 5. dakika | Absorbans değeri=0,192 | RES değeri $\alpha=0,192/10*1000=19,2$ |
| 10. dakika | Absorbans değeri=0,190 | RES değeri $\alpha=0,190/10*1000=19$ |
| 20. dakika | Absorbans değeri=0,201 | RES değeri $\alpha=0,201/10*1000=20,1$ |
| 30. dakika | Absorbans değeri=0,204 | RES değeri $\alpha=0,204/10*1000=20,4$ |
| 60. dakika | Absorbans değeri=0,203 | RES değeri $\alpha=0,203/10*1000=20,3$ |
| 120. dakika | Absorbans değeri=0,191 | RES değeri $\alpha=0,191/10*1000=19,1$ |
| 240. dakika | Absorbans değeri=0,176 | RES değeri $\alpha=0,176/10*1000=17,6$ |
| 1600. dakika | Absorbans değeri=0,134 | RES değeri $\alpha=0,134/10*1000=13,4$ |

$\lambda =525$ nm dalga boyu için;

| | | |
|-----------|------------------------|--|
| 0. dakika | Absorbans değeri=0,162 | RES değeri $\alpha=0,162/10*1000=16,2$ |
| 5. dakika | Absorbans değeri=0,160 | RES değeri $\alpha=0,160/10*1000=16$ |

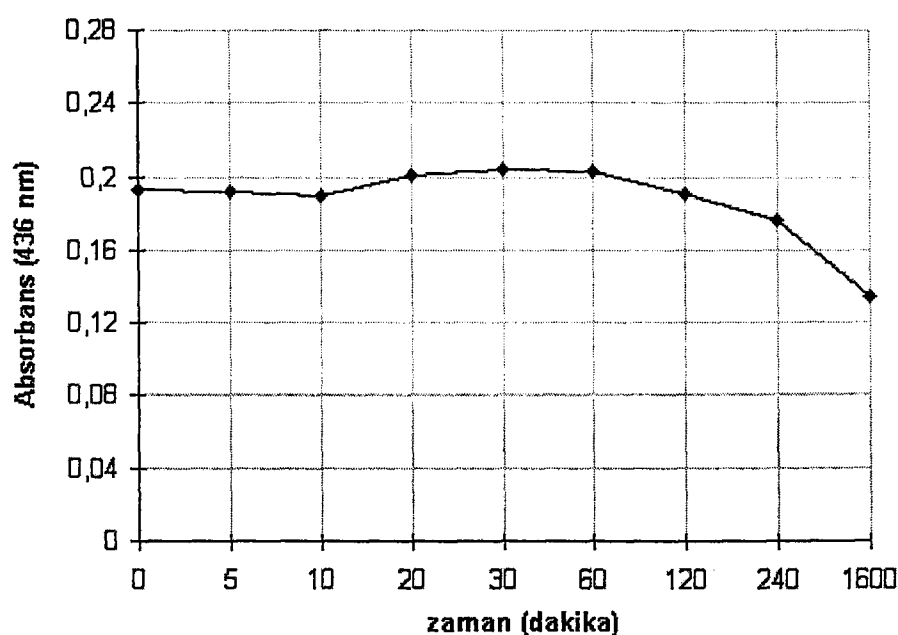
| | | |
|--------------|------------------------|--|
| 10. dakika | Absorbans değeri=0,155 | RES değeri $\alpha=0,155/10*1000=15,5$ |
| 20. dakika | Absorbans değeri=0,163 | RES değeri $\alpha=0,163/10*1000=16,3$ |
| 30. dakika | Absorbans değeri=0,164 | RES değeri $\alpha=0,164/10*1000=16,4$ |
| 60. dakika | Absorbans değeri=0,146 | RES değeri $\alpha=0,146/10*1000=14,6$ |
| 120. dakika | Absorbans değeri=0,136 | RES değeri $\alpha=0,136/10*1000=13,6$ |
| 240. dakika | Absorbans değeri=0,125 | RES değeri $\alpha=0,125/10*1000=12,5$ |
| 1600. dakika | Absorbans değeri=0,095 | RES değeri $\alpha=0,095/10*1000=9,5$ |

$\lambda = 620 \text{ nm}$ dalga boyu için;

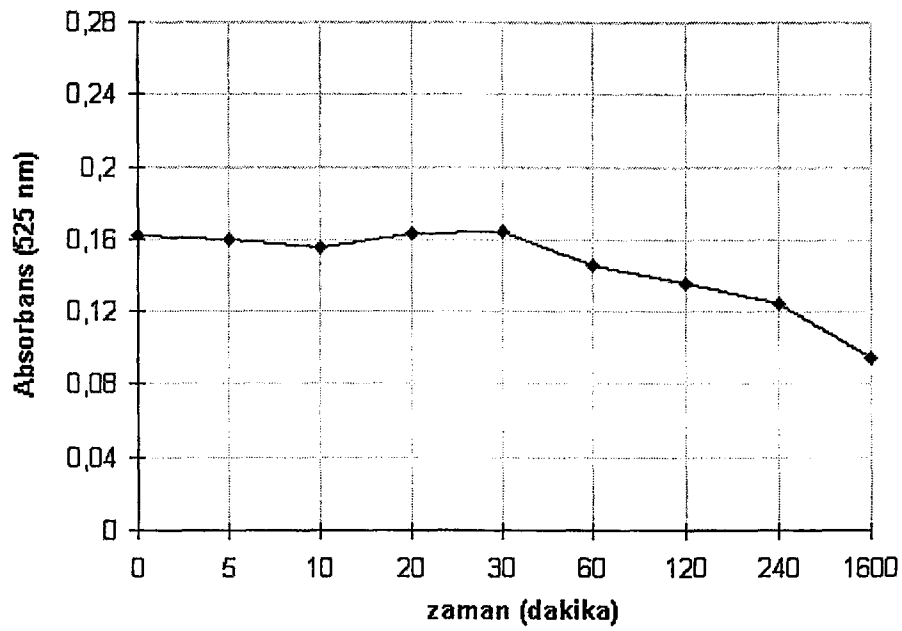
| | | |
|--------------|------------------------|--|
| 0. dakika | Absorbans değeri=0,102 | RES değeri $\alpha=0,102/10*1000=10,2$ |
| 5. dakika | Absorbans değeri=0,101 | RES değeri $\alpha=0,101/10*1000=10,1$ |
| 10. dakika | Absorbans değeri=0,099 | RES değeri $\alpha=0,099/10*1000=9,9$ |
| 20. dakika | Absorbans değeri=0,102 | RES değeri $\alpha=0,102/10*1000=10,2$ |
| 30. dakika | Absorbans değeri=0,103 | RES değeri $\alpha=0,103/10*1000=10,3$ |
| 60. dakika | Absorbans değeri=0,094 | RES değeri $\alpha=0,094/10*1000=9,4$ |
| 120. dakika | Absorbans değeri=0,088 | RES değeri $\alpha=0,088/10*1000=8,8$ |
| 240. dakika | Absorbans değeri=0,086 | RES değeri $\alpha=0,086/10*1000=8,6$ |
| 1600. dakika | Absorbans değeri=0,079 | RES değeri $\alpha=0,079/10*1000=7,9$ |

Tablo 8.3 $\lambda = 436 \text{ nm}$, $\lambda = 525 \text{ nm}$ ve $\lambda = 620 \text{ nm}$ dalga boyları için zamana göre renk giderim verimleri

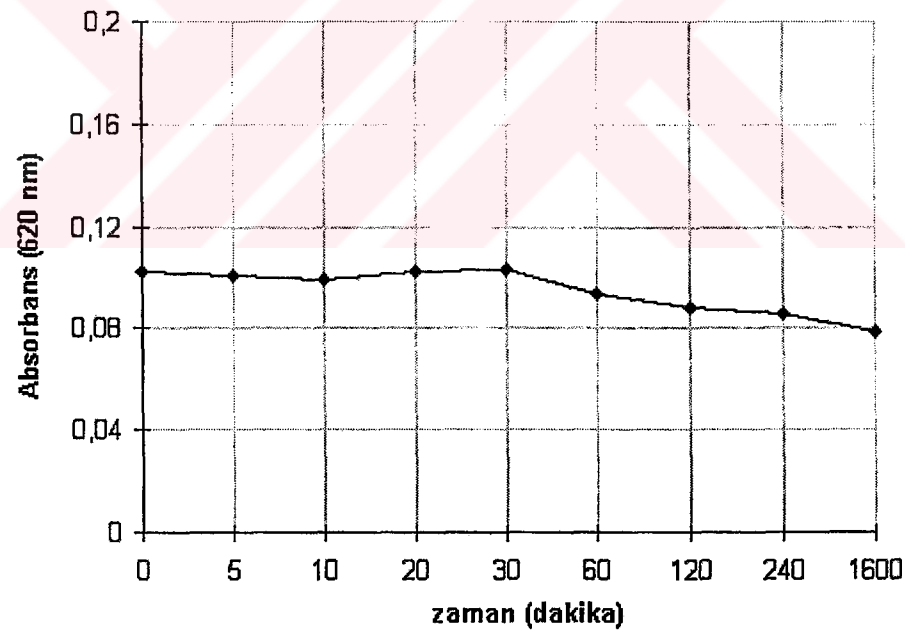
| Zaman (dk) | $\lambda = 436 \text{ nm}$ | | | $\lambda = 525 \text{ nm}$ | | | $\lambda = 620 \text{ nm}$ | | |
|---------------|---|---|-------------------------|---|---|-------------------------|---|---|-------------------------|
| | Giriş rengi (m ⁻¹) RES | Cıkış rengi (m ⁻¹) RES | Renk giderimi (%) | Giriş rengi (m ⁻¹) RES | Cıkış rengi (m ⁻¹) RES | Renk giderimi (%) | Giriş rengi (m ⁻¹) RES | Cıkış rengi (m ⁻¹) RES | Renk giderimi (%) |
| 0 | 59 | 19,3 | 67 | 45 | 16,2 | 64 | 32,4 | 10,2 | 68,5 |
| 5 | 59 | 19,2 | 67,5 | 45 | 16 | 65 | 32,4 | 10,1 | 69 |
| 10 | 59 | 19 | 67,7 | 45 | 15,5 | 66 | 32,4 | 9,9 | 69 |
| 20 | 59 | 20,1 | 66 | 45 | 16,3 | 64 | 32,4 | 10,2 | 68,5 |
| 30 | 59 | 20,4 | 65,5 | 45 | 16,4 | 64 | 32,4 | 10,3 | 68 |
| 60 | 59 | 20,3 | 65,6 | 45 | 14,6 | 68 | 32,4 | 9,4 | 71 |
| 120 | 59 | 19,1 | 67 | 45 | 13,6 | 70 | 32,4 | 8,8 | 73 |
| 240 | 59 | 17,6 | 70 | 45 | 12,5 | 72 | 32,4 | 8,6 | 74 |
| 1600 | 59 | 13,4 | 77 | 45 | 9,5 | 79 | 32,4 | 7,9 | 76 |



Şekil 8.4 436 nm'de ölçülen absorbans-zaman grafiği



Şekil 8.5 525 nm'de ölçülen absorbans-zaman grafiği



Şekil 8.6 620 nm'de ölçülen absorbans-zaman grafiği

Elde edilen grafiklere baktığımızda; 0. dakikada alınan numunenin $\lambda=436$ nm'deki RES değeri $19,3 \text{ m}^{-1}$ olarak ölçülmüştür. Renk giderim verimi %67'dir. Aynı dalga boyunda 1600 dakika da alınan numunenin RES değeri ise $13,4 \text{ m}^{-1}$ 'dir, verim ise %77'dir. Aynı şekilde $\lambda=525$ nm için 0. dakikadaki RES değeri $16,2 \text{ m}^{-1}$, renk

giderim verimi %64 olmuştur. 1600 dakika ise RES değeri $9,5 \text{ m}^{-1}$ dir, verim %79'dur. $\lambda=620 \text{ nm}$ için 0. dakikada RES değeri $10,2 \text{ m}^{-1}$, verim %68,5, 1600 dakikada RES= $7,9 \text{ m}^{-1}$, verim %76'dır.

8.3 *Trametes versicolor* Canlı Biyokütlesi İle Yapılan Deneylerdeki RES Değerleri ve Renk Giderim Verimleri

RES değerleri denklem 7.1'e göre hesaplanmıştır.

$\lambda=436 \text{ nm}$ dalga boyu için;

| | | |
|--------------|------------------------|--|
| 0. dakika | Absorbans değeri=0,174 | RES değeri $\alpha=0,174/10*1000=17,4$ |
| 5. dakika | Absorbans değeri=0,164 | RES değeri $\alpha=0,164/10*1000=16,4$ |
| 10. dakika | Absorbans değeri=0,163 | RES değeri $\alpha=0,163/10*1000=16,3$ |
| 20. dakika | Absorbans değeri=0,165 | RES değeri $\alpha=0,165/10*1000=16,5$ |
| 30. dakika | Absorbans değeri=0,167 | RES değeri $\alpha=0,167/10*1000=16,7$ |
| 60. dakika | Absorbans değeri=0,161 | RES değeri $\alpha=0,161/10*1000=16,1$ |
| 120. dakika | Absorbans değeri=0,154 | RES değeri $\alpha=0,154/10*1000=15,4$ |
| 240. dakika | Absorbans değeri=0,151 | RES değeri $\alpha=0,151/10*1000=15,1$ |
| 1600. dakika | Absorbans değeri=0,097 | RES değeri $\alpha=0,097/10*1000=9,7$ |

$\lambda=525 \text{ nm}$ dalga boyu için;

| | | |
|------------|------------------------|--|
| 0. dakika | Absorbans değeri=0,124 | RES değeri $\alpha=0,124/10*1000=12,4$ |
| 5. dakika | Absorbans değeri=0,100 | RES değeri $\alpha=0,100/10*1000=10$ |
| 10. dakika | Absorbans değeri=0,095 | RES değeri $\alpha=0,095/10*1000=9,5$ |
| 20. dakika | Absorbans değeri=0,103 | RES değeri $\alpha=0,103/10*1000=10,3$ |
| 30. dakika | Absorbans değeri=0,111 | RES değeri $\alpha=0,111/10*1000=11,1$ |

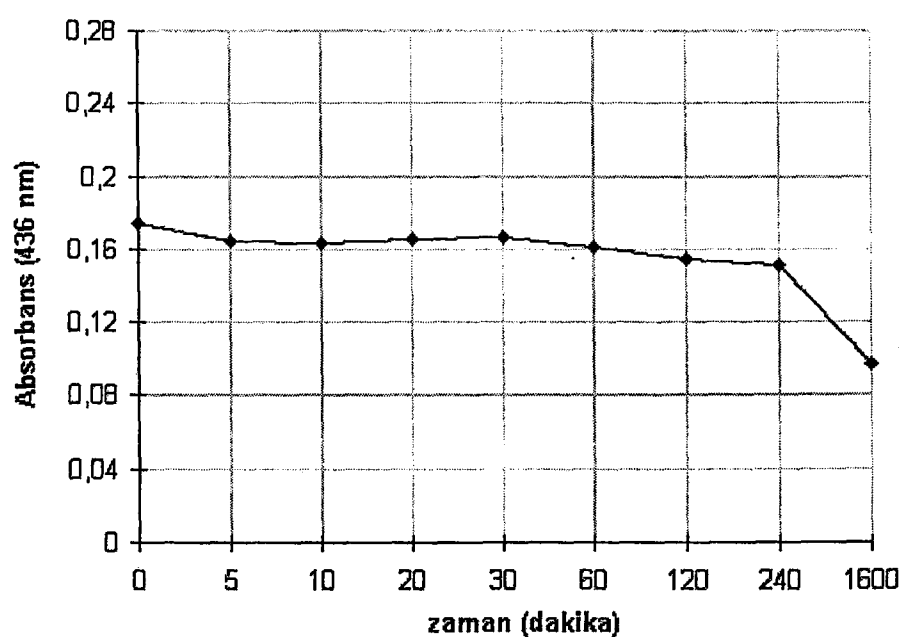
| | | |
|--------------|------------------------|--|
| 60. dakika | Absorbans değeri=0,110 | RES değeri $\alpha=0,110/10*1000=11$ |
| 120. dakika | Absorbans değeri=0,109 | RES değeri $\alpha=0,109/10*1000=10,9$ |
| 240. dakika | Absorbans değeri=0,106 | RES değeri $\alpha=0,106/10*1000=10,6$ |
| 1600. dakika | Absorbans değeri=0,069 | RES değeri $\alpha=0,069/10*1000=6,9$ |

$\lambda = 620 \text{ nm}$ dalga boyu için;

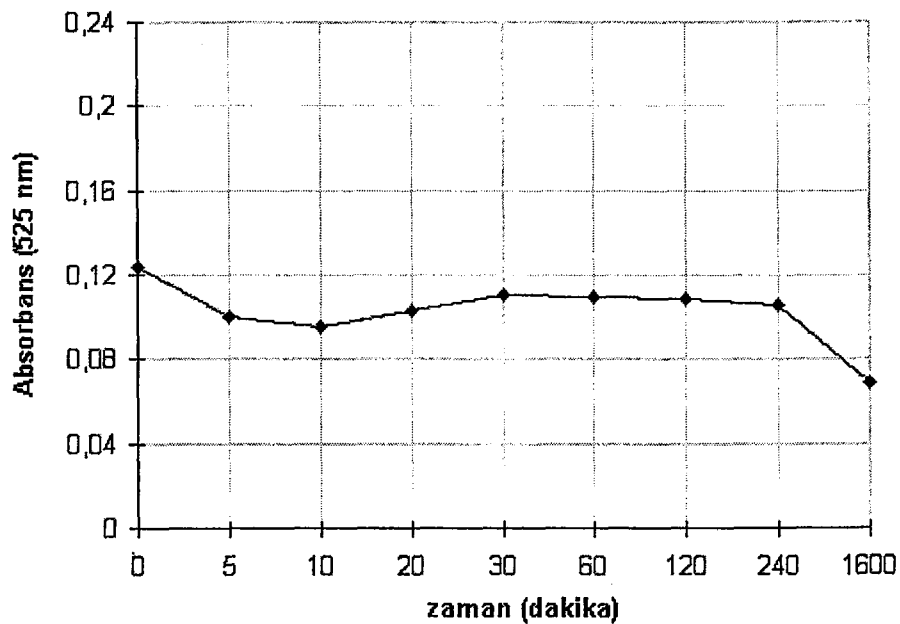
| | | |
|--------------|------------------------|---------------------------------------|
| 0. dakika | Absorbans değeri=0,097 | RES değeri $\alpha=0,097/10*1000=9,7$ |
| 5. dakika | Absorbans değeri=0,080 | RES değeri $\alpha=0,080/10*1000=8$ |
| 10. dakika | Absorbans değeri=0,079 | RES değeri $\alpha=0,079/10*1000=7,9$ |
| 20. dakika | Absorbans değeri=0,081 | RES değeri $\alpha=0,081/10*1000=8,1$ |
| 30. dakika | Absorbans değeri=0,094 | RES değeri $\alpha=0,094/10*1000=9,4$ |
| 60. dakika | Absorbans değeri=0,089 | RES değeri $\alpha=0,089/10*1000=8,9$ |
| 120. dakika | Absorbans değeri=0,085 | RES değeri $\alpha=0,085/10*1000=8,5$ |
| 240. dakika | Absorbans değeri=0,083 | RES değeri $\alpha=0,083/10*1000=8,3$ |
| 1600. dakika | Absorbans değeri=0,065 | RES değeri $\alpha=0,065/10*1000=6,5$ |

Tablo 8.4 $\lambda = 436 \text{ nm}$, $\lambda = 525 \text{ nm}$ ve $\lambda = 620 \text{ nm}$ dalga boyları için zamana göre renk giderim verimleri

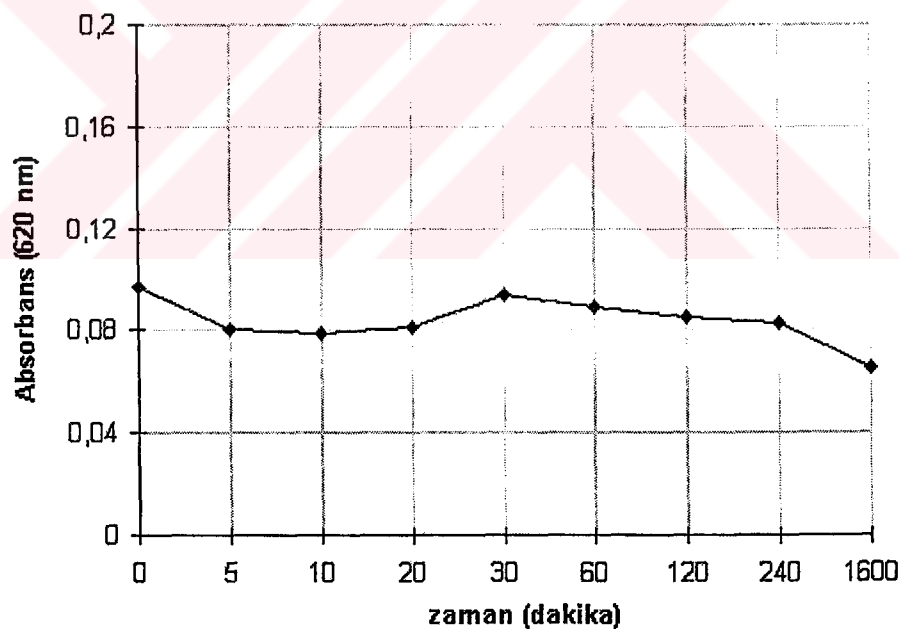
| Zaman (dk) | $\lambda = 436 \text{ nm}$ | | | $\lambda = 525 \text{ nm}$ | | | $\lambda = 620 \text{ nm}$ | | |
|---------------|---|---|-------------------------|---|---|-------------------------|---|---|-------------------------|
| | Giriş rengi (m ⁻¹) RES | Çıkış rengi (m ⁻¹) RES | Renk giderimi (%) | Giriş rengi (m ⁻¹) RES | Çıkış rengi (m ⁻¹) RES | Renk giderimi (%) | Giriş rengi (m ⁻¹) RES | Çıkış rengi (m ⁻¹) RES | Renk giderimi (%) |
| 0 | 59 | 17,4 | 71 | 45 | 12,4 | 72 | 32,4 | 9,7 | 70 |
| 5 | 59 | 16,4 | 72 | 45 | 10 | 78 | 32,4 | 8 | 75 |
| 10 | 59 | 16,3 | 72,5 | 45 | 9,5 | 79 | 32,4 | 7,9 | 75,6 |
| 20 | 59 | 16,5 | 72 | 45 | 10,3 | 77 | 32,4 | 8,1 | 75 |
| 30 | 59 | 16,7 | 72 | 45 | 11,1 | 75 | 32,4 | 9,4 | 71 |
| 60 | 59 | 16,1 | 73 | 45 | 11 | 75,5 | 32,4 | 8,9 | 73 |
| 120 | 59 | 15,4 | 74 | 45 | 10,9 | 76 | 32,4 | 8,5 | 74 |
| 240 | 59 | 15,1 | 75 | 45 | 10,6 | 77 | 32,4 | 8,3 | 75 |
| 1600 | 59 | 9,7 | 83,5 | 45 | 6,9 | 85 | 32,4 | 6,5 | 80 |



Şekil 8.7 436 nm'de ölçülen absorbans-zaman grafiği



Şekil 8.8 525 nm'de ölçülen absorbans-zaman grafiği



Şekil 8.9 620 nm'de ölçülen absorbans-zaman grafiği

Elde edilen grafikler doğrultusunda; 0. dakikada alınan numunenin $\lambda=436$ nm'deki RES değeri $17,4 \text{ m}^{-1}$ olarak ölçülmüştür. Renk giderim verimi %71'dir. Aynı dalga boyunda 1600 dakika da alınan numunenin RES değeri ise $9,7 \text{ m}^{-1}$ dir, verim ise %83,5'dir. Aynı şekilde $\lambda=525$ nm için 0. dakikadaki RES değeri $12,4 \text{ m}^{-1}$, renk

giderim verimi %72 olmuştur. 1600 dakika ise RES değeri $6,9 \text{ m}^{-1}$, verim %85'dur. $\lambda=620 \text{ nm}$ için 0. dakikada RES değeri $9,7 \text{ m}^{-1}$, verim %70, 1600 dakikada $\text{RES}=6,5 \text{ m}^{-1}$, verim %80'dir.

8.4 *Pleurotus sajur-caju* Canlı Biyokütlesi İle Yapılan Deneylerdeki RES Değerleri ve Renk Giderim Verimleri

RES değerleri denklem 7.1'e göre hesaplanmıştır.

$\lambda = 436 \text{ nm}$ dalga boyu için;

| | | |
|--------------|------------------------|--|
| 0. dakika | Absorbans değeri=0,156 | RES değeri $\alpha=0,156/10*1000=15,6$ |
| 5. dakika | Absorbans değeri=0,150 | RES değeri $\alpha=0,150/10*1000=15$ |
| 10. dakika | Absorbans değeri=0,146 | RES değeri $\alpha=0,146/10*1000=14,6$ |
| 20. dakika | Absorbans değeri=0,168 | RES değeri $\alpha=0,168/10*1000=16,8$ |
| 30. dakika | Absorbans değeri=0,152 | RES değeri $\alpha=0,152/10*1000=15,2$ |
| 60. dakika | Absorbans değeri=0,144 | RES değeri $\alpha=0,144/10*1000=14,4$ |
| 120. dakika | Absorbans değeri=0,151 | RES değeri $\alpha=0,151/10*1000=15,1$ |
| 240. dakika | Absorbans değeri=0,148 | RES değeri $\alpha=0,148/10*1000=14,8$ |
| 1600. dakika | Absorbans değeri=0,117 | RES değeri $\alpha=0,117/10*1000=11,7$ |

$\lambda = 525 \text{ nm}$ dalga boyu için;

| | | |
|------------|------------------------|--|
| 0. dakika | Absorbans değeri=0,115 | RES değeri $\alpha=0,115/10*1000=11,5$ |
| 5. dakika | Absorbans değeri=0,110 | RES değeri $\alpha=0,110/10*1000=11$ |
| 10. dakika | Absorbans değeri=0,106 | RES değeri $\alpha=0,106/10*1000=10,6$ |
| 20. dakika | Absorbans değeri=0,124 | RES değeri $\alpha=0,124/10*1000=12,4$ |
| 30. dakika | Absorbans değeri=0,120 | RES değeri $\alpha=0,120/10*1000=12$ |

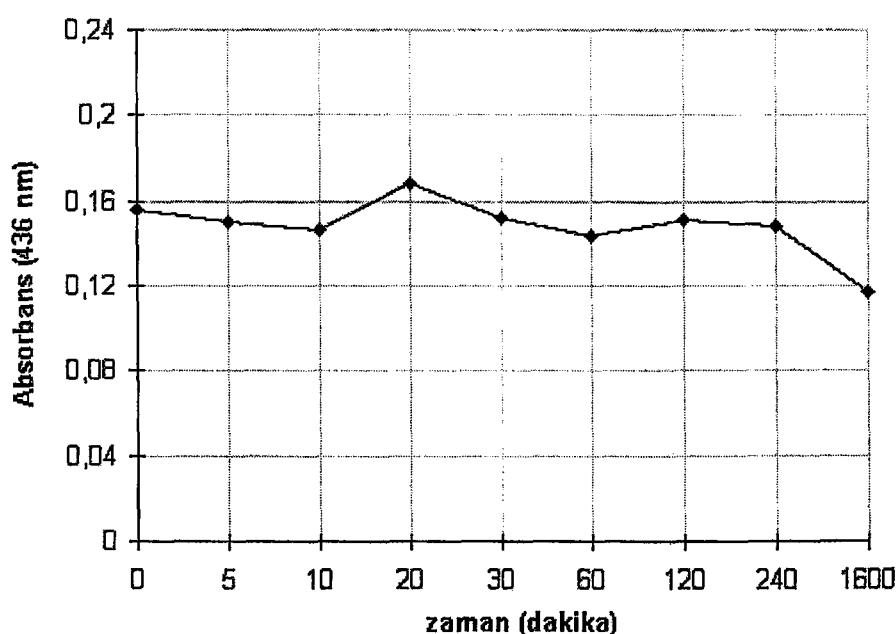
| | | |
|--------------|------------------------|--|
| 60. dakika | Absorbans değeri=0,104 | RES değeri $\alpha=0,104/10*1000=10,4$ |
| 120. dakika | Absorbans değeri=0,104 | RES değeri $\alpha=0,104/10*1000=10,4$ |
| 240. dakika | Absorbans değeri=0,102 | RES değeri $\alpha=0,102/10*1000=10,2$ |
| 1600. dakika | Absorbans değeri=0,085 | RES değeri $\alpha=0,085/10*1000=8,5$ |

$\lambda = 620 \text{ nm}$ dalga boyu için;

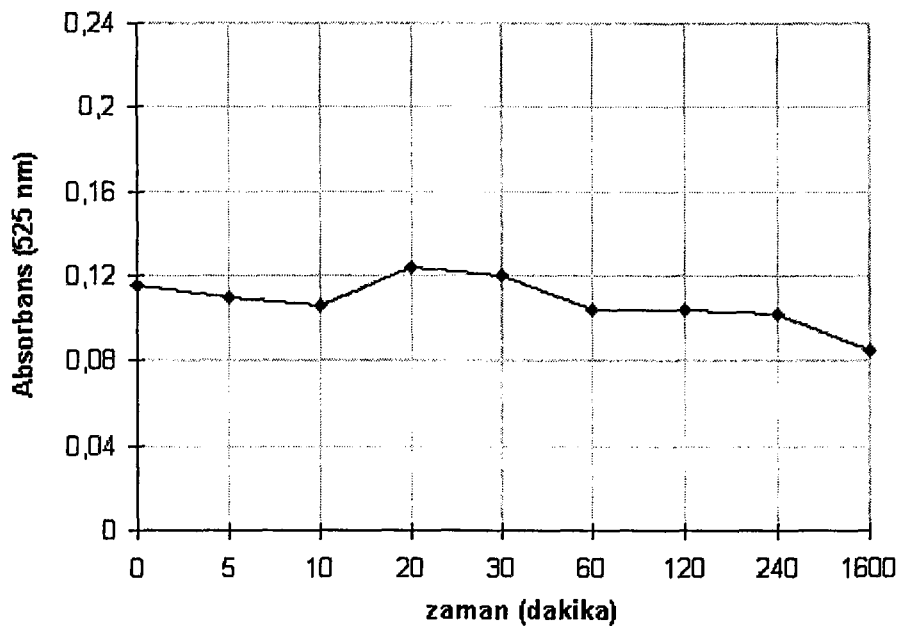
| | | |
|--------------|------------------------|---------------------------------------|
| 0. dakika | Absorbans değeri=0,091 | RES değeri $\alpha=0,091/10*1000=9,1$ |
| 5. dakika | Absorbans değeri=0,088 | RES değeri $\alpha=0,088/10*1000=8,8$ |
| 10. dakika | Absorbans değeri=0,085 | RES değeri $\alpha=0,085/10*1000=8,5$ |
| 20. dakika | Absorbans değeri=0,098 | RES değeri $\alpha=0,098/10*1000=9,8$ |
| 30. dakika | Absorbans değeri=0,090 | RES değeri $\alpha=0,090/10*1000=9$ |
| 60. dakika | Absorbans değeri=0,087 | RES değeri $\alpha=0,087/10*1000=8,7$ |
| 120. dakika | Absorbans değeri=0,087 | RES değeri $\alpha=0,087/10*1000=8,7$ |
| 240. dakika | Absorbans değeri=0,086 | RES değeri $\alpha=0,086/10*1000=8,6$ |
| 1600. dakika | Absorbans değeri=0,070 | RES değeri $\alpha=0,070/10*1000=7$ |

Tablo 8.5 $\lambda = 436 \text{ nm}$, $\lambda = 525 \text{ nm}$ ve $\lambda = 620 \text{ nm}$ dalga boyları için zamana göre renk giderim verimleri

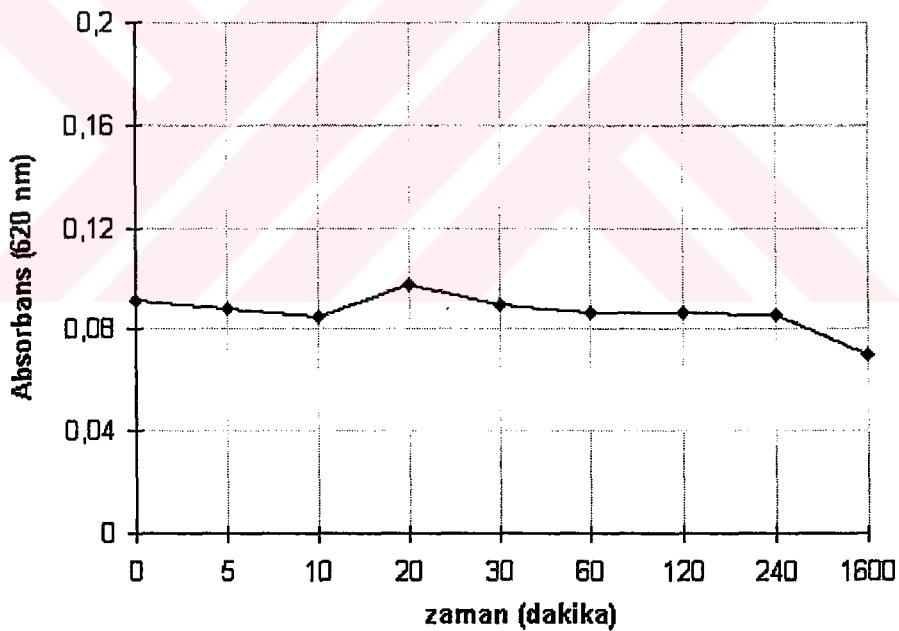
| Zaman (dk) | $\lambda = 436 \text{ nm}$ | | | $\lambda = 525 \text{ nm}$ | | | $\lambda = 620 \text{ nm}$ | | |
|---------------|---|---|-------------------------|---|---|-------------------------|---|---|-------------------------|
| | Giriş rengi (m ⁻¹) RES | Çıkış rengi (m ⁻¹) RES | Renk giderimi (%) | Giriş rengi (m ⁻¹) RES | Çıkış rengi (m ⁻¹) RES | Renk giderimi (%) | Giriş rengi (m ⁻¹) RES | Çıkış rengi (m ⁻¹) RES | Renk giderimi (%) |
| 0 | 59 | 15,6 | 73,6 | 45 | 11,5 | 74,5 | 32,4 | 9,1 | 72 |
| 5 | 59 | 15 | 75 | 45 | 11 | 76 | 32,4 | 8,8 | 73 |
| 10 | 59 | 14,6 | 75 | 45 | 10,6 | 76,5 | 32,4 | 8,5 | 74 |
| 20 | 59 | 16,8 | 72 | 45 | 12,4 | 73 | 32,4 | 9,8 | 70 |
| 30 | 59 | 15,2 | 74 | 45 | 12 | 73 | 32,4 | 9 | 72 |
| 60 | 59 | 14,4 | 76 | 45 | 10,4 | 77 | 32,4 | 8,7 | 73 |
| 120 | 59 | 15,1 | 74 | 45 | 10,4 | 77 | 32,4 | 8,7 | 73 |
| 240 | 59 | 14,8 | 75 | 45 | 10,2 | 77,4 | 32,4 | 8,6 | 74 |
| 1600 | 59 | 11,7 | 80 | 45 | 8,5 | 81 | 32,4 | 7 | 78 |



Şekil 8.10 436 nm'de ölçülen absorbans-zaman grafiği



Şekil 8.11 525 nm'de ölçülen absorbans-zaman grafiği



Şekil 8.12 620 nm'de ölçülen absorbans-zaman grafiği

Elde edilen grafiklere bakıldığında; 0. dakikada alınan numunenin $\lambda=436$ nm'deki RES değeri $15,6 \text{ m}^{-1}$ olarak ölçülmüştür. Renk giderim verimi %73,6'dır. Aynı dalga boyunda 1600 dakika da alınan numunenin RES değeri ise $11,7 \text{ m}^{-1}$ dir, verim ise %80'dir. Aynı şekilde $\lambda=525$ nm için 0. dakikadaki RES değeri $11,5 \text{ m}^{-1}$, renk

giderim verimi %74,5 olmuştur. 1600 dakika ise RES değeri $8,5 \text{ m}^{-1}$, verim %81'dur. $\lambda=620 \text{ nm}$ için 0. dakikada RES değeri $9,1 \text{ m}^{-1}$, verim %72, 1600 dakikada $\text{RES}=7 \text{ m}^{-1}$, verim %78'dır.

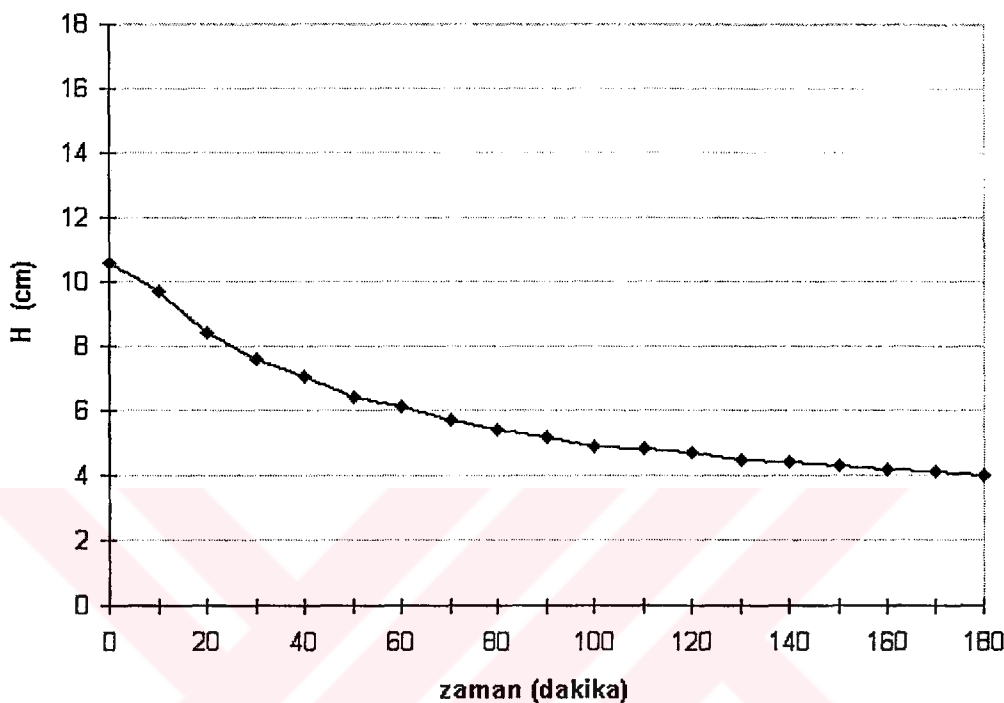
8.5 Çökelme Kinetiği

1,5 saatlik karıştırma süreci sonunda laboratuar ortamındaki ardışık kesikli biyoreaktördeki aktif çamur yüksekliği her 10 dakikada bir 3 saat boyunca ölçülerek yükseklik – zaman (Şekil 8.13, Şekil 8.15), çökelme hızı – zaman (Şekil 8.14, Şekil 8.16) grafikleri oluşturulmuştur. Bu grafikler, Şekil 6.12 ve Şekil 6.13 ile karşılaştırılmış ve sonuçlar yorumlanmıştır.

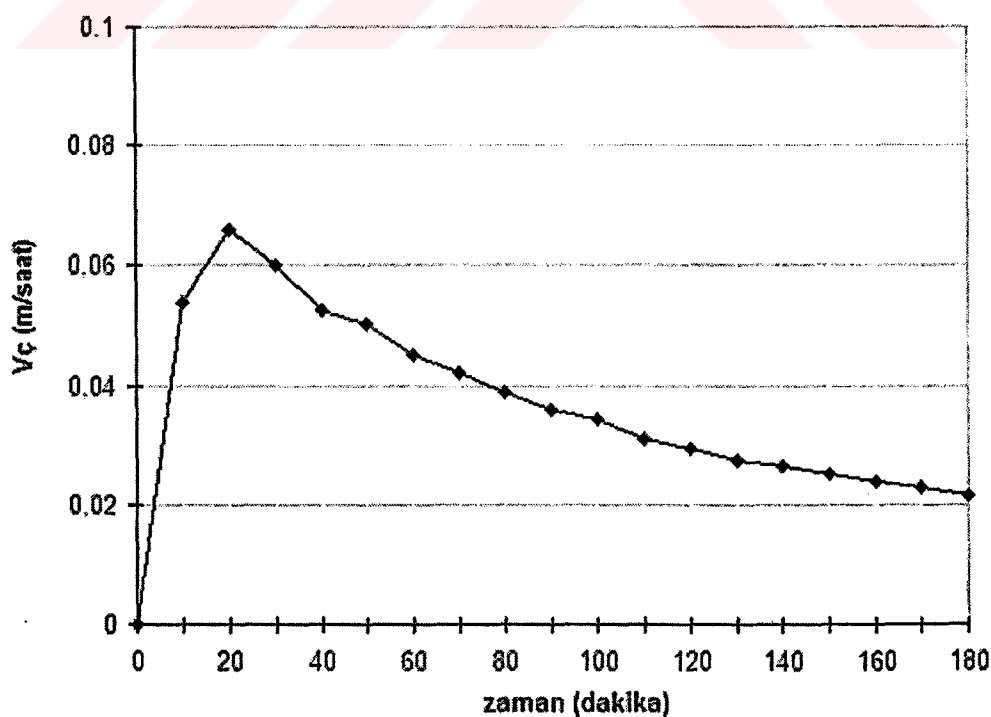
Tablo 8.6 10,6 cm sıvı yüksekliği için elde edilen aktif çamur yükseklikleri, aktif çamurun katettiği mesafe ve çökelme hızı değerleri

| Zaman (dk) | Sıvı yüksekliği=10,6 cm | | | |
|------------|-----------------------------|-------------------------------------|-------------------------------|--------------------------------|
| | Aktif çamur yüksekliği (cm) | Aktif çamurun katettiği mesafe (cm) | Çökelme hızı (V_c , cm/dk) | Çökelme hızı (V_c , m/saat) |
| 0 | 10,6 | 0 | 0 | 0 |
| 10 | 9,7 | 0,9 | 0,09 | 0,054 |
| 20 | 8,4 | 2,2 | 0,11 | 0,066 |
| 30 | 7,6 | 3 | 0,1 | 0,06 |
| 40 | 7,05 | 3,5 | 0,0875 | 0,0525 |
| 50 | 6,4 | 4,2 | 0,084 | 0,0504 |
| 60 | 6,1 | 4,5 | 0,075 | 0,045 |
| 70 | 5,7 | 4,9 | 0,07 | 0,042 |
| 80 | 5,4 | 5,2 | 0,065 | 0,039 |
| 90 | 5,2 | 5,4 | 0,06 | 0,036 |
| 100 | 4,9 | 5,7 | 0,057 | 0,0342 |
| 110 | 4,8 | 5,8 | 0,052 | 0,0312 |
| 120 | 4,7 | 5,9 | 0,049 | 0,0294 |
| 130 | 4,5 | 6,1 | 0,046 | 0,0276 |
| 140 | 4,4 | 6,2 | 0,044 | 0,0264 |
| 150 | 4,3 | 6,3 | 0,042 | 0,0252 |
| 160 | 4,2 | 6,4 | 0,04 | 0,024 |
| 170 | 4,1 | 6,5 | 0,038 | 0,0228 |
| 180 | 4 | 6,6 | 0,036 | 0,0216 |

Laboratuar ortamındaki ardışık kesikli reaktör düzeneği ile yapılan deneylerde mevcut sıvı yüksekliği 10,6 cm'dir. Mevcut sıvı yüksekliği referans alınarak yapılan aktif çamur çökelme yükseklik değerleri aşağıdaki grafikde yer almaktadır.



Şekil 8.13 10,6 cm sıvı yüksekliği referans alınarak elde edilen yükseklik-zaman grafiği

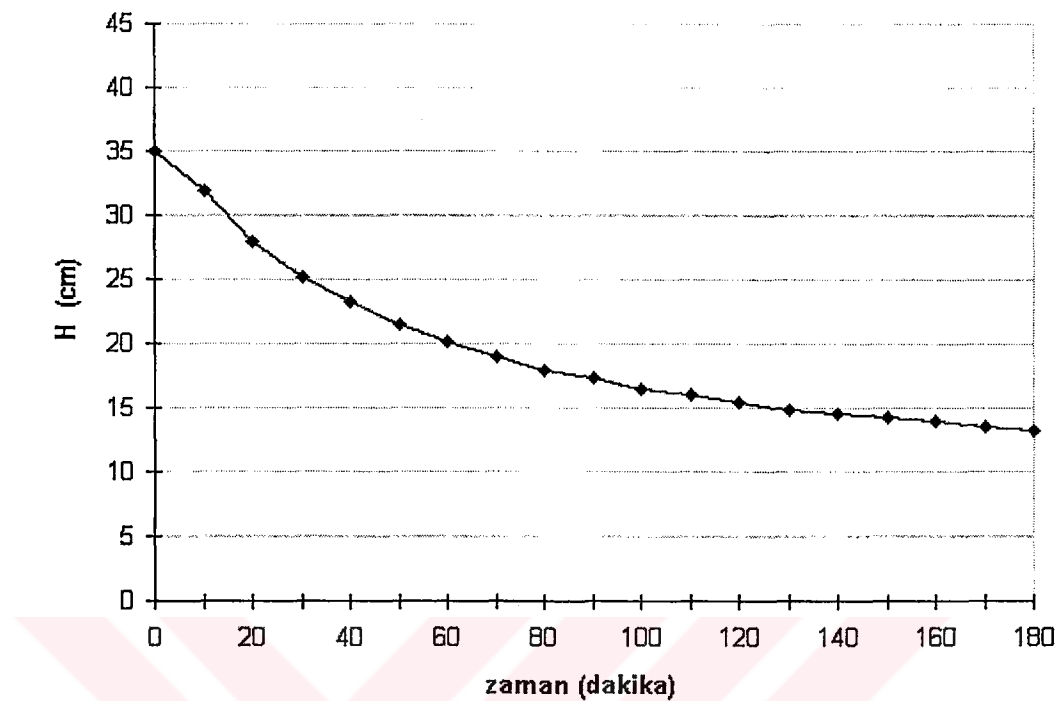


Şekil 8.14 10,6 cm sıvı yüksekliği referans alınarak elde edilen çökelme hızı-zaman grafiği

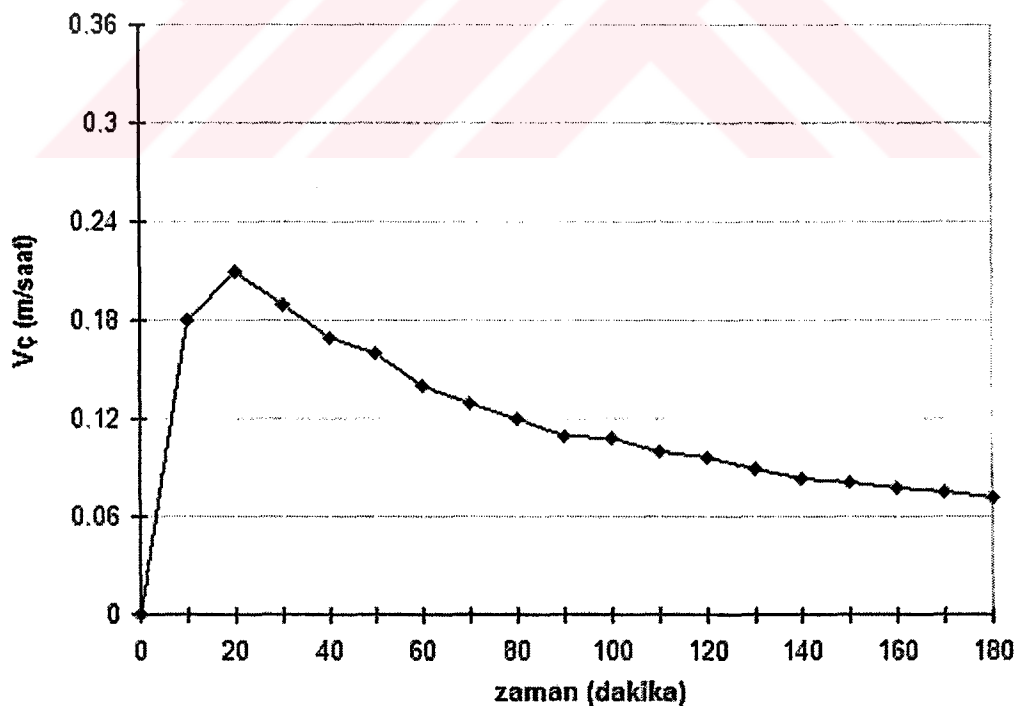
Tablo 8.7 35 cm sıvı yüksekliği için elde edilen aktif çamur yükseklikleri, aktif çamurun katettiği mesafe ve çökelme hızı değerleri

| Zaman (dk) | Sıvı yüksekliği=35 cm | | | |
|------------|-----------------------------|-------------------------------------|---------------------------|----------------------------|
| | Aktif çamur yüksekliği (cm) | Aktif çamurun katettiği mesafe (cm) | Çökelme hızı (Vç , cm/dk) | Çökelme hızı (Vç , m/saat) |
| 0 | 35 | 0 | 0 | 0 |
| 10 | 31,9 | 3,1 | 0,31 | 0,18 |
| 20 | 27,9 | 7,1 | 0,35 | 0,21 |
| 30 | 25,1 | 9,9 | 0,33 | 0,19 |
| 40 | 23,2 | 11,7 | 0,29 | 0,17 |
| 50 | 21,4 | 13,6 | 0,27 | 0,16 |
| 60 | 20,1 | 14,9 | 0,24 | 0,14 |
| 70 | 18,9 | 16,1 | 0,23 | 0,13 |
| 80 | 17,9 | 17,1 | 0,21 | 0,12 |
| 90 | 17,3 | 17,7 | 0,19 | 0,11 |
| 100 | 16,4 | 18,6 | 0,18 | 0,108 |
| 110 | 16,1 | 18,9 | 0,17 | 0,10 |
| 120 | 15,5 | 19,5 | 0,16 | 0,096 |
| 130 | 14,9 | 20,1 | 0,15 | 0,09 |
| 140 | 14,5 | 20,5 | 0,14 | 0,084 |
| 150 | 14,2 | 20,8 | 0,135 | 0,081 |
| 160 | 13,9 | 21,1 | 0,13 | 0,078 |
| 170 | 13,6 | 21,4 | 0,125 | 0,075 |
| 180 | 13,3 | 21,7 | 0,121 | 0,072 |

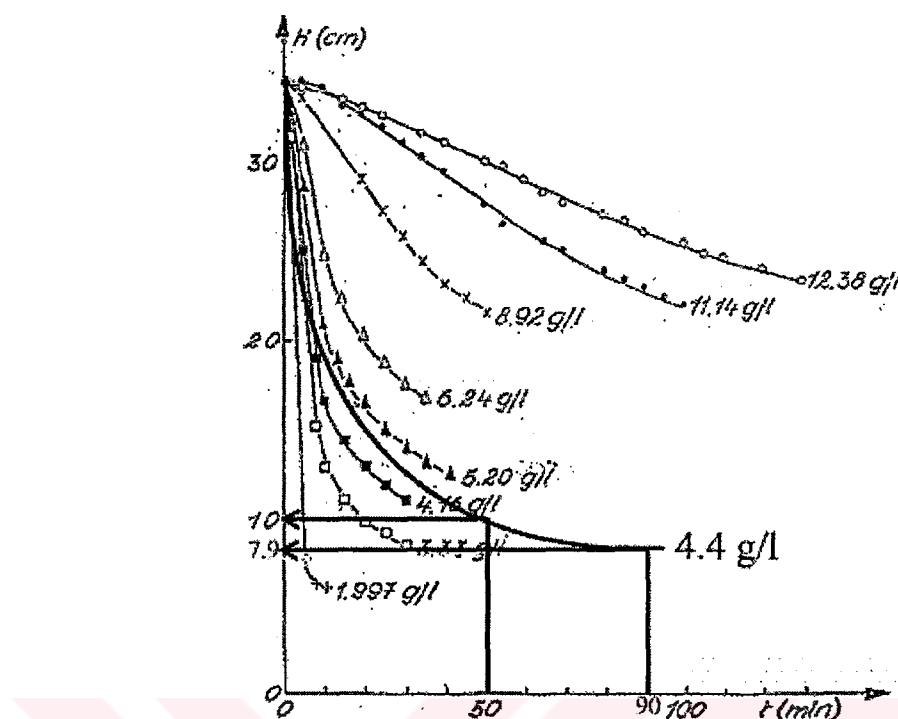
Literatür çalışmasından elde edilen farklı aktif çamur konsantrasyonları için verilen statik çökelme eğrileri (Şekil 6.12) dikkate alındığında 35 cm sıvı yüksekliğinin referans alındığı görülmüştür. Deneylerden elde edilen sonuçların literatür bilgileri ile sağlıklı bir şekilde karşılaştırılabilmesi amacıyla bir çökeltim deneyi daha yapılmış ve burada aktif çamur 35 cm yüksekliğinde silindir bir behere konarak aktif çamur yükseklikleri tespit edilmiş ve grafiğe aktarılmıştır.



Şekil 8.15 35 cm sıvı yüksekliği referans alınarak elde edilen yükseklik-zaman grafiği

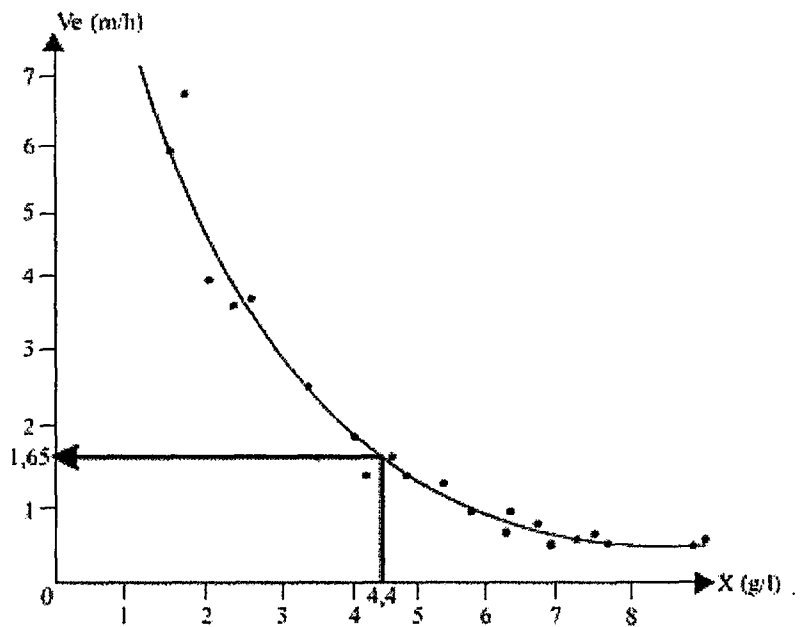


Şekil 8.16 35 cm sıvı yüksekliği referans alınarak elde edilen çökelme hızı-zaman grafiği



Şekil 8.17 Süt endüstrisi atıksuyundan gelen farklı aktif çamur konsantrasyonları için statik çökelme eğrileri ile 4.4 g/l biyokütle konsantrasyonunun karşılaştırılması [56]

Şekil 8.15'i incelediğimizde; 50 dakika zaman aralığına denk gelen çamur yüksekliği 21,4 cm'dir. Literatürden elde ettiğimiz süt endüstrisi atıksuyundan gelen farklı aktif çamur konsantrasyonları için statik çökelme eğrilerine baktığımızda (Şekil 6.12) ise Aydın Örme tekstil firması atıksu arıtma tesisi ait biyokütle konsantrasyonu $X=4,4$ g/l değerinin statik çökelme eğrisi için 50 dakika zaman aralığındaki çamur yüksekliği değeri 10 cm olmuştur (Şekil 8.17). Aydın Örme tekstil firması atıksu arıtma tesisinde uygulanan 1,5 saatlik (90 dakika) çökelme süresi dikkate alındığında ise, 90 dakikalık süre sonundaki çamur yüksekliği 17,3 cm olurken, literatürdeki $X=4,4$ g/l'ye denk gelen değer 7,9 cm olmuştur.



Şekil 8.18 Kanalizasyon aktif çamuru için çamur konsantrasyonu ve çökelme hızı arasındaki ilişkinin 4,4 g/l biyokütle konsantrasyonu için karşılaştırılması [56]

Çökelme hızı-zaman arasındaki ilişkiyi ifade eden grafiğe (Şekil 8.16) baktığımızda ise Aydın Örme teknik firması atıksu arıtma tesisi havalandırma havuzuna ait aktif çamur, ortalama 0,11 m/saat'lık bir hız ile çökelirken, literatürdeki evsel aktif çamuru için çamur konsantrasyonu ve çökelme hızı arasındaki ilişkiyi açıklayan grafikte (Şekil 6.13) ise, 4,4 g/l biyokütle konsantrasyonu için ortalama hız 1,65 m/saat olmaktadır (Şekil 8.18).

BÖLÜM 9. SONUÇLAR

Ardışık Kesikli Reaktörlerin (AKR) tekstil endüstrisi atıksularının arıtılmasında kullanılabilirliğinin incelendiği bu çalışmada ilk olarak; Aydın Örme tekstil endüstrisi atıksu arıtma tesisine ait çıkış suyu BOI₅'sinin (S_e), reaksiyon süresi (t_r) ile değişimi ve bu değişime etki eden reaksiyon sabiti (k) parametresi araştırılmıştır. Aydın Örme tekstil endüstrisi atıksu arıtma tesisine ait S_o , Q , V_b , V_a , V_{ab} , S_e parametrelerinin ortalama değerleri belirlenmiş ve literatürdeki denklemde yerine koyularak doldurma sürecinin sonundaki substrat konsantrasyonu (S_f) elde edilmiştir. Elde edilen değere farklı reaksiyon süreleri (t_r) uygulanarak çıkış suyu (S_e) konsantrasyonları elde edilmiştir. Bulunan sonuçlar grafiklere aktarılmıştır. Teorik çalışmada ($S_o=350 \text{ mg/l}$, $k=0.21 \text{ sa}^{-1}$) , 1,5 saatlik reaksiyon süresi için BOI₅ değeri $41.5 \text{ mg BOI}_5/\text{l}$ dir. Faaliyette olan sistemin BOI₅ değeri ($43 \text{ mg BOI}_5/\text{l}$) ile teorik denklemden elde edilen BOI₅ değerinin ($41.5 \text{ mg BOI}_5/\text{l}$) birbirlerine yakın olduğu gözlemlenmiştir. Diğer bir teorik çalışmada ise ($S_o=2700 \text{ mg/l}$, $k=0.8 \text{ sa}^{-1}$), 1,5 saatlik reaksiyon süresi için BOI₅ değeri $57.1 \text{ mg BOI}_5/\text{l}$ dir. Faaliyette olan sistemin BOI₅ değeri ($59 \text{ mg BOI}_5/\text{l}$) ile teorik denklemden elde edilen BOI₅ değerinin ($57.1 \text{ mg BOI}_5/\text{l}$) birbirlerine yakın olduğu gözlemlenmiştir. Ardışık Kesikli Reaktörlerin tekstil endüstrisi atıksularının biyolojik arıtımında kullanılabileceği ve teorik çalışmada kullanılan denkleminde optimum işletme şartlarında Ardışık Kesikli Reaktör kinetiğini temsil edebileceği sonucuna varılmıştır.

Yapılan deneysel çalışmalarla; Aydın Örme tekstil firmasının işleyen ardışık kesikli reaktör atıksu arıtma tesisinden alınan aktif çamura ve havalandırma havuzu giriş suyuna eklenen 3 farklı beyaz çürükçülün renk giderim verimleri gözlemlenmiştir. İşleyen sistemden alınan aktif çamur ve giriş suyu ile laboratuar ortamında yapılan deneylerde ilave edilen canlı hücrelerin tekstil atıksularındaki renk giderim verimini artttığı belirlenmiştir.

Rengi giderilmesi istenen Aydın Örme San. ve Tic. A.Ş. arıtma tesisi giriş suyunun özellikleri şunlardır; RES (436 nm) için 59 m^{-1} , RES (525 nm) için 45 m^{-1} , RES (620 nm) için $32,4 \text{ m}^{-1}$ dir. Hücre ilavesiz ve 3 farklı beyaz çürükçülün teker teker ilave edilmesiyle toplam 4 adet deney yapılmıştır.

Hücre ilave edilmeden yapılan deneylerde 0-1600 dakika zaman aralığında 0, 5, 10, 20, 30, 60, 120, 240, 1600 dakika aralıklarla alınan numunelerin renk okumalarına baktığımızda; 1,5 saat reaksiyon ve 1,5 saat de çökelme süresi olmak üzere toplam 3 saatlik sürecin sonunda 0. dakikada alınan numunenin $\lambda=436 \text{ nm}$ 'deki RES değeri $10,1 \text{ m}^{-1}$ olarak ölçülmüştür. Sistemin renk giderim verimi %83'dür. 1600 dakika sonra alınan numunenin $\lambda=436 \text{ nm}$ 'deki RES değeri ise $9,5 \text{ m}^{-1}$ dir. 1600 dakikalık (yaklaşık 1 gün) bekleme sürecinin sonunda elde edilen renk giderim verimi %84 olmuştur. $\lambda=525 \text{ nm}$ 'deki ölçüm sonuçlarına baktığımızda; 0. dakikadaki RES değeri $9,7 \text{ m}^{-1}$, renk giderim verimi %78 olmuştur. 1600 dakika ise RES değeri $7,3 \text{ m}^{-1}$ 'e düşmüştür, verim % 84'dür. $\lambda=620 \text{ nm}$ 'de ise 0. dakikada RES değeri $5,7 \text{ m}^{-1}$ iken 1600 dakikada RES= $5,5 \text{ m}^{-1}$, verim ise her iki zaman süreci için %83 olarak kalmıştır.

Phanerochacta chrysosporium canlı biyokütlesi ile yapılan deneylerde 0-1600 dakika zaman aralığında 0, 5, 10, 20, 30, 60, 120, 240, 1600 dakika aralıklarla alınan numunelerin renk okumalarına baktığımızda ise; 1,5 saat reaksiyon ve 1,5 saat de çökelme süresi olmak üzere toplam 3 saatlik sürecin sonunda 0. dakikada alınan numunenin $\lambda=436 \text{ nm}$ 'deki RES değeri $19,3 \text{ m}^{-1}$ olarak ölçülmüştür. Renk giderim verimi %67'dir. Aynı dalga boyunda 1600 dakika da alınan numunenin RES değeri ise $13,4 \text{ m}^{-1}$ dir, verim ise %77'dir. Aynı şekilde $\lambda=525 \text{ nm}$ için 0. dakikadaki RES değeri $16,2 \text{ m}^{-1}$, renk giderim verimi %64 olmuştur. 1600 dakika ise RES değeri $9,5 \text{ m}^{-1}$ dir, verim % 79'dur. $\lambda=620 \text{ nm}$ için 0. dakikada RES değeri $10,2 \text{ m}^{-1}$, verim %68,5, 1600 dakikada RES= $7,9 \text{ m}^{-1}$, verim %76'dır. Bulunan sonuçlara baktığımızda; 1,5 saatlik reaksiyon ve 1,5 saatlik de çökelme süresine ilave olarak beklenilen 1600 dakikalık sürenin verimi ortalama %10-11 civarında arttırdığı saptanmıştır.

Trametes versicolor canlı biyokütlesi ile yapılan deneylerde 0-1600 dakika zaman aralığında 0, 5, 10, 20, 30, 60, 120, 240, 1600 dakika aralıklarla alınan numunelerin renk okumalarına baktığımızda ise; 1,5 saat reaksiyon ve 1,5 saat de çökelme süresi olmak üzere toplam 3 saatlik sürecin sonunda 0. dakikada alınan numunenin $\lambda=436$ nm'deki RES değeri $17,4 \text{ m}^{-1}$ olarak ölçülmüştür. Renk giderim verimi %71'dir. Aynı dalga boyunda 1600 dakika da alınan numunenin RES değeri ise $9,7 \text{ m}^{-1}$ 'dir, verim ise %83,5'dir. Aynı şekilde $\lambda=525$ nm için 0. dakikadaki RES değeri $12,4 \text{ m}^{-1}$, renk giderim verimi %72 olmuştur. 1600 dakika ise RES değeri $6,9 \text{ m}^{-1}$ dir, verim %85'dur. $\lambda=620$ nm için 0. dakikada RES değeri $9,7 \text{ m}^{-1}$, verim %70, 1600 dakikada RES= $6,5 \text{ m}^{-1}$, verim %80'dir. Bulunan sonuçlara baktığımızda; 1,5 saatlik reaksiyon ve 1,5 saatlik de çökelme süresine ilave olarak beklenilen 1600 dakikalık sürenin verimi ortalama %11-12 civarında arttırdığı saptanmıştır.

Pleurotus sajur-caju canlı biyokütlesi ile yapılan deneylerde 0-1600 dakika zaman aralığında 0, 5, 10, 20, 30, 60, 120, 240, 1600 dakika aralıklarla alınan numunelerin renk okumalarına baktığımızda ise; 1,5 saat reaksiyon ve 1,5 saat de çökelme süresi olmak üzere toplam 3 saatlik sürecin sonunda 0. dakikada alınan numunenin $\lambda=436$ nm'deki RES değeri $15,6 \text{ m}^{-1}$ olarak ölçülmüştür. Renk giderim verimi %73,6'dır. Aynı dalga boyunda 1600 dakika da alınan numunenin RES değeri ise $11,7 \text{ m}^{-1}$ dir, verim ise %80'dir. Aynı şekilde $\lambda=525$ nm için 0. dakikadaki RES değeri $11,5 \text{ m}^{-1}$, renk giderim verimi %74,5 olmuştur. 1600 dakika ise RES değeri $8,5 \text{ m}^{-1}$ dir, verim %81'dur. $\lambda=620$ nm için 0. dakikada RES değeri $9,1 \text{ m}^{-1}$, verim %72, 1600 dakikada RES= 7 m^{-1} , verim %78'dir. Bulunan sonuçlara baktığımızda; 1,5 saatlik reaksiyon ve 1,5 saatlik de çökelme süresine ilave olarak beklenilen 1600 dakikalık sürenin verimi ortalama %6-7 civarında arttırdığı saptanmıştır.

Aydın Örme tekstil endüstrisinde mevcut işletilmekte olan ardışık kesikli reaktörün 1,5 saatlik reaksiyon ve 1,5 saatlik çökelme süreci olmak üzere toplam 3 saatlik sürenin sonunda renk giderim verimi 436 nm için %83, 525 nm için %78 ve 620 nm için %83 olmuştur. 3 saatlik süreye ilave olarak beklenilen 24 saatin sonucunda ise renk giderim verimi 436 nm için %84, 525 nm için %84 ve 620 nm için %83 olmuştur. 1,5 saatlik reaksiyon süresi ve 1,5 saatlik çökelme süresi olmak üzere toplam 3 saatlik tekstil atıksuyu ve klasik aktif çamurun temasından sonra arıtilmış

sudaki yapılan renk ölçüm sonuçlarına göre arada önemli bir fark olmadığı, değerlerin birbirine çok yakın görülmüştür. Elde edilen sonuçlar doğrultusunda, reaksiyon (1,5 saat) ve çökelme süresi (1,5 saat) olmak üzere toplam 3 saatin sonunda renk giderim sonuç noktasına varıldığı görülmektedir. 3 saate ilave olarak beklenen 24 saatin renk giderici bir etkisi olmamıştır.

Aydın Örme tekstil endüstrisi mevcut atıksu arıtma sisteminden alınan aktif çamur ve ham atıksu üzerine *Phanarochacta chrysosporium*, *Trametes versicolor*, *Pleurotus sajur-caju* hücrelerinin ayrı ayrı ilave edilmesi ile yapılan üç farklı ileri aktif çamurlu ardışık kesikli biyoreaktör çalışmalarında ise; 620 nm ve 0. dakika (1,5 saat reaksiyon ve 1,5 saat çökelme süresi sonu) dikkate alındığında sırası ile renk giderim verimleri; %68,5, %70, %72 olduğu görülmektedir. 620 nm ve 1600. dakika (1,5 saat reaksiyon ve 1,5 saat çökelme süresine ilave olarak) dikkate alındığında sırası ile renk giderim verimleri; %76, %80, %78 olduğu ve hücreler arasında büyük farklılıklar olmadığı görülmektedir. Klasik aktif çamur (yeni hücre ilave edilmemiş) ile ileri aktif çamur (yeni hücre ilave edilmiş) sistemleri tekstil endüstrisindeki renk giderim verimleri açısından karşılaştırıldığında; klasik aktif çamur için 1600 dakika ilave beklemenin verimde bir artışa sebep olmadığı fakat ileri aktif çamur için ise 1600 dakikalık ilave beklemenin renk giderim veriminde yaklaşık %10'luk bir artışa neden olduğu gözlemlenmiştir. Buna sebep olarak, klasik aktif çamurun optimum çamur yaşına erişmiş olmasına (4,6 gün) rağmen, ileri aktif çamur için ise optimum çamur yaşı oluşmasının devam etmekte olduğu söylenebilir. Ayrıca optimum çamur yaşı oluşum süresince de biyolojik parçalanabilirlik artabilmektedir.

Yapılan literatür çalışmalarında [54, 56]; klasik aktif çamur son çökeltim havuzundaki engelli çökeltim kinetiği ve davranış modeli incelenmiş ve ardışık kesikli reaktör sistemlerindeki çökelme kinetiğinin genel olarak engelli çökelme kinetiğine uygun olabileceği düşünülmüştür. Yapılan deneysel çalışmalarla da bunun uygunluğu saptanmaya çalışılmış, elde edilen veriler doğrultusunda yükseklik-zaman ve çökelme hızı-zaman grafikleri $h_0=10,6$ cm ve $h_0=35$ cm için çizilmiştir (Şekil 8.13, Şekil 8.14, Şekil 8.15, Şekil 8.16). Aydin Örme tekstil firması atıksu arıtma tesisi havalandırma havuzundan alınan aktif çamur ile $h_0=35$ cm'ye uygun olarak yapılan çökeltim deneylerinden elde edilen verilerle statik çökelme eğrisi

çizilmiştir (Şekil 8.15). Bu grafiği incelediğimizde; 50 dakika zaman aralığına denk gelen çamur yüksekliği 21,4 cm'dir. Literatürden elde ettiğimiz süt endüstrisi atıksuyundan gelen farklı aktif çamur konsantrasyonları için statik çökelme eğrilerine baktığımızda (Şekil 6.12) ise Aydın Örme tekstil firması atıksu arıtma tesisine ait biyokütle konsantrasyonu $X=4,4 \text{ g/l}$ değerinin statik çökelme eğrisi için 50 dakika zaman aralığındaki çamur yüksekliği değeri 10 cm olmuştur. Aydın Örme tekstil firması atıksu arıtma tesisiinde uygulanan 1,5 saatlik (90 dakika) çökelme süresi dikkate alındığında ise, 90 dakikalık süre sonundaki çamur yüksekliği 17,3 cm olurken, literatürdeki $X=4,4 \text{ g/l}'ye$ denk gelen değer 7,9 cm olmuştur. Literatürdeki grafikden elde edilen değer (50 dakika için 10 cm ve 90 dakika için 7,9 cm) ile deneysel çalışmalarдан elde edilen değerlerin (50 dakika için 21,4 cm ve 90 dakika için 17,3 cm) üst üste çakışmadığı görülmektedir.

Çökelme hızı-zaman arasındaki ilişkiyi ifade eden grafiğe (Şekil 8.16) baktığımızda ise Aydın Örme tekstil firması atıksu arıtma tesisi havalandırma havuzuna ait aktif çamur, ortalama $0,11 \text{ m/saat}'lik$ bir hız ile çökelirken, literatürdeki evsel aktif çamuru için çamur konsantrasyonu ve çökelme hızı arasındaki ilişkiyi açıklayan grafikte (Şekil 6.13) ise, $4,4 \text{ g/l}$ biyokütle konsantrasyonu için ortalama hız $1,65 \text{ m/saat}$ olmaktadır.

Sonuç olarak, klasik aktif çamur son çökeltim havuzundaki çökelme kinetiği (engelli çökelme kinetiği) davranış modeli ile ardışık kesikli reaktör çamur çökelme kinetik modelinin bire bir benzerlik göstermediği sonucuna varılmıştır.

KAYNAKLAR

- [1] Metcalf and Eddy. Inc., Wastewater Engineering, NY; McGraw-Hill, 1991.
- [2] Wilderer, A.P., Irvine, L. R. And Goronszy, C. M., Sequencing Batch Reactor Technology. Scientific and Technical Report, IWA, 2001.
- [3] Tünay, O., Endüstriyel Kirlenme Kontrolü, İstanbul Teknik Üniversitesi, 1996.
- [4] Şengül, F., Endüstriyel Atıksuların Arıtılması, 9 Eylül Üniversitesi, İzmir, 1989.
- [5] Gezergen Asma, S., Tekstil Sanayi Atıksularının Arıtılması Üzerine Bir Araştırma, Yüksek Lisans tezi, Gebze İleri Teknoloji Enstitüsü Mühendislik ve Fen Bilimleri Enstitüsü, 1998.
- [6] Anış, P., Tekstil Ön Terbiyesi, Uludağ Üniversitesi, 1998.
- [7] Kocaer, F. O., Aklan, U., Boyar Madde İçeren Tekstil Atıksularının Arıtım Alternatifleri, Uludağ Üniversitesi, Mühendislik-Mimarlık Fakültesi Dergisi, Cilt 7, Sayı 1, 2002.
- [8] Akgün, T., Adsorpsiyon Teknikleriyle Tekstil Atıksularının Renklerinin Giderilmesi, Yüksek Lisans Tezi, İstanbul Üniversitesi, Fen Bilimleri Enstitüsü, 1999.
- [9] Selçuk, H., Tekstil Atıksularında Kimyasal Yöntemlerle Renk Giderilmesi, Yüksek Lisans Tezi, İstanbul Üniversitesi, Fen Bilimleri Enstitüsü, 1997.
- [10] Germirli, F., Physical-Chemical Systems for Treatment of Textile Dying Wastewaters, Yüksek Lisans Tezi, İ.T.Ü., 1986.
- [11] Göknil, H., Toröz, İ., Çimşit, Y., Endüstriyel Atıksuların Kontrol ve Kısıtlama Esasları Projesi, Tekstil Endüstrisi, Çevre Şehircilik Uygulama Araştırma Merkezi, İ.T.Ü., Aralık, 1984.
- [12] Su Kirliliği Kontrolü Yönetmeliği, 1988. T.C. Çevre Bakanlığı.
- [13] EPA, 1996. Manula Best Management Practices for Pollution Prevention in the Textile Industry, US Environmental Protection Agency, Office of Research and Development, EPA/625/R-96/004, Washington.
- [14] Yapraklı, B., Tekstil Endüstrisi Boyama Atıksularının Karakterizasyonu ve Biyolojik Arıtılabilirliği, Yüksek Lisans Tezi, İ.T.Ü., 1997.

- [15] Kırıl, B., Tekstil Atıksularından Koagülasyon Yöntemiyle Boyarmadde Giderimi, Yüksek Lisans Tezi, Sakarya Üniversitesi, 2002.
- [16] Koyugölge, T., Yünlü Tekstil Endüstrisi Atıksuyunun Biyolojik Arıtımı ve Renk Giderimi, Yüksek Lisans Tezi, İ.T.Ü., 1994.
- [17] Sevimli, M. F., Tekstil Endüstrisi Atıksularından Ozonlama İle Renk Giderimi ve Ozonlanmanın Biyolojik Arıtılabilirliğine Etkisi, 2000.
- [18] Correia, V. M., Stephonson, T. And Judd, S. J., 1994, Characterisation of Textile Wastewaters-A Rewiev, Environmental Technology, 15, 917-929.
- [19] Jamrah, I. A. And Abu-Ghunmi, N. L. Biological Treatment of Textile Wastewater Using Sequencing Batch Reactor Technology. Water Science & Technology, 2001, vol. 44, no. 5, pp 85-92.
- [20] Başbüyük, M., Yüceer, A., Yılmaz, T., Tekstil Atıksularında Renk Giderilmesinde Kullanılan İleri Teknolojiler, Kayseri I. Atıksu Sempozyumu, 1998.
- [21] Güneş, Y., Ozonlama Oksidasyonun Tekstil Endüstrisi Atıksalarının Arıtılabilirliğine Etkisi, Yüksek Lisans Tezi, İ.T.Ü., 1999.
- [22] Aydin, A.A., Kiyaklı, G. İçme Suyu Arıtımında Paket Sistemlerin Kullanılması, Bitirme Ödevi, İ.Ü. Müh. Fak. Çevre Mühendisliği, 1997.
- [23] Stahr, R. W., Boepple, C. P., Knocke, W. R., 1980. Textile Waste Treatment: Color Removal and Solids Handling Characteristics. Proc. 35, Purdue, 186-199.
- [24] Grau, P., 1991. Textile Industry Wastewaters Treatment. Wat. Sci. Techn., 24, 97-103.
- [25] Ganjidoust, H., Samadian, M., Deyhool, F., 1995. Removal of Dyes by Sorption on Soil From Textile Industries. Prep. 3rd Int. Conference Appropriate Waste Management Technologies for Developing Countries, 617-629, Nagpur, India.
- [26] Mehrotra, R., Prasad, S., Srivastav, B. K., 1995. Removal of Colour From Dye-House Effluents by Phisico-Chemical Processes. Prep. 3rd Int. Conference Appropriate Waste Management Technologies for Developing Countries, 617-629, Nagpur, India.
- [27] Panswad, T., Wongchaisuwan, S., 1986. Mechanismof Dye Wastewater Colour by Magnesium Carbonate-Hydrates Basic. Wat. Sci. Techn., 18, 3, 139-144.
- [28] Socha, K., 1991. Treatment of Textile Effluents, Textile Month, 12, 52-56.
- [29] Strickland, A. F. and Perkins, W. S. 1995. Decolorization of Continuous Dyeing Wastewater by Ozonation, Textile Chemist and Colorist, 27(5), 11-15.

- [30] Robinson, T. McMullan, G. Marchant, R. and Nigam, P. 2001. Remediation of Dyes in Textile Effluent: A Critacal Rewiev on Current Treatment Technologies With a Proposed Alternative, Bioresource Technology, 77, 247-255.
- [31] Kuo, W. G., Decolorization Dye Wastewater With Fenton's Reagent, Wat. Res. Vol. 26, No. 7, pp 881-886, 1992.
- [32] Slokar, Y. M. And Marechal, A.M.L. 1998. Methods of Decolorization of Textile Wastewaters, Dyes and Pigments, 37 (4), 335-356.
- [33] Kabdaşlı, I., Tünay, O., Artan, N., Orhon, D., Arcrylid Dyeing Wastewaters Characterization and Treatability, Prep, 3rd Int., Conf., Appropriate Waste Tech. For Deo. Countries, pp 339-348. India, 1995.
- [34] Ölmez, T., Tekstil Endüstrisinde Reaktif Boya Banyolarında Ozon İle Renk Giderimi, Yüksek Lisans Tezi, İ.T.Ü., 1999.
- [35] Vlyssides, A. G., Papaioannou, D. Loizidoy, M. Karlis, P. K. and Zorpas, A. A., 2000. Testing an Electrochemical Method for Treatment of Textile Dye Wastewater, Waste Management, 20, 569-574.
- [36] Tünay, O., Kabdaşlı, I., Eremektar, G., Orhon, D., Color Removal from Textile Wastewaters, Wat. Sci. Tech. Vol. 34, no. 11, pp 9-16, 1996.
- [37] Tünay, O., Tanılı, İ., Övez, S., Artan, N., Bir Tekstil Boyama Tesisinin Atıksularının Karakterizasyonu ve Arıtılabilirliği.
- [38] Rozzi, A., Antonelli, M. and Arcari, M., 1999. Membrane Treatment of Secondary Textile Effluents For Direct Reuse, Water Science and Technology, 40 (4-5), 409-416.
- [39] İnce, O., Endüstriyel Atıksuların Arıtma Verimini Artıran Yeni Bir Teknoloji; Membran Crossflow Ultrafiltrasyon Tekniği, İ.T.Ü. 2. Endüstriyel Kirlenme Sempozyumu, S. 109-118, İstanbul, 1990.
- [40] Wilmott, N., Guthrie, J. and Nelson, G., 1998. The Biotechnology Approach to Colour Removal From Textile Effluent, Journal of The Soiety of Dyers and Colorists, 114, 38-41.
- [41] Nigam, P., Banat, İ. M., Singh, D. and Marchant, R., 1996. Microbial Process for The Decolorization of Textile Effluent Containing Azo, Diazo and Reactive Dyes Processes, Biochemistry, 31 (5), 435-442.
- [42] Oneill, C., HAkwes, F. R., Hawkws, D. L., Esteves, S. and Wilcox, S. J., 2000. Anaerobic-Aerobic Biotreatment of Simulated Textile Effluent Containing Varied Ratios of Starch and Azo Dye, Water Research, 34 (8), 2355-2361.

- [43] Coughlin, M. F., Kinkle, B. K. Teper, A. and Bishop, P. L., 1997. Caharcterisation of Aerobic Azo-Dye Degrading Bacteria and Their Activity In Biofilms, Water Science and Technology, 36 (1), 215-220.
- [44] Palma, C. Moreira, M. T. Mielgo, I. Feijoo, G. and Lema, J. M., 1999. Use of Fungal Bioreactor As a Pretreatment or Post Treatment Step For Continuous Decolorization of Dyes, Water Science And Technology, 40 (8), 131-136.
- [45] Kapdan, İ. A. ve Kargı, F., 2000. Atıksulardan Tekstil Boyarmaddesinin Coriolus Versicolor İle Dolgulu Kolon Reaktörde Giderimi, İ.T.Ü. 7. Endüstriyel Kirlenme Kontrolü Sempozyumu, İstanbul, 1-7.
- [46] Oneill, C., Lopez, A., Estevez, S., Hawkes, F. R., Hawkes, D.L. and Wilcox, S., 2000. Azo Dye Degredation in an Anaerobic-Aerobic Treatment System Operating on Simulated Textile Effluent, Applied Microbiology and Biotechnology, 53, 249-254.
- [47] S. H. Lin ve C. F. Peng. Acontinous Fenton's Process for Treatment of Textile Wastewater. Environmental Technology, 16 pp. 693-699, 1995.
- [48] Aydin Örme Tekstil Fabrikası İşletme Notları
- [49] Şeker, S., İleri, R., Öztürk, M., Tekstil Endüstrisi Atıksularındaki Renk Sorununun Biyoteknolojik Metod İle Giderilmesi, Harran Üniversitesi, Mühendislik Fakültesi ve Ziraat Fakültesi, 2000 GAP-Çevre Kongresi, 16-18 Ekim 2000, Şanlıurfa.
- [50] Burcu Özerkan, Ardisık Kesikli Biyoreaktör ve Kinetiği, Bitirme Ödevi, 2001.
- [51] Sequencing Batch Reactor Technology, Peter A. Winderer, Robert L. Irvine and Mervyn C. Goronszy. Scientific and Technical Report No 10, IWA Publishing, 2001.
- [52] Demircanlı, Ü., Renkli Tekstil Atıksularının Arıtılması Üzerine Bir Araştırma, Doktora Tezi, Ege Üni. Tekstil Müh. Böl., İzmir, 1995.
- [53] Droste, R. L., Theory and Practice of Water and Wastewater Treatment, John Wiley & Sons. Inc. p. 557, pp 574-578, 1997.
- [54] Kadir Kestioğlu, Mehmet Şen, Su ve Atıksu Arıtımında Fiziksel Temel İşlemler, Çevre Müh. Böl. Bursa, 2003.
- [55] Nursel Kıratlı, Tekstil Atıksularındaki Renk Sorununun Biyosorpsiyon Yöntemi İle Giderilmesi, Yüksek Lisans Tezi, Sakarya Üniversitesi, Çevre Mühendisliği Bölümü, Ocak 2004.
- [56] Verstraete, W., "Biotechnological Processes in Environmental Technology, Course Notes", University of Gent, Belgium, 1998-1999.
- [57] www.microbes.org/microbes/phaneiro.htm

- [58] botit.botany.wisc.edu/toms_fungi/may97.html
- [59] www.pilzfotopage.de/Aphylllos/pages/Trametes%20.htm
- [60] www.elessar.nl/paddo/paddos3.html
- [61] www.fungiphotos.com/.../pleurotus_pulmonarius.jpg



EKLER

| S/N CO. | BOYALAN ARSI | FIRMA | COTUME | KODU | BOYALAN FORMU ISLETME (OCAK 2002.) | | | | | Tutar No: 6340631 Tarihi: 01.02.2002 Sayfası: 2 | |
|------------|-------------------------------|--------|-----------|---------|---------------------------------------|-----------------------------|-------------------------------|-------------------------------|-------------------------------|---|----------------|
| | | | | | DOĞAL DEĞİŞİM MONTAJI | SİYAH DEĞİŞİM MONTAJI | TAHİSAT DEĞİŞİM MONTAJI | YAZILIM DEĞİŞİM MONTAJI | YÖNETİM DEĞİŞİM MONTAJI | | |
| 2.03 | Sandolan Brill Red N - 3R | Clova | P.A. Boya | 17,544 | 17,544 | 0,00 | 0,00 | 0,00 | 0,00 | 0,00 | PARA CİLSİZDEM |
| 2.04 | Sandolan Blue MP - BLN | Clova | P.A. Boya | 16,100 | 16,099 | 0,00 | 0,00 | 0,00 | 0,00 | 0,00 | 370.888,64 |
| 2.05 | Solar Turquoise Blue PBL 400 | Clova | P.A. Boya | 21,685 | 21,685 | 0,00 | 0,00 | 0,00 | 0,00 | 0,00 | 0,00 |
| 2.06 | Neutriilan Black M-RX | Persol | P.A. Boya | 300,011 | 299,308 | 600,80 | 467,30 | 15,317.000,00 | TL | 6.655.649.716,00 | |
| 2.07 | Lanaset Yellow 2R | Ciba | P.A. Boya | 52,184 | 52,184 | 0,00 | 77,73 | 18,93 | 0,00 | 14.837,16 | 866.463.426,48 |
| 2.08 | Lanaset Yellow 4 GN | Ciba | P.A. Boya | 58,011 | 58,009 | 0,00 | 0,00 | 42,00 | 0,00 | 0,00 | 6.571.706,78 |
| 2.09 | Lanaset Hordeum B | Ciba | P.A. Boya | 111,931 | 110,199 | 0,00 | 28,54 | 32,69 | 0,00 | 818,710 | 497.863.804,83 |
| 2.10 | Lanaset Brown B | Ciba | P.A. Boya | 29,596 | 29,596 | 0,00 | 0,00 | 0,00 | 0,00 | 0,00 | 6.914.532,57 |
| 2.11 | Lanaset Navy R. | Ciba | P.A. Boya | 49,128 | 57,712 | 0,00 | 8,23 | 37,64 | 0,00 | 225,920 | 132.752.686,31 |
| 2.12 | Lanaset Blue 3 RA | Ciba | P.A. Boya | 48,293 | 48,292 | 0,00 | 0,00 | 73,85 | 0,00 | 203,085 | 216.218.835,49 |
| 2.13 | Lanaset Blue SG | Ciba | P.A. Boya | 29,314 | 29,319 | 0,00 | 4,73 | 34,49 | 0,00 | 113,778 | 78.392.831,79 |
| 2.14 | Lanaset Grey G | Ciba | P.A. Boya | 28,261 | 28,793 | 0,00 | 4,53 | 11,08 | 0,00 | 3,343 | 13.456.351,97 |
| 2.15 | Lanaset Violet B | Ciba | P.A. Boya | 99,045 | 99,030 | 0,00 | 0,00 | 99,00 | 0,00 | 0,00 | 0,00 |
| 2.16 | Lanaset Red G | Ciba | P.A. Boya | 73,976 | 79,177 | 0,00 | 0,00 | 74,02 | 0,00 | 101,403 | 108.850.577,85 |
| 2.17 | Tecilon Yellow 2G | Ciba | P.A. Boya | 35,929 | 35,919 | 0,00 | 0,00 | 0,00 | 0,00 | 0,00 | 0,00 |
| 2.18 | Tecilon Yellow 3R | Ciba | P.A. Boya | 15,869 | 16,122 | 0,00 | 0,00 | 39,02 | 0,00 | 0,00 | 17.737.279,21 |
| 2.19 | Tecilon Red 2B | Ciba | P.A. Boya | 22,673 | 22,847 | 0,00 | 0,17 | 58,10 | 0,00 | 19,418 | 6.116.121,88 |
| 2.20 | Tecilon Blue 4R | Ciba | P.A. Boya | 27,356 | 27,511 | 0,00 | 0,13 | 70,40 | 0,00 | 0,00 | 5.349.892,40 |
| 2.21 | Eriyox Black M-R | Ciba | P.A. Boya | 121,932 | 143,572 | 0,30 | 0,04 | 12,39 | 0,00 | 0,00 | 4.500.637,36 |
| 2.22 | Eriyox Red A - 3G | Ciba | P.A. Boya | 42,876 | 53,792 | 0,00 | 18,27 | 74,23 | 0,00 | 322,929 | 223.876.584,68 |
| 2.23 | Eriyox Red A - 3R | Ciba | P.A. Boya | 47,048 | 58,291 | 0,00 | 11,29 | 72,69 | 0,00 | 113,089 | 185.172.811,46 |
| 2.24 | Eriyox Yellow A-R | Ciba | P.A. Boya | 31,726 | 44,782 | 0,00 | 12,84 | 15,14 | 0,00 | 194,643 | 222.755.148,01 |
| 2.25 | Eriyox Blue A-R | Ciba | P.A. Boya | 31,020 | 31,757 | 0,00 | 0,74 | 94,17 | 0,00 | 119,030 | 225.270.088,60 |
| 2.26 | Soleapexyl Scarlet UNLE 200% | Ciba | Denk.Boya | 3,31 | 3,42 | 0,00 | 0,00 | 83,211.510,20 | TL | 2.066.565,86 | |
| 2.27 | Soleaphexyl Blue VGLK 220 % | Ciba | Denk.Boya | 2,59 | 2,60 | 0,00 | 0,01 | 79,377.260,10 | TL | 0,00 | 626.672,25 |
| 2.28 | Soleaphenyl Yellow ARLE 154 % | Ciba | Denk.Boya | 3,44 | 3,44 | 0,00 | 0,01 | 91,676.040,00 | TL | 0,00 | 5.574.455,04 |
| 2.29 | Soleaphenyl Red 7 RR | Ciba | Denk.Boya | 3,09 | 3,08 | 0,00 | 0,01 | 87,396.238,00 | TL | 0,00 | 85.781,45 |
| 2.30 | Erazol Red III | Ezol | Mark.Boya | 24,877 | 24,737 | 0,00 | 0,14 | 1,66 | 0,00 | 0,00 | 1.240.941,35 |
| 2.31 | Erazol Yellow SL | Ezol | Mark.Boya | 22,572 | 22,710 | 0,00 | 0,72 | 0,10 | 0,00 | 0,00 | 0,201.494,20 |
| 2.32 | Erazol Yellow 4CL | Ezol | Mark.Boya | 24,370 | 24,370 | 0,00 | 0,00 | 0,00 | 0,00 | 0,00 | 0,00 |
| 2.33 | Erazol Blue SL | Ezol | Mark.Boya | 24,144 | 24,415 | 0,00 | 0,10 | 16,72 | 0,00 | 0,00 | 5.606.135,04 |
| 2.34 | Erazol Blue RR | Ezol | Mark.Boya | 19,971 | 19,570 | 0,00 | 0,00 | 14,99 | 0,00 | 0,00 | 0,00 |
| 2.35 | Erazol Blue R Special | Ezol | Mark.Boya | 24,570 | 24,370 | 0,00 | 0,10 | 17,33 | 0,00 | 0,00 | 0,00 |
| 2.36 | Erazol T.Blue G 133 % | Ezol | Mark.Boya | 24,592 | 24,379 | 0,00 | 0,17 | 3,09 | 0,00 | 0,776 | 2.360.316,26 |
| 2.37 | Erazol Black 3L | Ezol | Mark.Boya | 24,394 | 25,000 | 0,00 | 0,34 | 14,88 | 0,00 | 0,00 | 84.410,56 |
| 2.38 | Erazol Black GSP | Ezol | Mark.Boya | 44,863 | 46,833 | 0,00 | 0,03 | 0,00 | 0,00 | 0,00 | 9.291.133,61 |
| 2.39 | Erazol Black B 133 % | Ezol | Mark.Boya | 49,975 | 49,975 | 0,00 | 0,10 | 0,03 | 0,00 | 0,00 | 0,00 |
| 2.40 | Eraflex Red SP SB 180 % | Ezol | Mark.Boya | 21,340 | 21,720 | 0,00 | 0,10 | 0,27 | 0,00 | 0,00 | 1.361.717,46 |
| 2.41 | Kraft Yellow SP 3R | Ezol | Mark.Boya | 14,375 | 14,755 | 0,00 | 0,10 | 0,32 | 0,00 | 0,00 | 1.313.937,50 |
| 2.42 | Rezozel Rot III | Ezol | Mark.Boya | 2,69 | 2,50 | 0,00 | 0,00 | 0,00 | -0,00 | 0,00 | PARA CİLSİZDEM |
| 2.43 | Rezozel Blue RR | Ezol | Mark.Boya | 1,79 | 1,79 | 0,00 | 0,00 | 0,00 | 0,00 | 0,00 | 0,00 |
| 2.44 | Indesol Yellow SP-GL | Clova | Mark.Boya | 0,00 | 0,00 | 0,00 | 0,00 | 0,00 | 0,00 | 0,00 | PARA CİLSİZDEM |
| 2.45 | Indesol Rubilen NF - RGN | Clova | Mark.Boya | 0,70 | 0,67 | 0,00 | 0,00 | 0,00 | 0,00 | 0,00 | PARA CİLSİZDEM |
| 2.46 | Indesol Grey SP-BL | Clova | Mark.Boya | 3,01 | 3,02 | 0,00 | 0,01 | 70,40 | 0,00 | 0,00 | 233.315,40 |

ÖZGEÇMİŞ

1978 yılında İstanbul'da doğdu. Lise öğrenimini 1996 yılında Özel Sakarya Lisesi'nde tamamladıktan sonra 1997 yılında girdiği Sakarya Üniversitesi Mühendislik Fakültesi Çevre Mühendisliği Bölümü'nden 2001 yılında mezun oldu. 2001 yılında aynı bölümde yüksek lisans eğitimine başladı. 2004 yılı Ocak ayında Araştırma Görevlisi olarak Sakarya Üniversitesi Çevre Mühendisliği Bölümü'nde göreveye başladı. Halen aynı bölümde görevini sürdürmektedir.

